



Computer-Graphik I Transformationen

$$\begin{bmatrix} \cos 90^{\circ} & \sin 90^{\circ} \\ -\sin 90^{\circ} & \cos 90^{\circ} \end{bmatrix} \begin{bmatrix} a_{1} \\ a_{2} \end{bmatrix} = \begin{bmatrix} 2 & 3 \\ 2 & 3 \end{bmatrix}$$

G. Zachmann
University of Bremen, Germany
cgvr.informatik.uni-bremen.de





Motivation



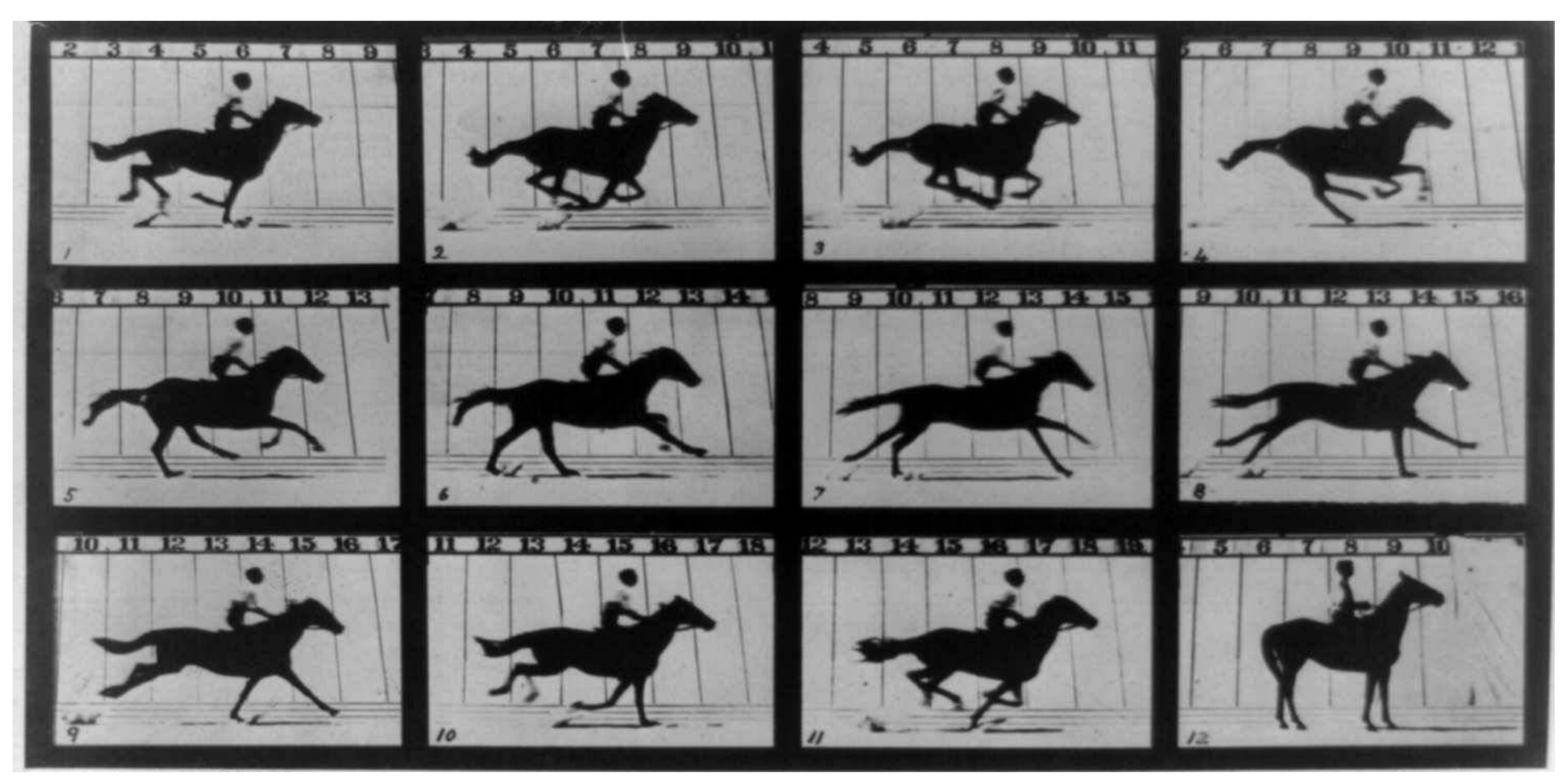
- Transformationen werden benötigt, um ...
- Objekte, Lichtquellen und Kamera zu positionieren
- Alle Berechnungen zur Beleuchtung im selben Koordinatensystem durchzuführen
- Objekte auf den 2D-Bildschirm zu projizieren
- Die Szene zu animieren



Das Prinzip der Animation



Edward Muybridge, 1878





Marcel Duchamp, 1912







• In einer interaktiven Computergraphik-Applikation: setze für ein animiertes Objekt in jedem neuen Frame eine neue Transformation (z.B. Rotation), die sich nur wenig von der vorherigen unterscheidet

```
loop forever:

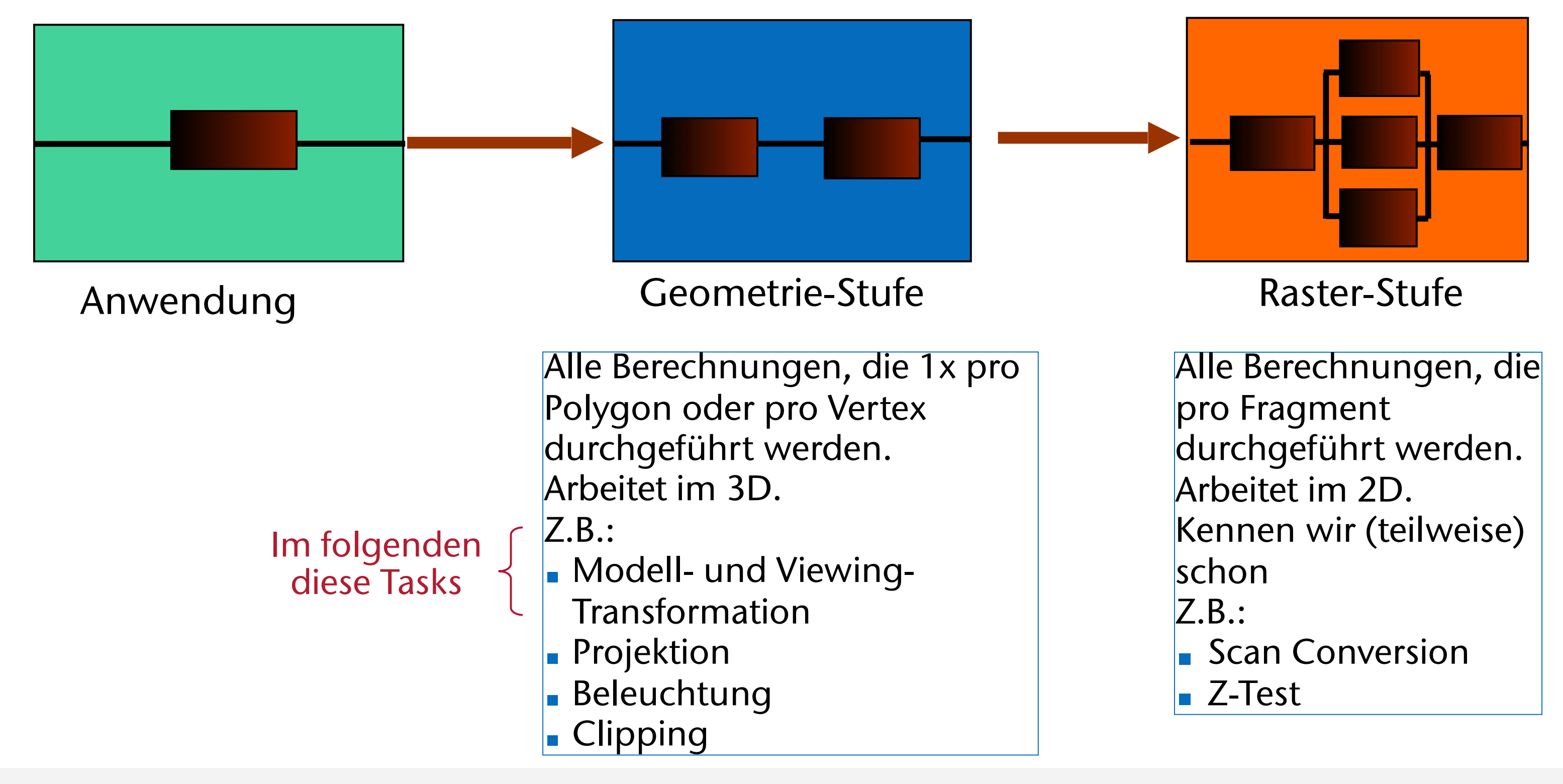
ask system for current time
for every animated obj:

calc new position & orientation based on current time
store this as translation & rotation with object
set new position & orientation for camera
render scene
```



Die Graphik-Pipeline (stark vereinfacht)







Koordinatensysteme in der Pipeline

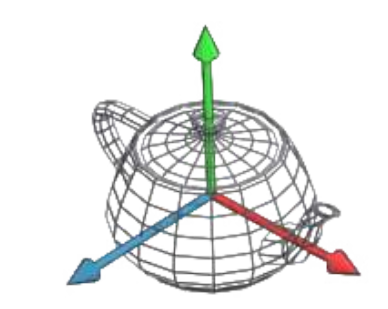


World Space



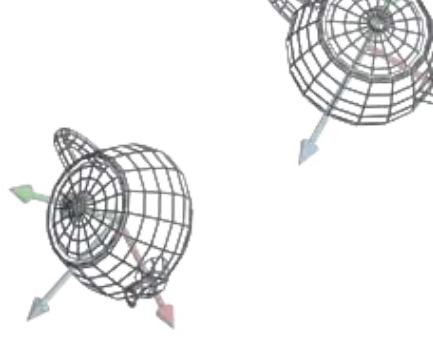
Illumination

Object Space (a.k.a. local space)



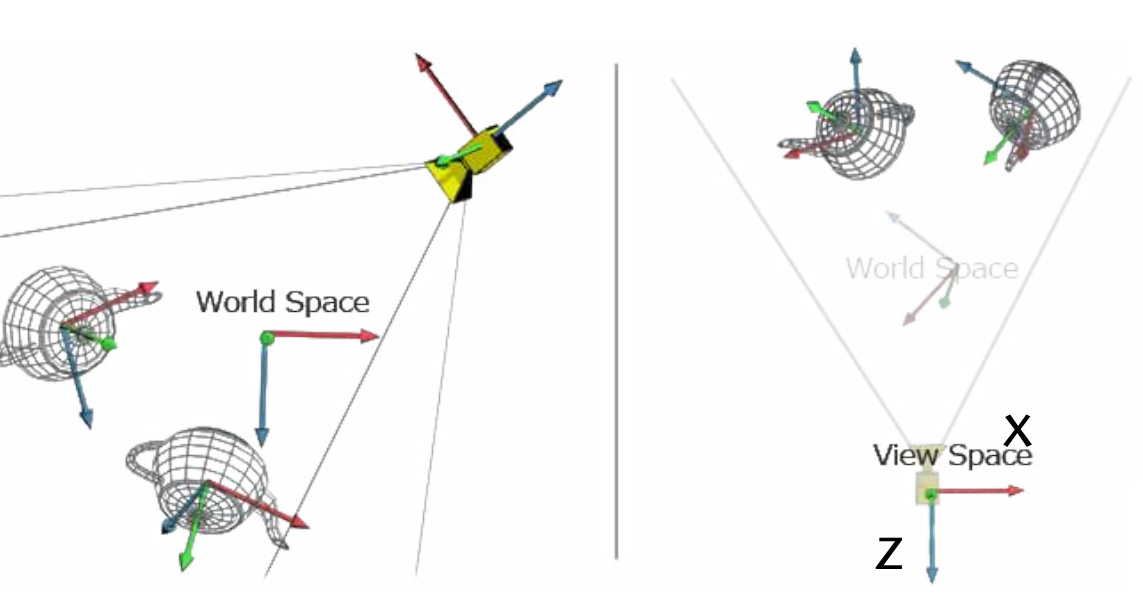
World Space

Für alle Objekte gleich



Viewing Transformation (Perspective / Orthographic)





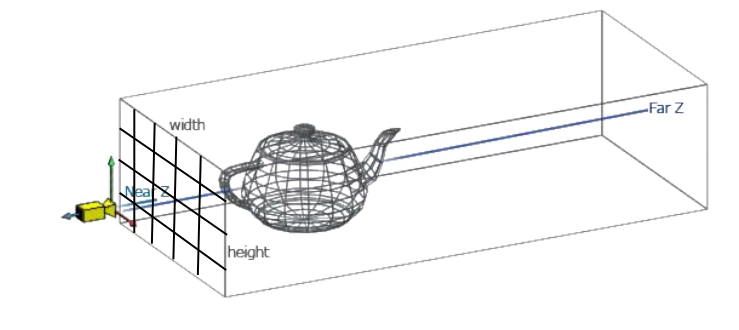
Clipping

Projection (to Screen Space)

Scan Conversion (Rasterization)

Fragment Processing Fragment Tests



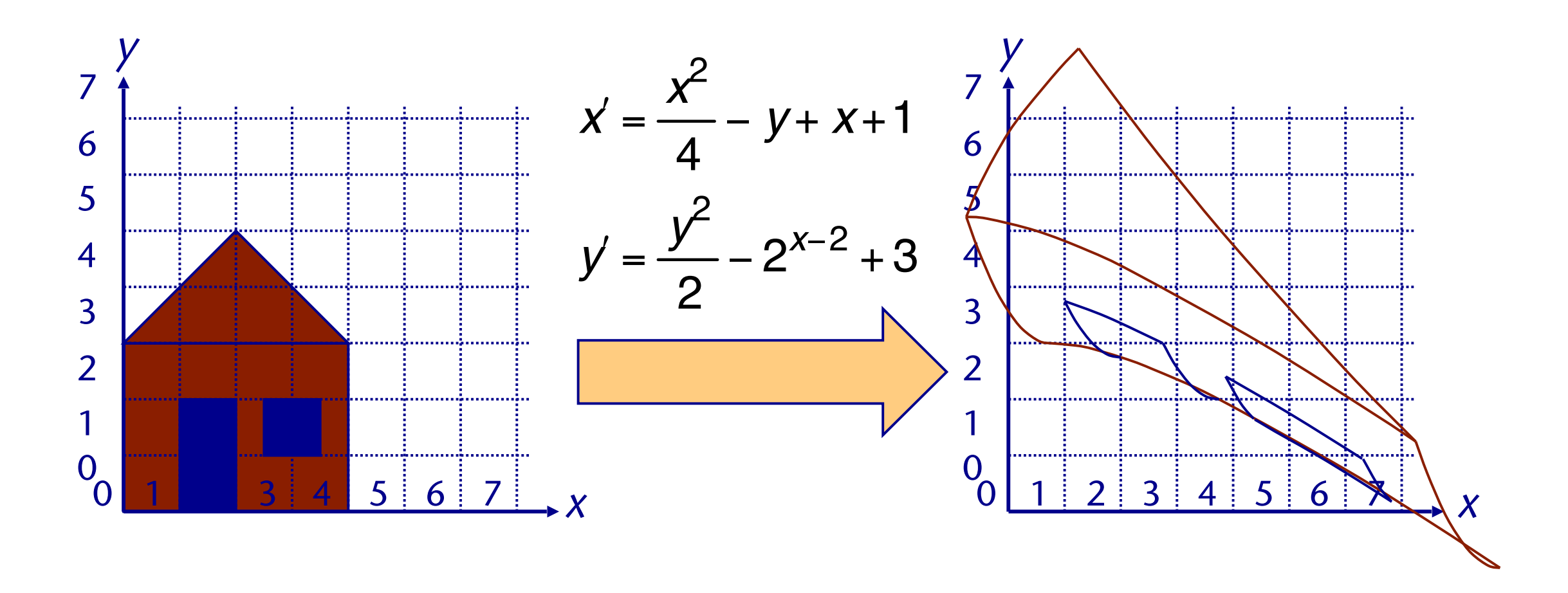




Allgemeine Transformationen



- Allgemeine Transformation ist evtl. nicht linear → Geraden werden i.A. nicht wieder auf Geraden abgebildet
- Beispiel:



• Folge: jeder Punkt (auf einer Linie, in einem Polygon, ...) muss transformiert werden → nicht effizient, nicht interessant für Echtzeit-Graphik

Transformationen



Vorteile der linearen Abbildungen



• Lineare Transformationen (z.B. Rotation, Skalierung und Scherung) heißen "linear", weil die Eigenschaft der Linearität der Abbildung gilt:

$$X' = A \cdot (\alpha X + \beta Y) = \alpha A \cdot X + \beta A \cdot Y$$

- Folge aus Linearität → Geraden werden auf Geraden abgebildet
- Lineare Abbildungen kann man durch Matrizen darstellen
- Merke die Konvention:

"Matrix mal Vektor"



Die elementaren Transformationen im 3D



- 1. Rotation
- 2. Translation
- 3. Skalierung
- 4. Spiegelung (kommt sehr selten vor)
- 5. Scherung (kommt in der Praxis fast nie vor)

- Verkettung (concatenation)
- Starrkörpertransformation (rigid body transformation)



Elementare Rotation



Rotation um x-, y-, z-Achse um Winkel ϕ

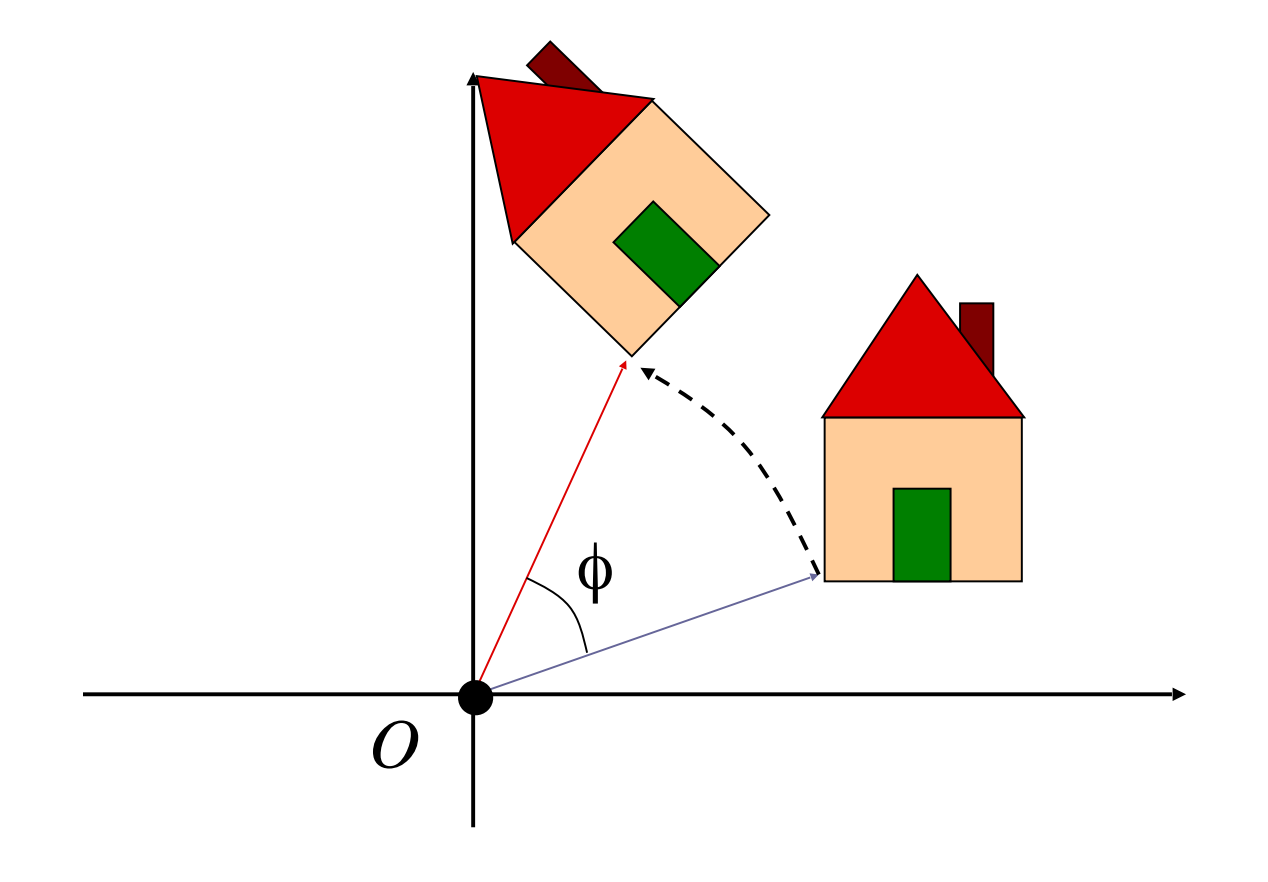
$$R_{\mathsf{x}}(\phi) = \begin{pmatrix} 1 & 0 & 0 \\ 0 & ?\cos\phi & ?\sin\phi \\ 0 & ?\sin\phi & ?\cos\phi \end{pmatrix}$$

X-Koord. bleibt unverändert

Vorzeichentest: ϕ =90 \rightarrow y geht nach z, z geht nach -y.

$$R_y(\phi) = egin{pmatrix} \cos\phi & 0 & \sin\phi \ 0 & 1 & 0 \ -\sin\phi & 0 & \cos\phi \end{pmatrix}$$

$$R_z(\phi) = egin{pmatrix} \cos\phi & -\sin\phi & 0 \ \sin\phi & \cos\phi & 0 \ 0 & 0 & 1 \end{pmatrix}$$



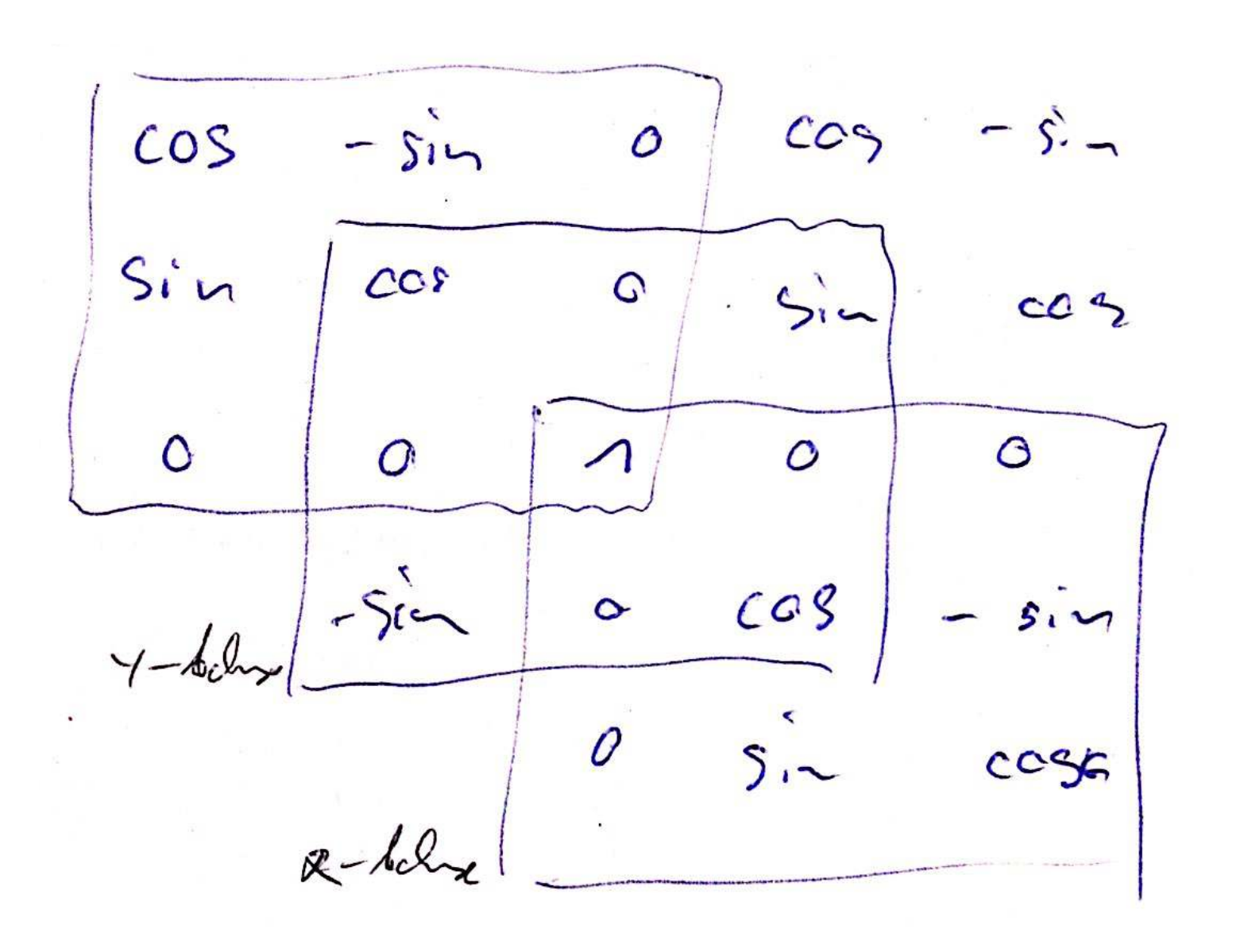






11

- Man merkt sich, dass es im Wesentlichen immer ein "cos/sin-Kästchen" ist, und muss sich dann nur noch überlegen, welche Stelle eine 1 haben muss, damit die Koordinaten der gewünschten Achse unverändert bleiben
- Man merkt sich folgendes Schema [Laura Spillner, 2015]:





Orthogonale Matrizen



• Definition (Wdhg aus Mathe): eine Matrix R heißt orthogonal $\Leftrightarrow RR^T = R^TR = I$

Folgen:

Die Spalten von R sind zueinander orthonormal (nicht nur orthogonal)

$$\det(R) = \pm 1$$

$$R^{-1} = R^{T}$$

 R^{T} ist orthogonal

$$||Rv|| = ||v||$$
 (Längenerhaltung)

$$(Ru)\cdot(Rv) = u\cdot v$$
 (Winkelerhaltung)

 R_1, R_2 sind orthogonal $\Rightarrow R_1R_2$ ist orthogonal

Transformationen



Charakterisierung von (reinen) Rotationsmatrizen



- R ist orthogonal ⇔ R ist Rotationsmatrix und/oder Spiegelung
- R ist eine ordentliche Rotation $\Leftrightarrow RR^T = I \land \det(R) = +1$
- Die Menge der orthogonalen Matrizen mit Determinante =1 bezeichnet man oft mit SO(3) (aka. die *Gruppe der 3D Rotationen*, mit der Multiplikation als Operator)



GOOD CODERS ...









Transformationen



Skalierung



15

Kann zum Vergrößern oder Verkleinern verwendet werden:

$$S(s_x, s_y, s_z) = \begin{pmatrix} s_x & 0 & 0 \\ 0 & s_y & 0 \\ 0 & 0 & s_z \end{pmatrix}$$

- s_x, s_y, s_z beschreiben Längenänderung in x-, y-, z-Richtung
 - → nicht-uniforme (anisotrope) Skalierung
- Uniforme (isotrope) Skalierung: $s_x = s_y = s_z$
- Inverse:

$$S^{-1}(s_x, s_y, s_z) = S\left(\frac{1}{s_x}, \frac{1}{s_y}, \frac{1}{s_z}\right)$$





16

Ein alternative Skalierungs-Matrix:

$$S\left(s,s,s
ight) = egin{pmatrix} s & 0 & 0 & 0 \ 0 & s & 0 & 0 \ 0 & 0 & s & 0 \ 0 & 0 & 0 & 1 \end{pmatrix} \cong egin{pmatrix} 1 & 0 & 0 & 0 \ 0 & 1 & 0 & 0 \ 0 & 0 & 1 & 0 \ 0 & 0 & 0 & rac{1}{s} \end{pmatrix}$$

Aber besser die "normale" Skalierungsmatrix verwenden



Scherung (Shearing)



17

- Verschiebt z.B. die x-Koordinate abhängig von der Entfernung zur Ebene z=0 (d.h., der xy-Ebene), also abhängig von der z-Koord.
- Zum Beispiel: $H_{XZ}(s)$ schert den x-Wert gemäß dem z-Wert

$$H_{xz}(s)\cdot\mathbf{p} = egin{pmatrix} 1 & 0 & s \ 0 & 1 & 0 \ 0 & 0 & 1 \end{pmatrix}\cdotegin{pmatrix} p_x \ p_y \ p_z \end{pmatrix} = egin{pmatrix} p_x + sp_z \ p_y \ p_z \end{pmatrix}$$

Inverse:

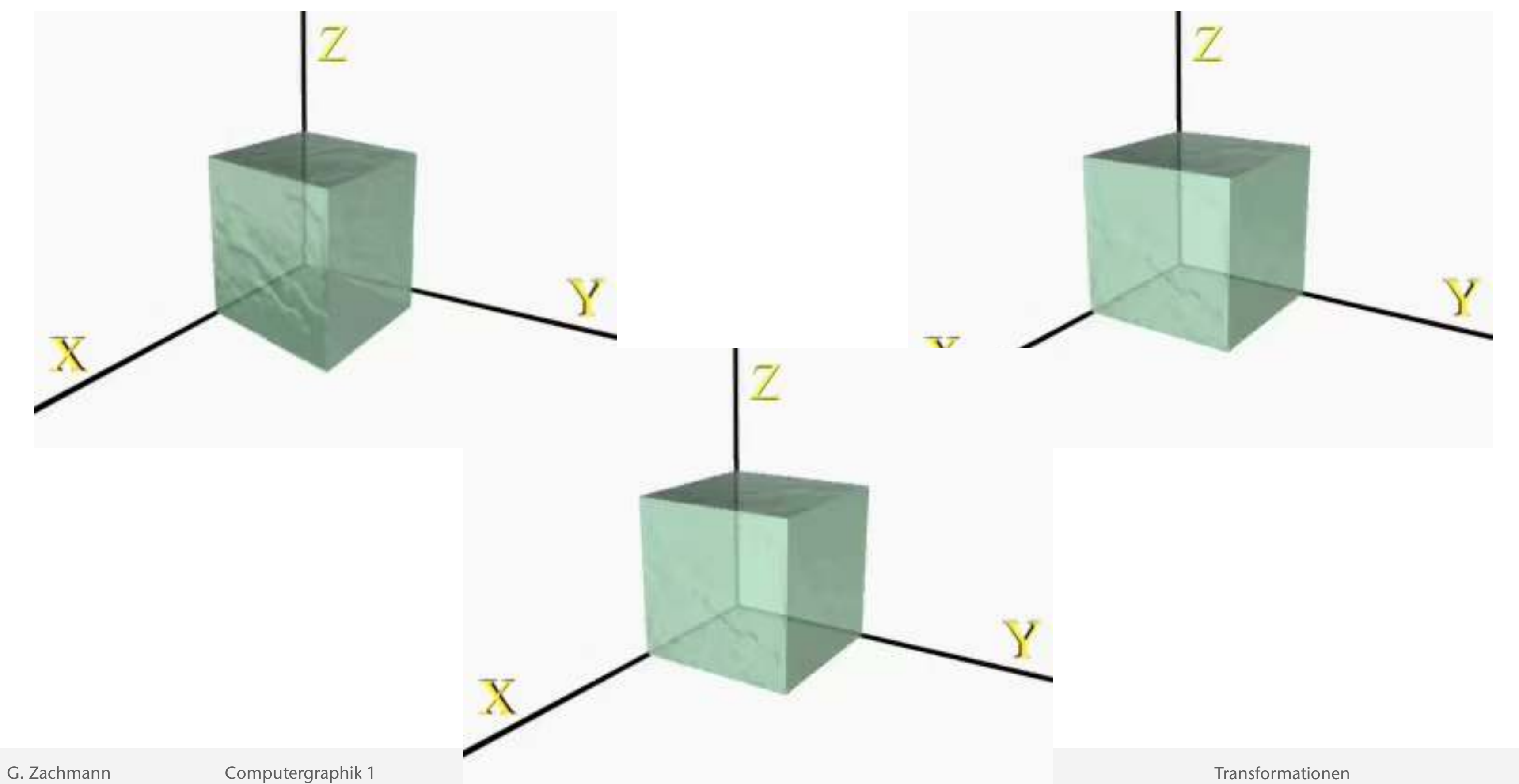
$$H_{xz}^{-1}(s) = H_{xz}(-s)$$

- Bemerkung: Determinante = 1 → Volumen bleibt erhalten
 - Aber Winkel werden hier nicht erhalten!



Visualisierung mit Animation des Parameters s







Shearing for Sculpture







Spiegelung



• Spiegelung entlang der x-Achse, m.a.W., Spiegelung bzgl. der yz-Ebene:

$$M_{\times} = \begin{pmatrix} -1 & 0 & 0 \\ 0 & 1 & 0 \\ 0 & 0 & 1 \end{pmatrix}$$

- Analog die anderen beiden Spiegelungen
- Achtung: $det(M_x) < 0$!
 - Bei allen anderen Transformationen T bisher war $\det(T) > 0$
- Spiegelungen sind in der CG eigtl. immer ausgeschlossen
 - U.a., weil der Umlaufsinn der Polygone umgedreht wird



Denksport-Aufgabe



- Wie kommt es, dass ein Spiegel links/rechts vertauscht, aber nicht oben/unten?
- Antwort:
 - In Wahrheit vertauscht er auch links/rechts nicht, sondern vorne/hinten!
 - Die Nase im Spiegel zeigt nach Süden, wenn unsere reale Nase nach Norden zeigt, aber wenn wir mit einer Hand nach Westen zeigen, zeigt auch die Hand im Spiegel nach Westen!



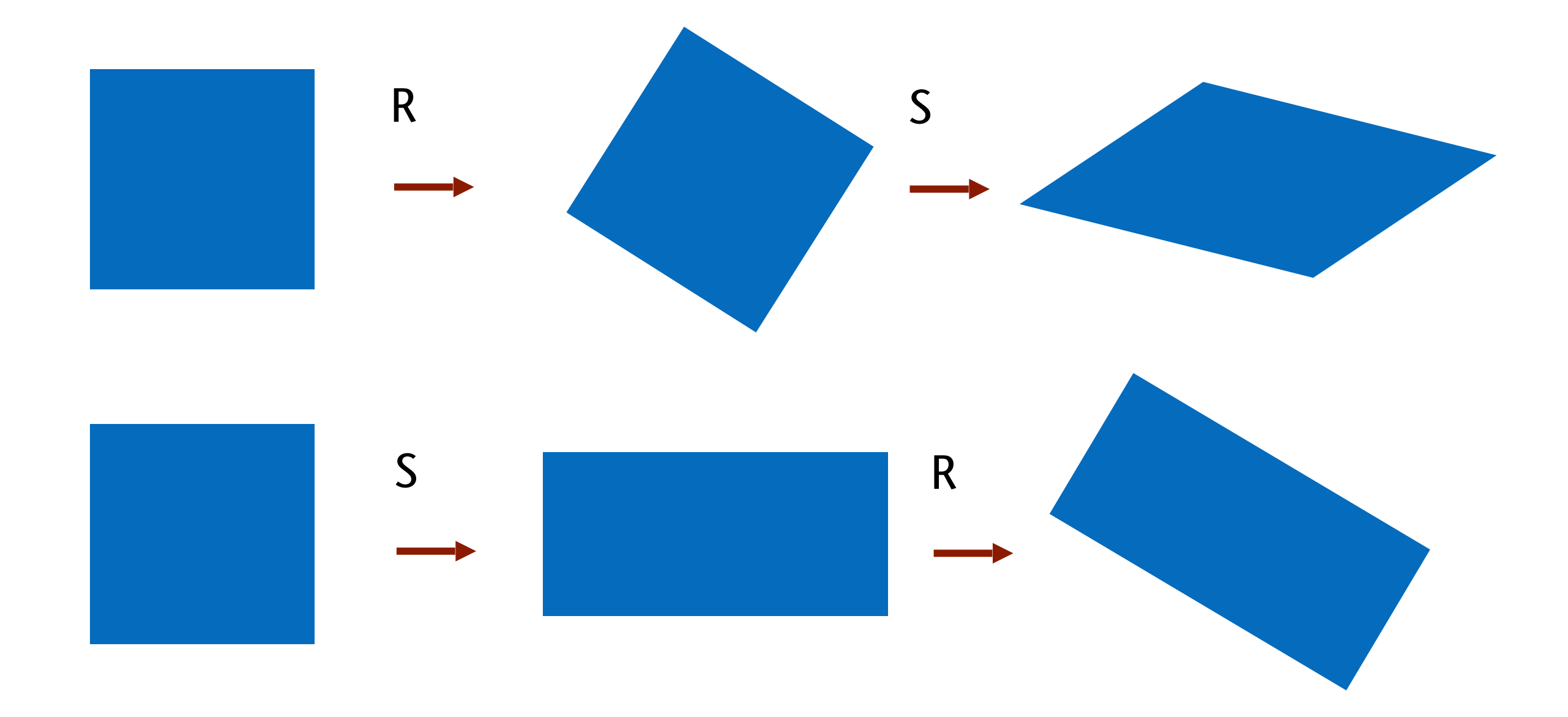
- Der Fehler ist, dass wir uns vorstellen, dass eine Person hinter dem Spiegel steht
- Alternative Betrachtung: spannen wir mit der rechten Hand ein *rechtshändiges* Koordinatensystem auf, so spannt die gegenüberliegende Hand im Spiegel ein *linkshändiges* Koordinatensystem auf!



Verknüpfung / Concatenation



Beispiel:



 Stimmt mit der Mathematik überein: Multiplikation von Matrizen ist nicht kommutativ → Reihenfolge der Transformation spielt eine Rolle!





• Reihenfolge in einer Matrixkette:

$$p' = M_n \cdot \ldots \cdot M_2 \cdot M_1 \cdot p$$

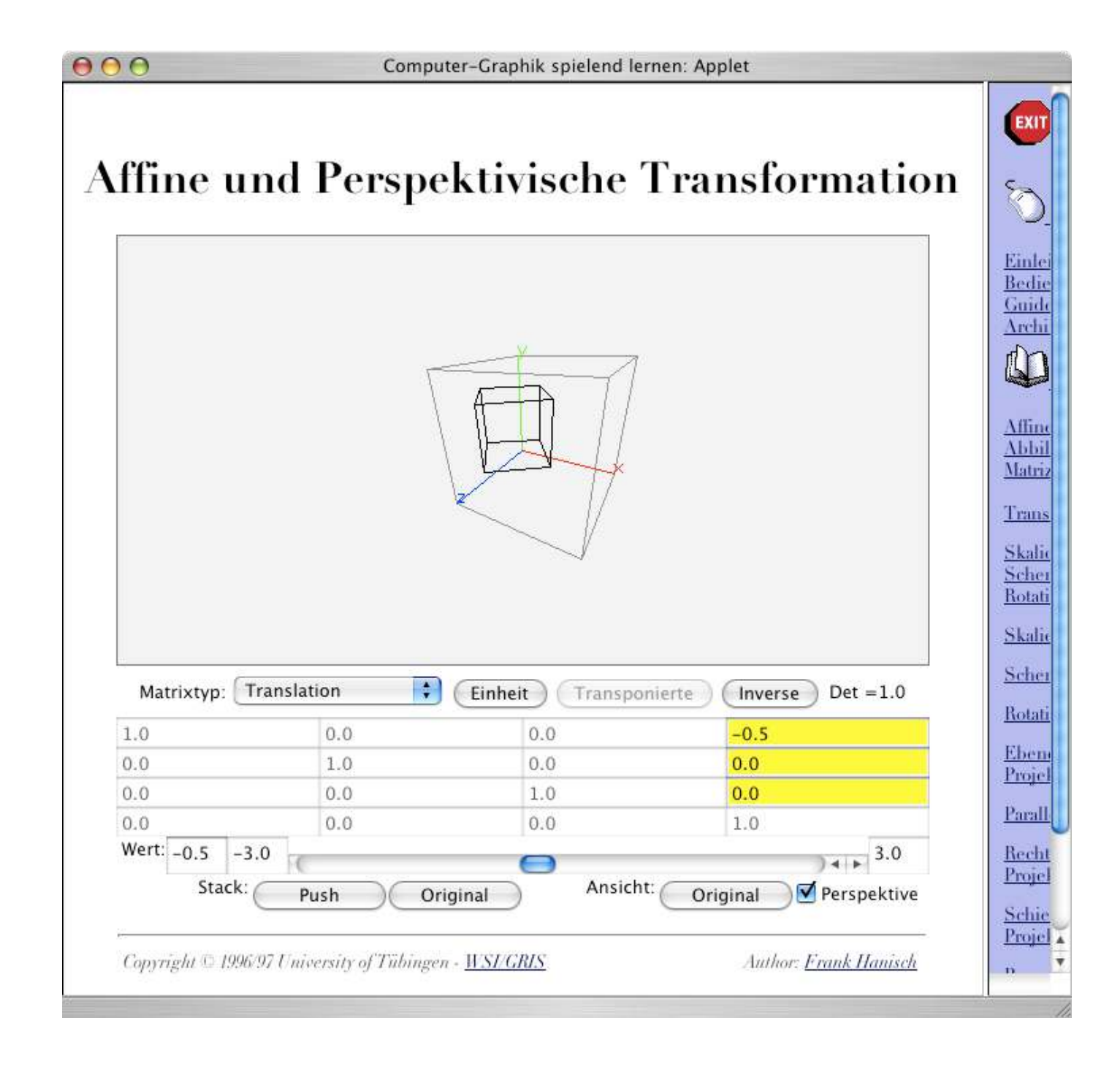
Reihenfolge der Ausführung

Nützlich zur Steigerung der Effizienz



Demo zur Konkatenation von Transformationen



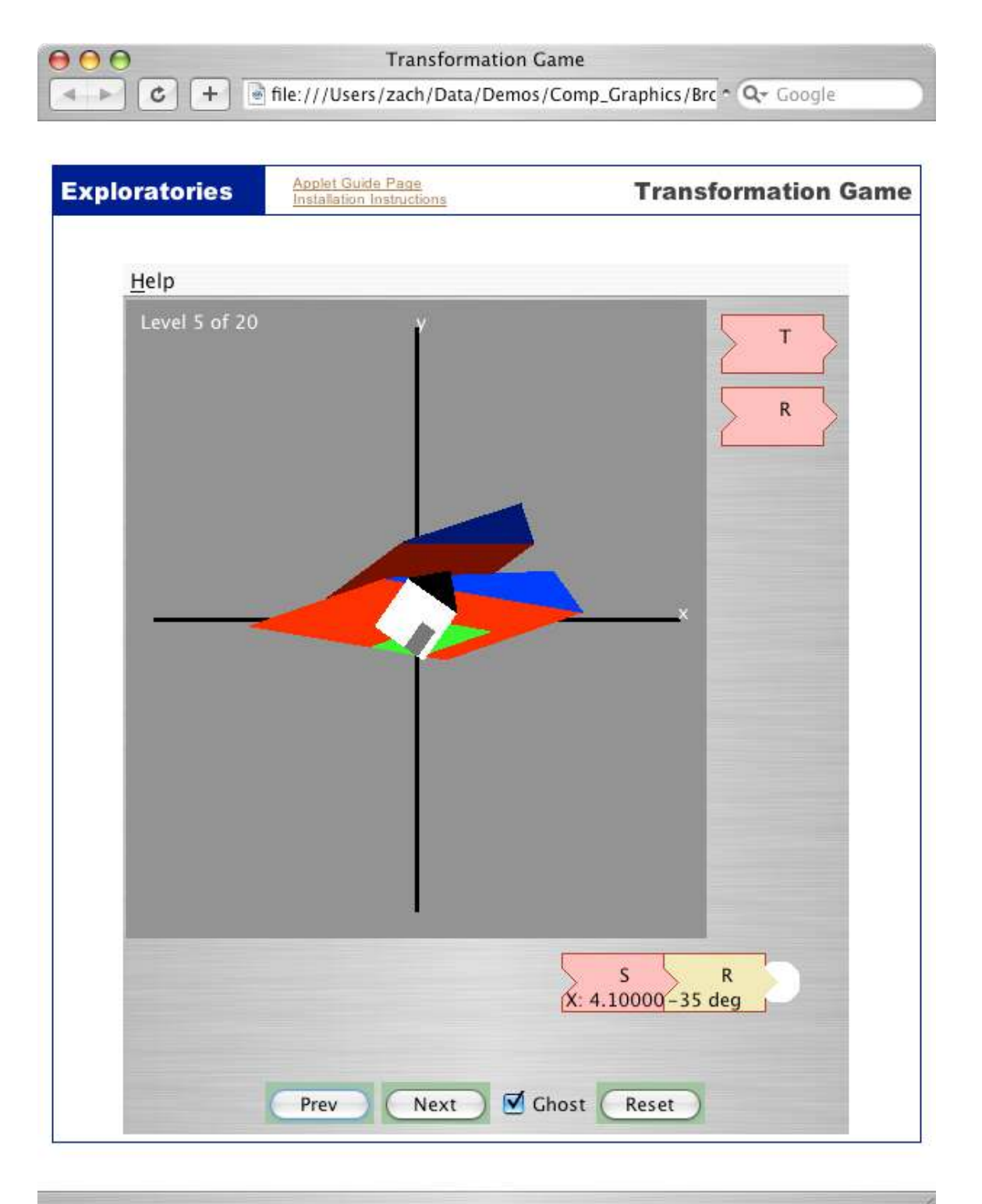


(Urspr. Quelle: http://www.gris.uni-tuebingen.de/gris/GDV/java/doc/html/etc/AppletIndex.html)



Demo





http://graphics.cs.brown.edu/research/exploratory/freeSoftware

→ Complete Catalog → Transformation Game

http://cgvr.cs.uni-bremen.de

Teaching \rightarrow CG1

→ "Transformation Game" suchen, ZIP-File entpacken, dann

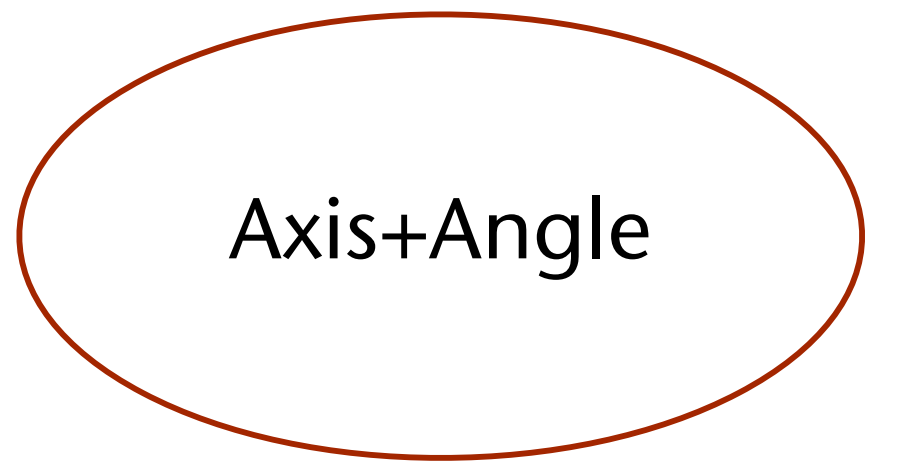
cd freeSoftware/repository/edu/brown/cs/exploratories/ applets/transformationGame

java -jar transformation_game.jar



Vier Darstellungen von Rotation





Euler-Winkel



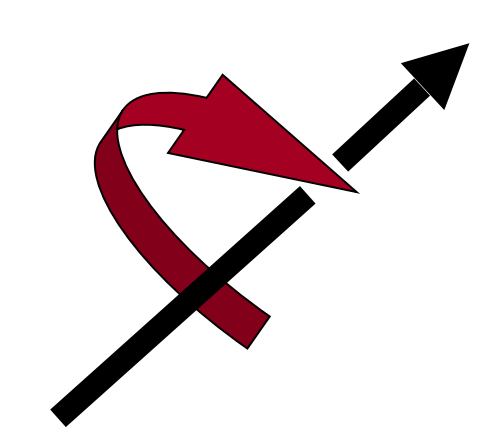
Rotationsmatrix



Darstellung: Ache + Winkel



- Intuitive Darstellung: (φ, \mathbf{r})
 - Meist mit der Nebenbedingung $||\mathbf{r}|| = 1$



- Anzahl Freiheitsgrade allgemeiner Rotationen: 3 DOFs (degrees of freedom)
 - 2 DOFs für die Achse + 1 DOF für den Winkel
- Anmerkung: in der Robotik wird gerne die Variante verwendet, wo

$$\varphi = ||\mathbf{r}||$$

(damit benötigt man also wieder nur einen 3D-Vektor)

Bezeichnungen: Euler-Vektor, oder Rotationsvektor



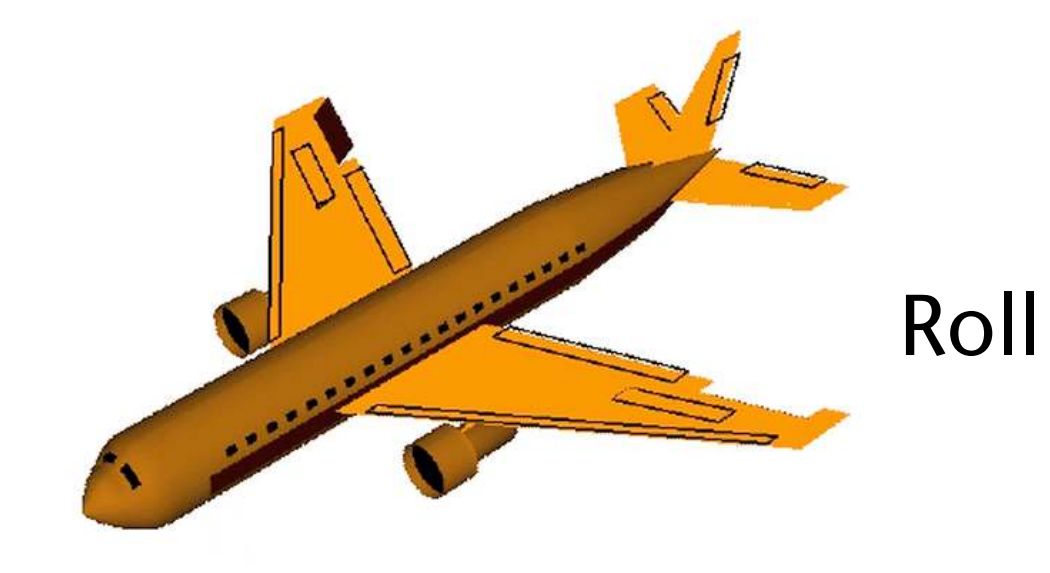
Die Euler-Winkel



- Intuitive (?) Konstruktion einer beliebigen Rotation:
 Konkatenation aus 3 elementaren Rotationen erst
 Rotation um X-, dann um Y-, dann um Z-Achse
- Diese Winkel heißen Euler-Winkel und bezeichnen meistens Rotationen um eine der drei Welt-Koordinaten-Achsen
- Häufige Variante im Maschinenbau:

$$R(r, p, y) = R_z(y)R_x(p)R_y(r)$$

Bezeichnung:
 roll, pitch, yaw (Schiff)
 roll, pitch, heading (Flugzeug)







Yaw (Heading)







- Reihenfolge der Rotationen ist nicht festgelegt!
 - Oft "roll, pitch, yaw" aber Zuordnung zu den Achsen nicht definiert!
 - Manchmal auch: z, x, z! Oder ...
- Führt zu Gimbal Lock
- Werte-Bereiche: für einen der Winkel ist der Bereich nur [-90, +90]
 - Sonst: Mehrfachüberdeckung von SO(3)
- Rechnen (z.B. interpolieren oder mitteln) ist i.A. sinnlos und/oder unmöglich!

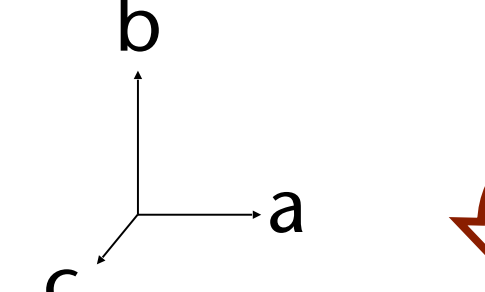




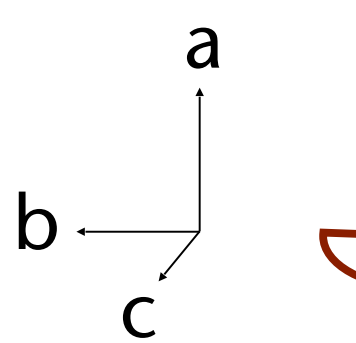
31

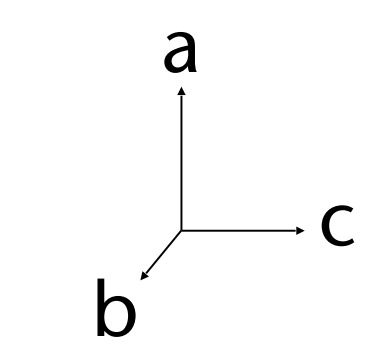
- Interpolation zwischen zwei Rotationen (Orientierungen) mittels Euler-Winkel liefert unerwünschte Resultate
- Beispiel:
 - Rotation von 90° um Z, dann 90° um Y =

120° um (1, 1, 1)





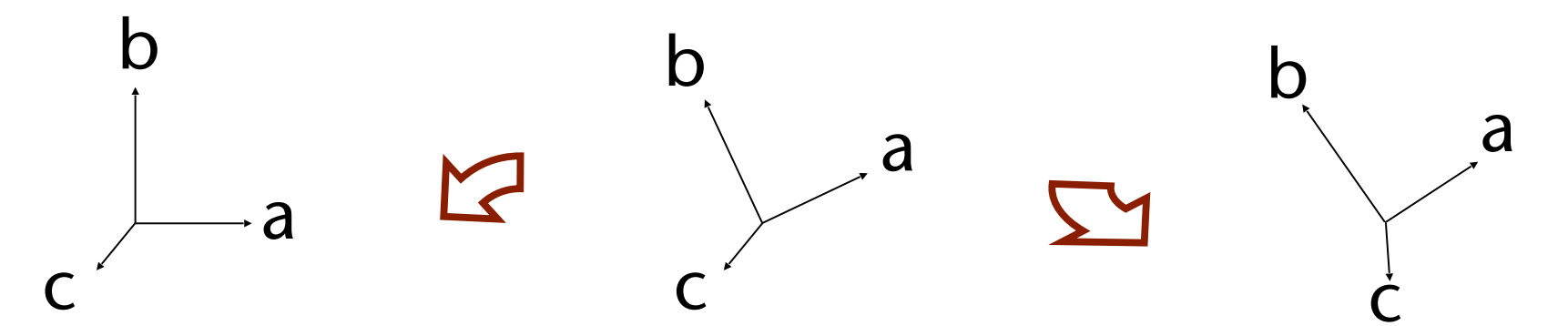






Rotation von 30° um Z, dann 30° um Y

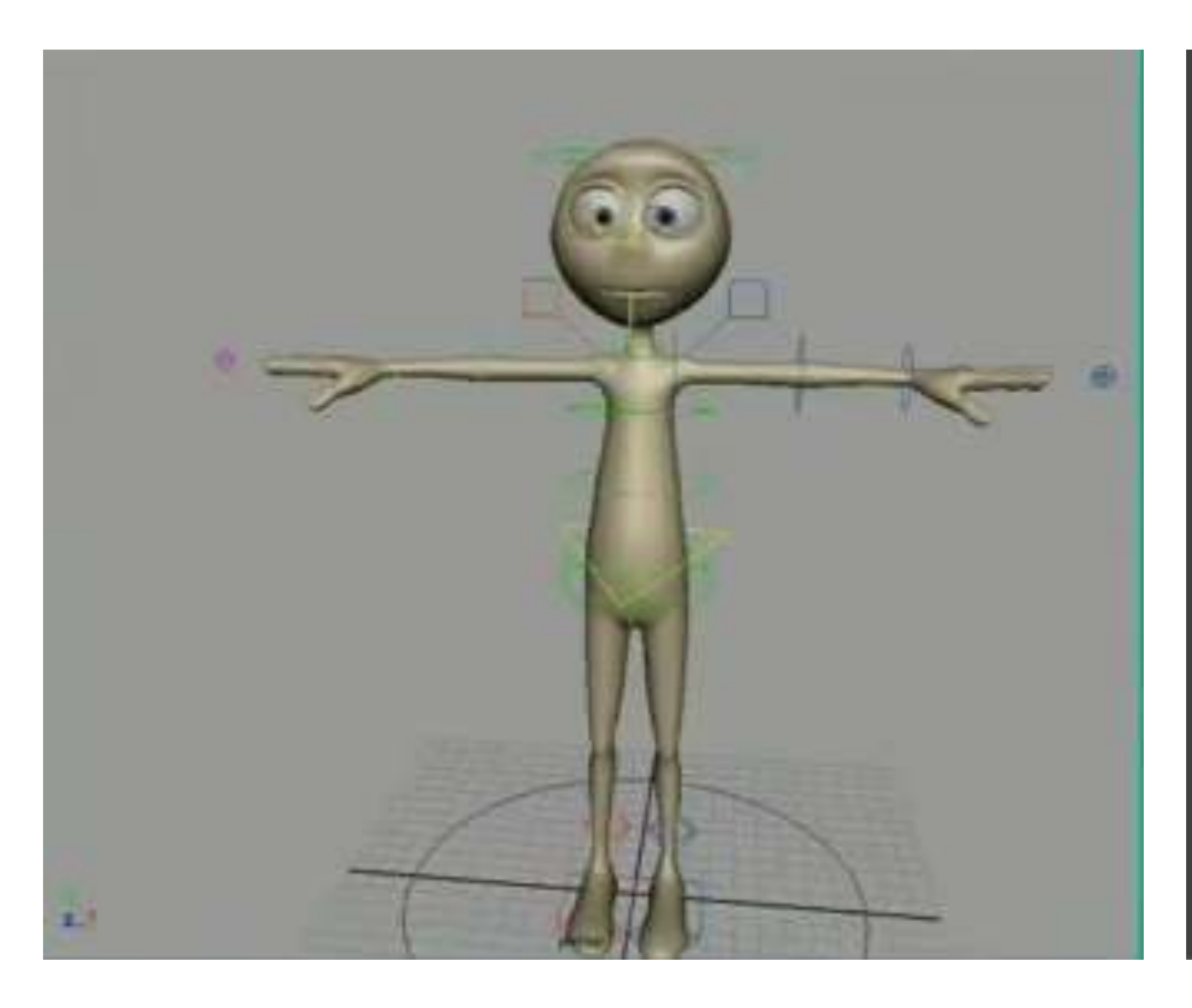
40° um (1, 1, 1)!

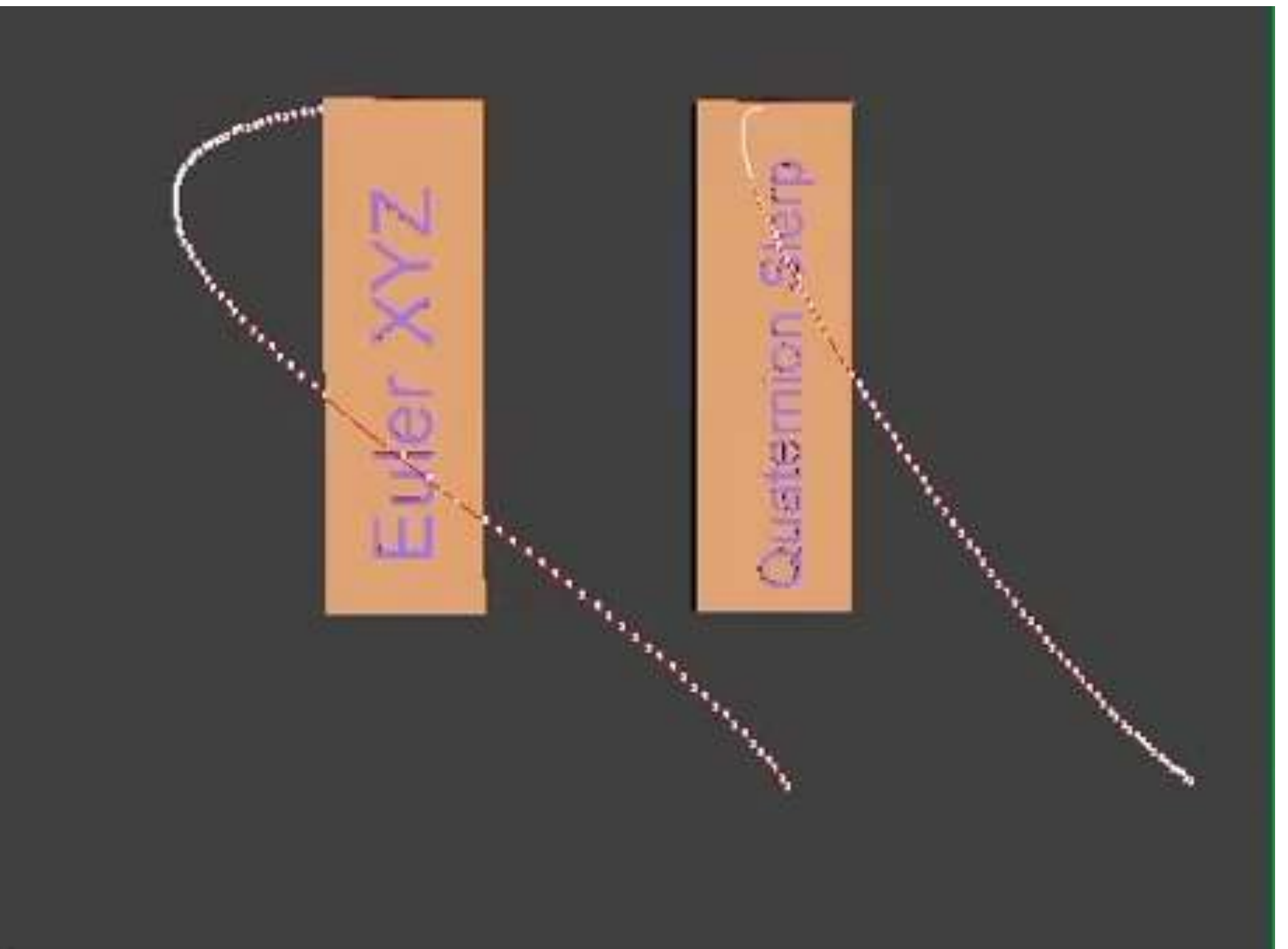




Beispiel für die unerwünschten Effekte bei Interpolation von Euler-Winkeln





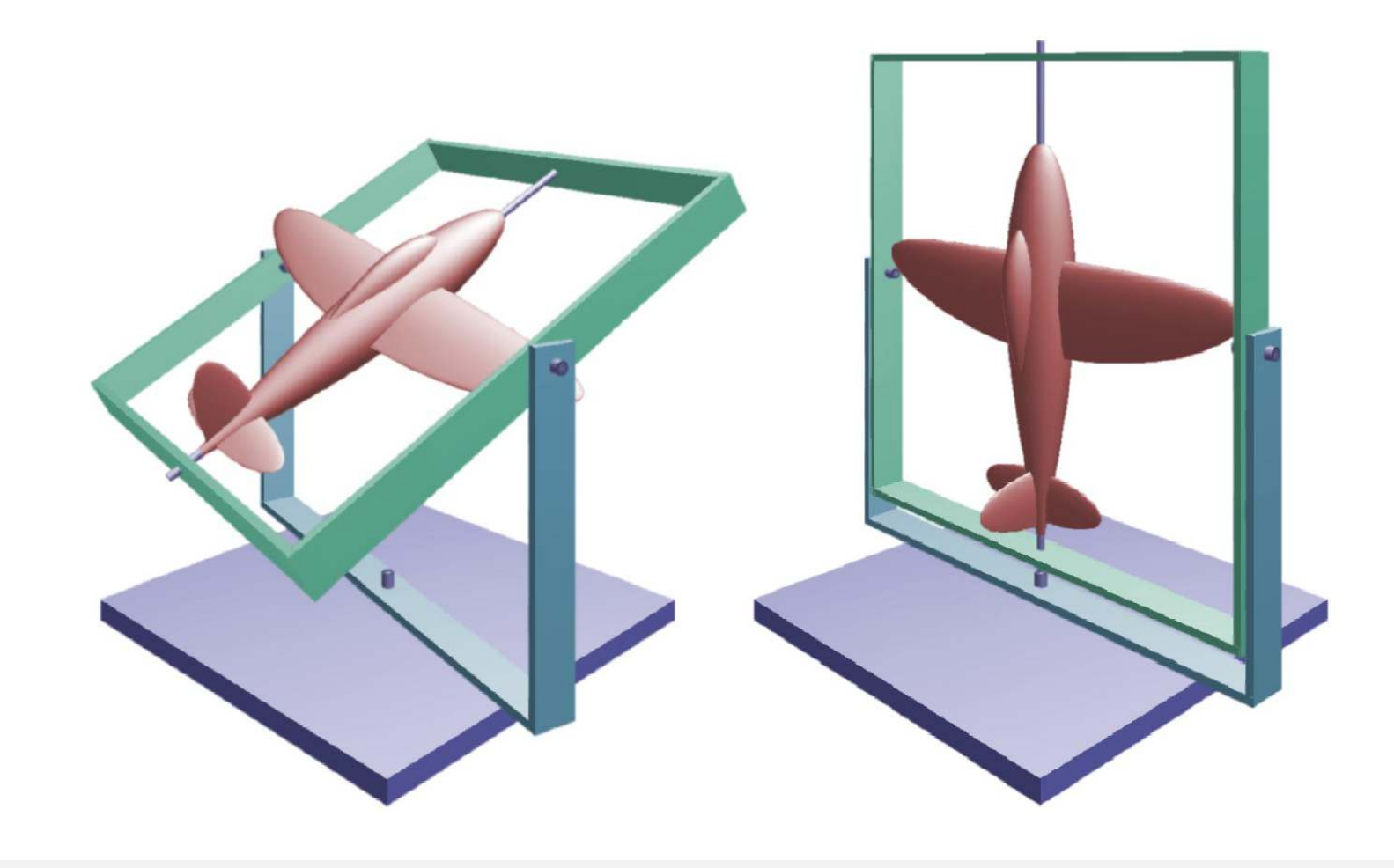




Der Gimbal Lock



- Immer dann, wenn 2 Achsen (fast) gleich sind
- Folgen: nur noch 2 Freiheitsgrade! (obwohl es immer noch 3 Parameter sind)
 - Rotation um eine der (lokalen) Flugzeugachsen geht nicht mehr!



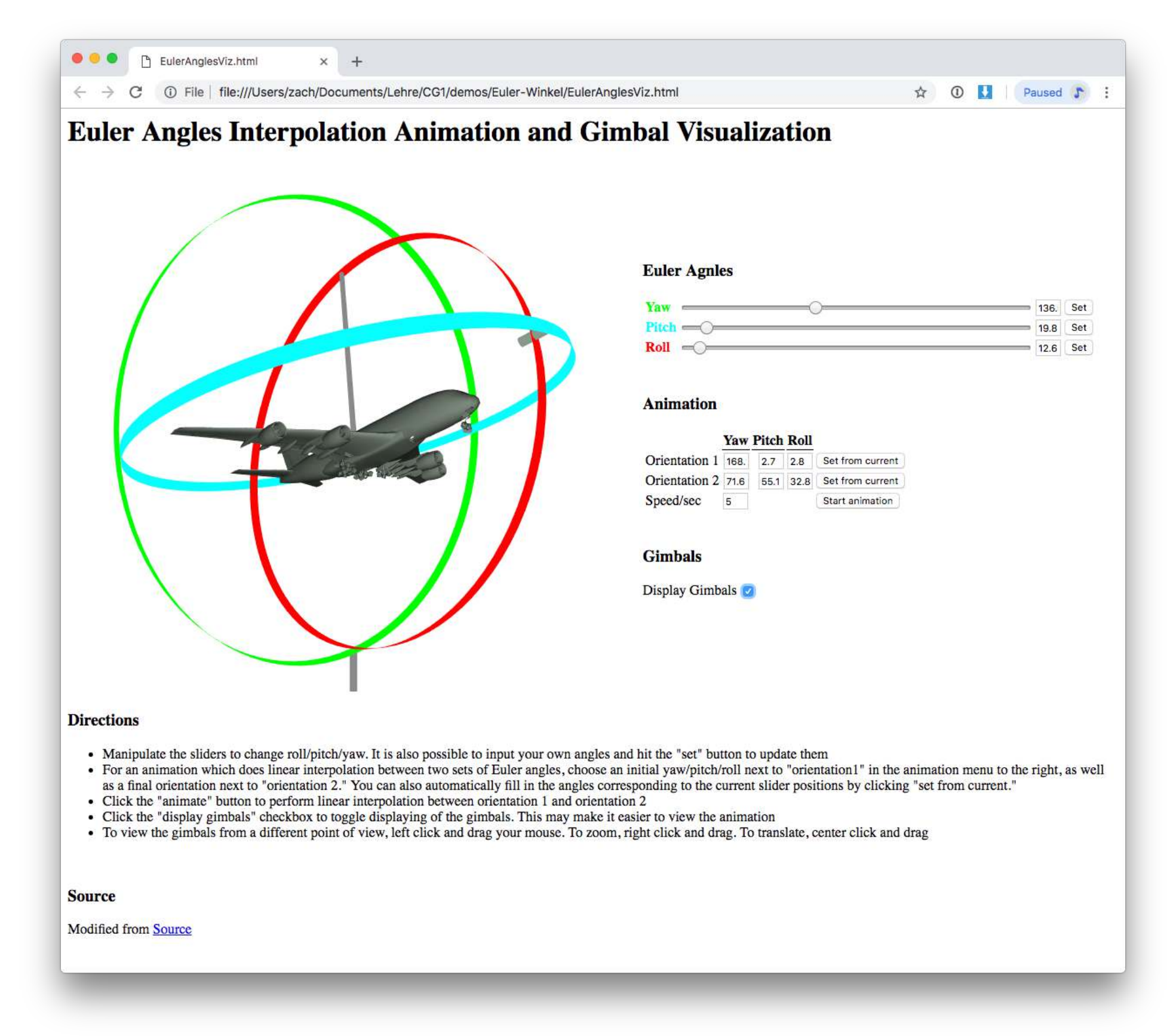


4 Gimbals



Demo zu Interpolation und Gimbal Lock







Anekdote: Euler Angles in Spaceflight



- In den Apollo-Raketen wurde ein Kreiselkompass verwendet
 - (Basiert auf der Trägheit einer sich sehr schnell drehenden Masse)
- Kleine Anekdote dazu:

About two hours after the Apollo 11 landing, Command Module Pilot Mike Collins had the following conversation with CapCom Owen Garriott: **104:59:35** *Garriott*: Columbia, Houston. We noticed you are maneuvering very close to gimbal lock. I suggest you move back away. Over. **104:59:43** *Collins*: Yeah. I am going around it, doing a CMC Auto

maneuver to the Pad values of roll 270, pitch 101, yaw 45.

104:59:52 Garriott: Roger, Columbia. (Long Pause)

105:00:30 Collins: (Faint, joking) How about sending me a fourth gimbal

for Christmas.

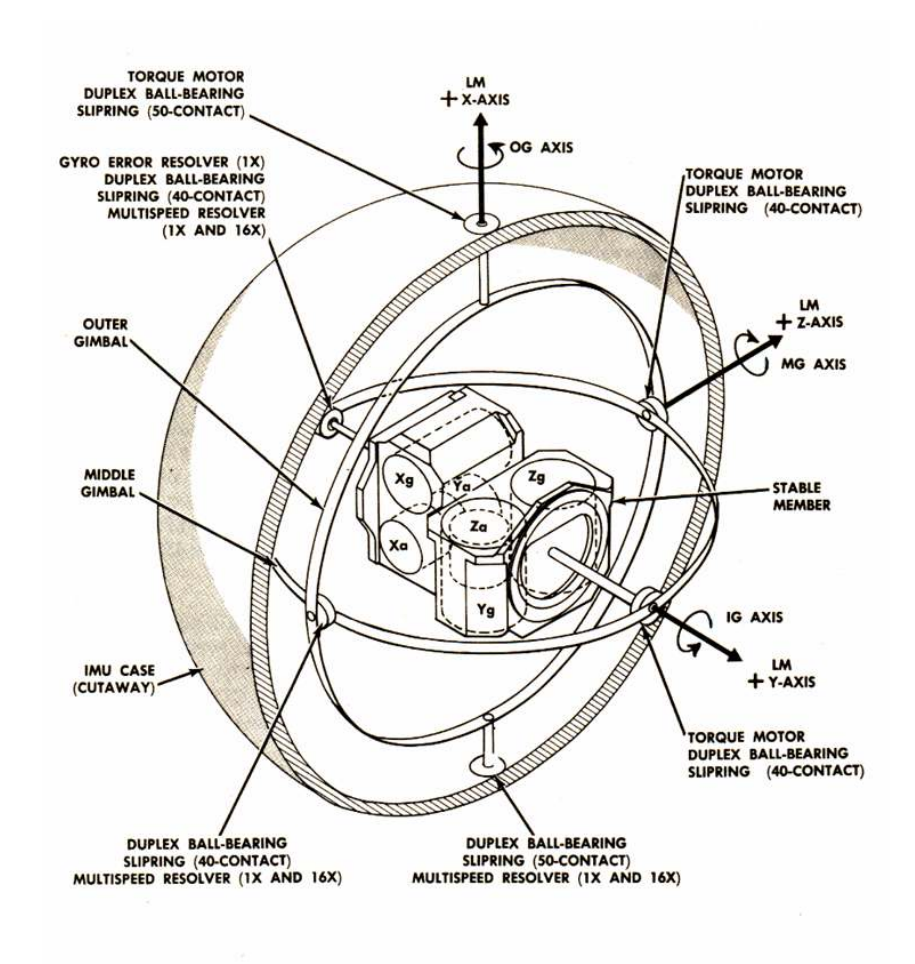
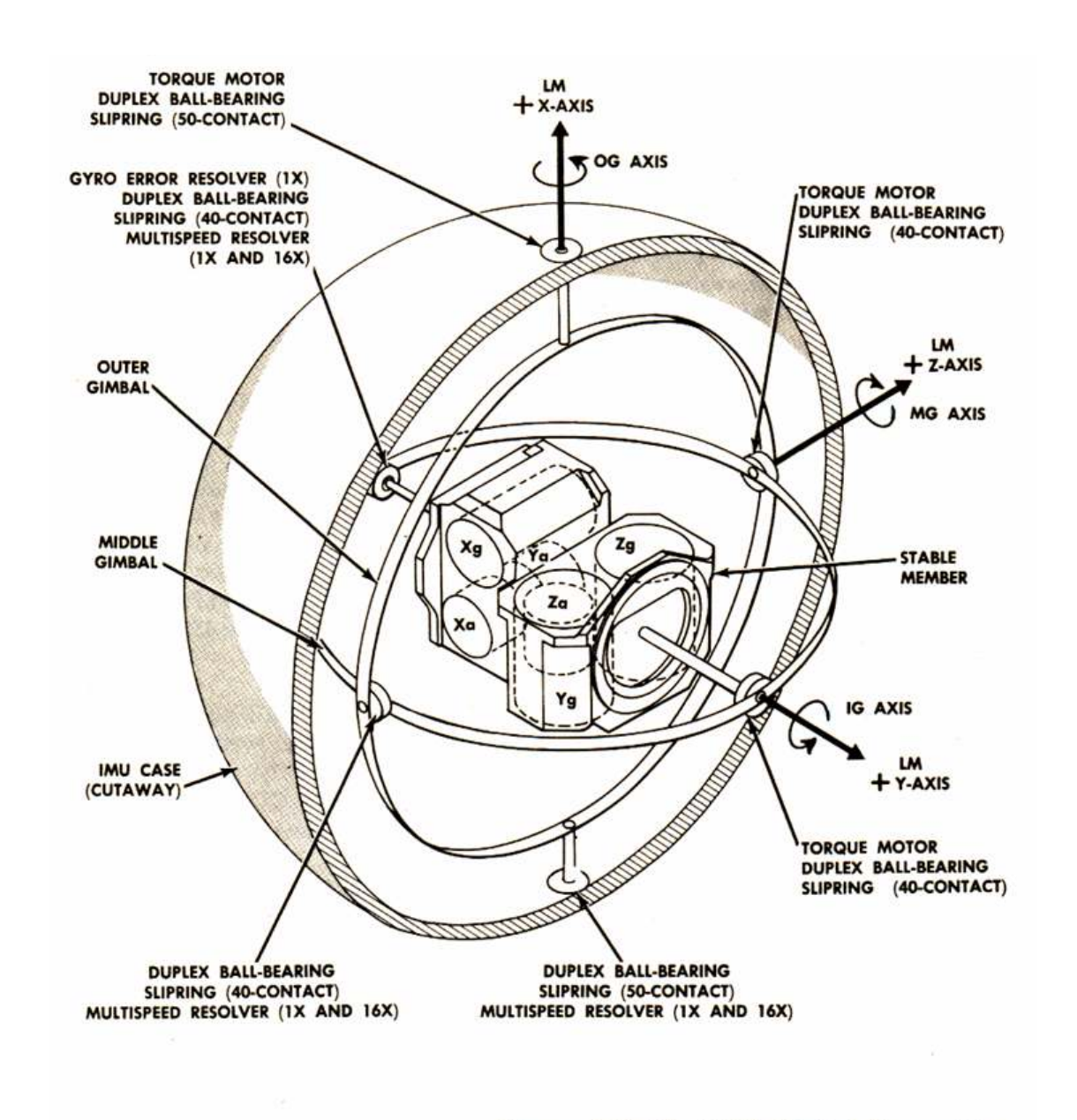


Figure 2, 1-24. IMU Gimbal Assembly





• Um Gimbal-Lock zu vermeiden, wurde tatsächlich ein 4-ter Gimbal eingeführt!



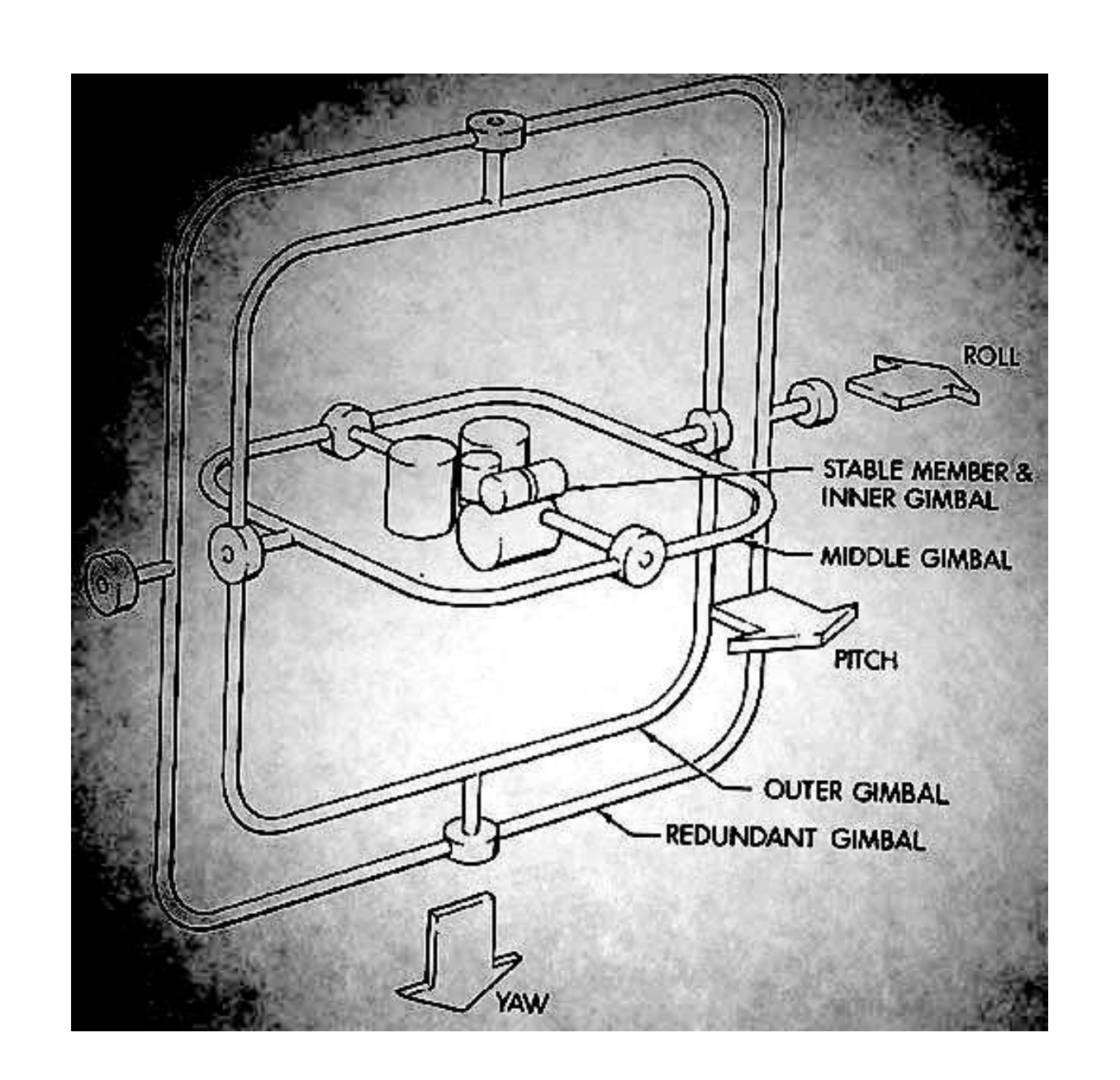


Figure 2.1-24. IMU Gimbal Assembly

Quelle: http://www.hq.nasa.gov/office/pao/History/alsj/gimbals.html



Matrix-Darstellung von Rotationen



- Gesucht: Rotationsmatrix zu gegebener Rotationsachse r (oBdA geht r durch den Ursprung)
- 1. Erzeuge neue Basis (**r**, **s**, **t**) (bestimme **s** und **t**, orthogonal zu **r**; siehe Kapitel "Kurze Wiederholung in Geometrie")
- 2. Transformiere alles, so daß die Basis (r, s, t) in die Standardbasis (x, y, z) übergeht
- 3. Rotiere mit Winkel θ um x-Achse
- 4. Transformiere zurück in die ursprüngliche Basis
- Zusammen:

$$M = BR_{\times}(\theta)B^{\mathsf{T}} \quad \mathsf{mit} \quad B = \begin{pmatrix} | & | & | \\ \mathbf{r} & \mathbf{s} & \mathbf{t} \\ | & | & | \end{pmatrix}$$

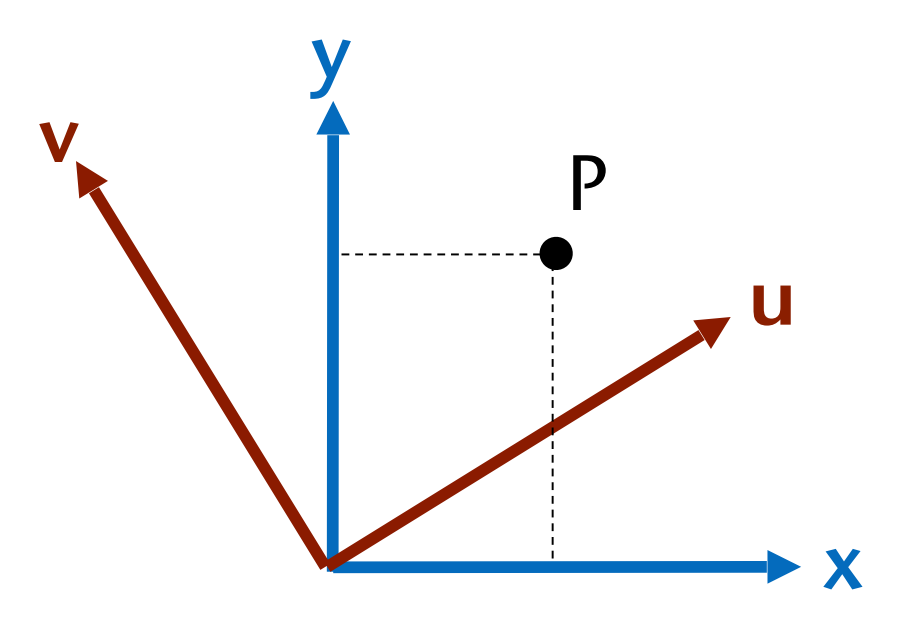


Zusammenhang zwischen Rotation und Basiswechsel



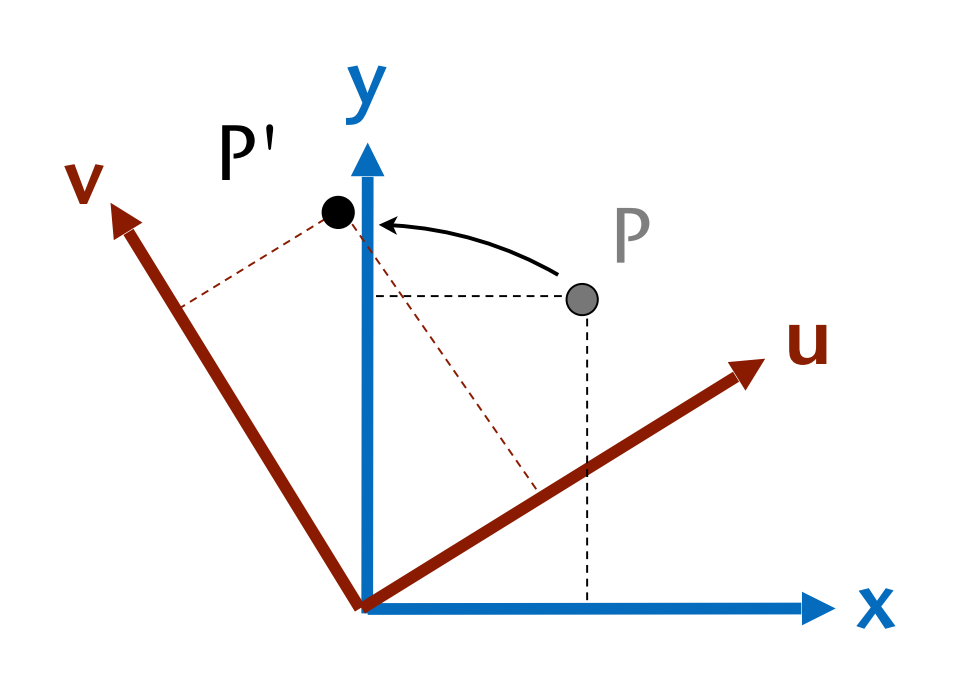
- Man kann eine Rotationsmatrix direkt aus den 3 Koordinatenachsen eines (neuen) Koordinatensystems konstruieren
- Gegeben: Einheitsvektoren u, v, w
- Setze:

$$R = \begin{pmatrix} | & | & | \\ \mathbf{u} & \mathbf{v} & \mathbf{w} \\ | & | & | \end{pmatrix}$$



- Damit ist $R \cdot R^T = I$ und det(R) = 1
- Also: *R* ist Rotation
- Und zwar von xyz-Koordinaten → uvw, denn:

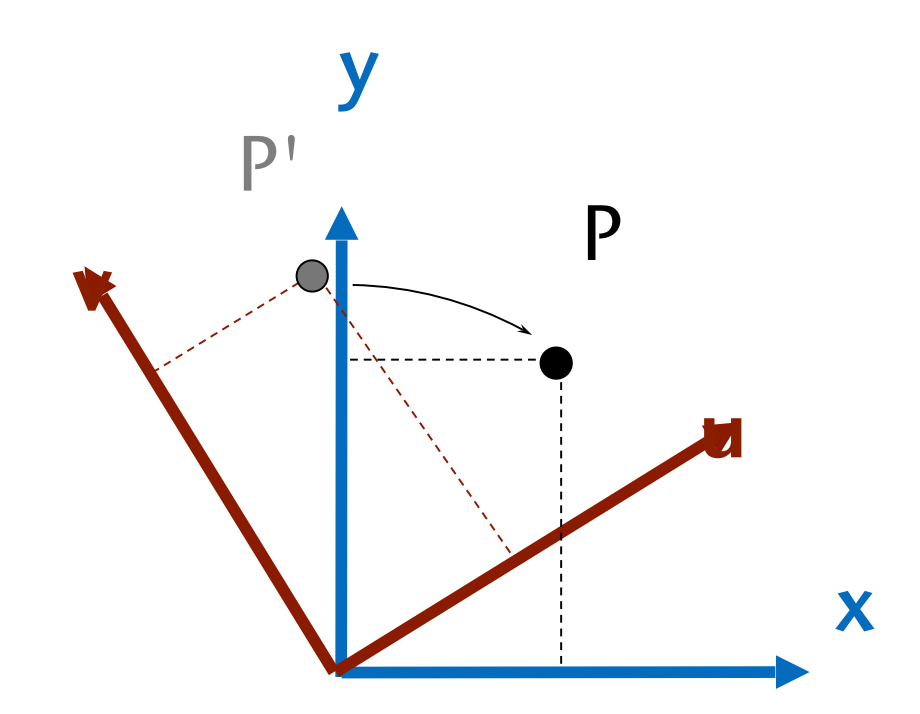
$$R \cdot \mathbf{e}_x = \mathbf{u}, \quad R \cdot \mathbf{e}_y = \mathbf{v}, \quad R \cdot \mathbf{e}_z = \mathbf{w}$$







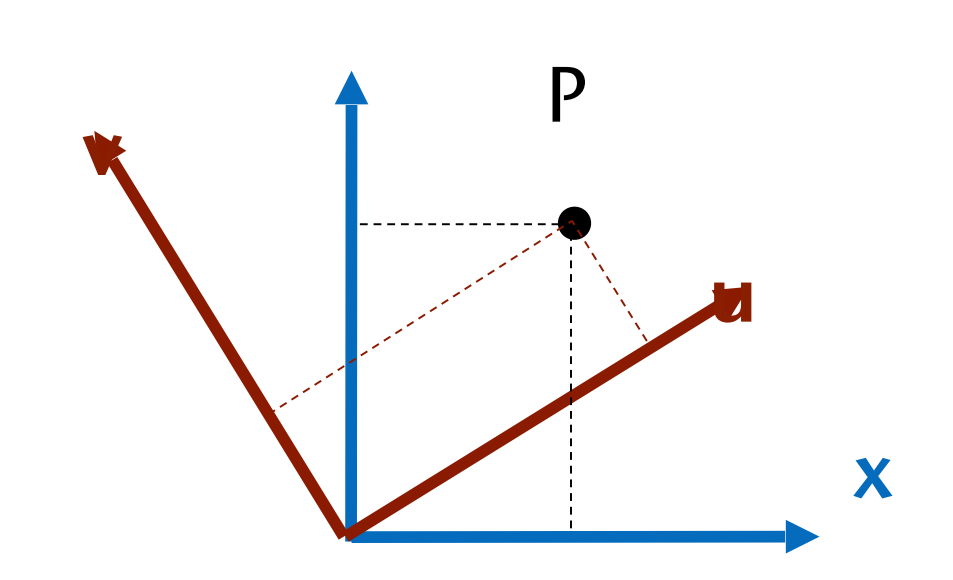
- Was bedeutet die Matrix R^{-1} ?
- ➤ Rotation von uvw-Koord. → xyz-Koord.



• Alternative Betrachtungsweise:

$$\mathbf{p}_{uvw} = R^{-1} \cdot P = R^{\mathsf{T}} \cdot \mathbf{p}_{xyz} = \begin{pmatrix} - & \mathbf{u} & - \\ - & \mathbf{v} & - \\ - & \mathbf{w} & - \end{pmatrix} \cdot \mathbf{p}_{xyz} = \begin{pmatrix} \mathbf{u} \cdot \mathbf{p}_{xyz} \\ \mathbf{v} \cdot \mathbf{p}_{xyz} \\ \mathbf{w} \cdot \mathbf{p}_{xyz} \end{pmatrix}$$

> \mathbf{p}_{uvw} stellt den selben Punkt P im Raum dar wie \mathbf{p}_{xyz} ! \mathbf{p}_{uvw} stellt ihn in uvw-Koordinaten dar, \mathbf{p}_{xyz} stellt ihn in xyz-Koordinaten dar!





Zerlegung einer Rotationsmatrix (Konvertierung von Matrix in Achse+Winkel)



- Gegeben: Rotationsmatrix R
- 1. Aufgabe: den Rotationswinkel θ bestimmen
- Lösung: $1 + 2\cos\theta = \operatorname{spur}(R)$
- Beweis:
 - Zu R gibt es eine Basiswechselmatrix U, so daß

$$URU^{-1} = R_{\times}(\theta) = \begin{pmatrix} 1 & 0 & 0 \\ 0 & \cos \theta & -\sin \theta \\ 0 & \sin \theta & \cos \theta \end{pmatrix}$$

• Es gilt: $\operatorname{spur}(R) = \operatorname{spur}(URU^{-1}) = \operatorname{spur}(R_{\times}(\theta)) = 1 + 2\cos\theta$ (Spezielle Eigenschaft der Spur)





- 2. Aufgabe: Rotationsachse r bestimmen
- Lösung: **r** ist der Eigenvektor zum Eigenwert 1 der Matrix *R*
- Beweis: alle Vektoren auf der Rotationsachse bleiben fest, d.h. $R\mathbf{r} = 1 \cdot \mathbf{r}$
- Berechnung der Eigenvektoren einer 3x3-Matrix:
 - Zur Erinnerung: zu jeder Matrix A gibt es eine adjungierte Matrix A#
 - Die Elemente $a_{ij}^{\#}$ der adjungierten Matrix sind definiert als

$$a_{ij}^{\#}=(-1)^{i+j}\detegin{pmatrix} a_{11}&\cdots&a_{1i}&\cdots\\ &\cdots&&a_{ji}&\cdots\\ &\cdots&&&\end{pmatrix}$$

• Es gilt: $AA^{\#} = \det(A)I$





- Falls $\det(A) = 0$, dann ist $AA^\# = 0 \cdot I = 0$
- Also gilt für jeden Spaltenvektor \mathbf{v} aus $A^{\#}$, daß $A \cdot \mathbf{v} = 0$
- Gesucht: Eigenvektor **r** zum Eigenwert 1 von *R*, also ein **r**, so daß $(R I) \cdot \mathbf{r} = 0$
- Das sind gerade die Spalten von $(R I)^{\#}$

- Bemerkung: alle Spalten sind Vielfache voneinander
- Bemerkung: das funktioniert auch für größere Matrizen, ist aber nicht mehr effizient



Euler's Satz über Rotationen



Jede Rotation kann mit Hilfe 3-er Winkel um (fast) beliebige Achsen zusammengesetzt werden.

Jede beliebige Rotation im Raum lässt sich als Rotation um eine bestimmte Achse mit einem bestimmten Winkel darstellen.

(Teil zwei haben wir gerade bewiesen. Teil eins führt zu Euler-Winkeln.)









George Francis, Louis Kauffman, Dan Sandin, Chris Hartman, John Hart

http://www.evl.uic.edu/hypercomplex/



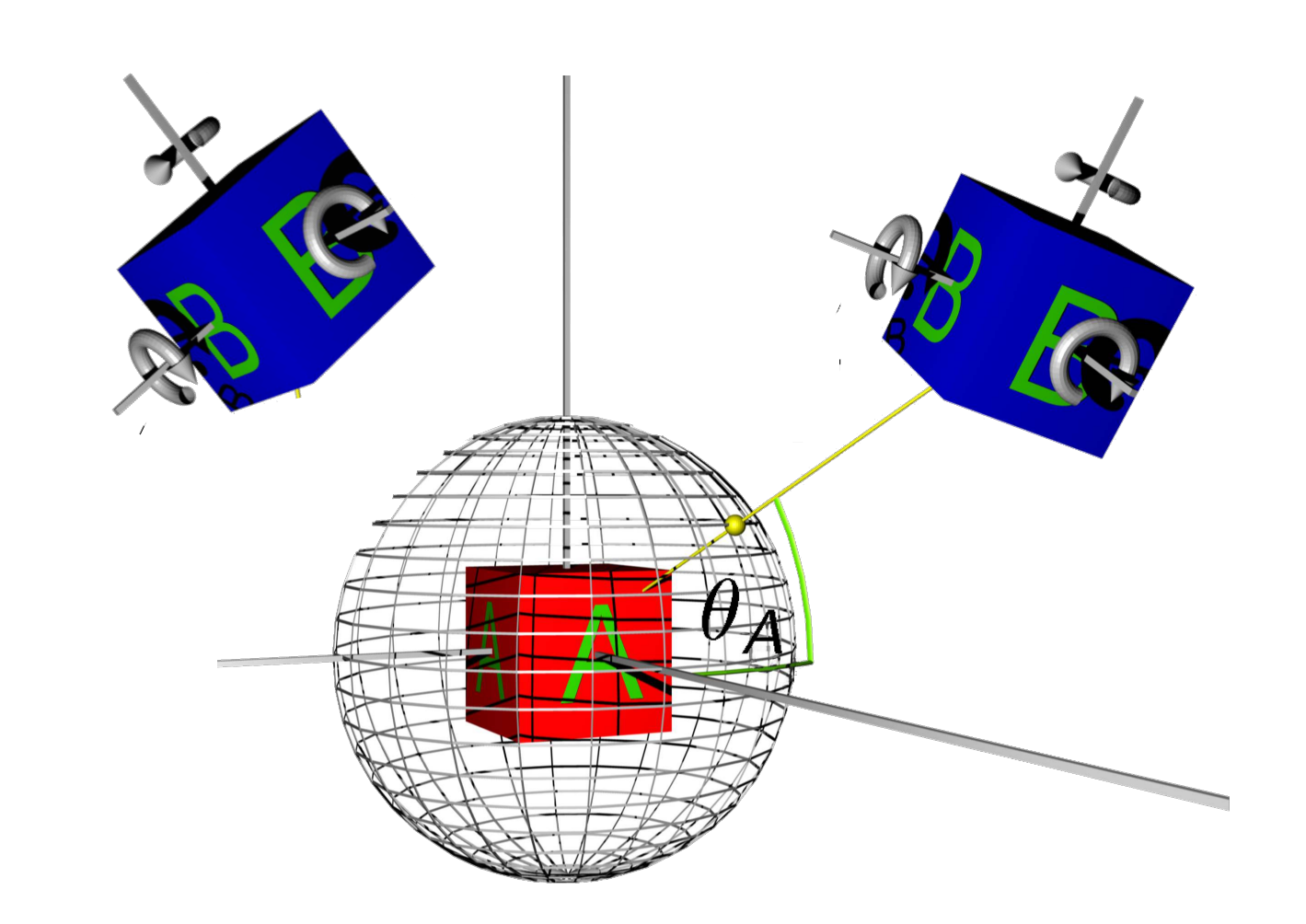
Interpolation von Orientierungen



Definition:

Orientierung = "Lage" (attitude / pose)
eines Objektes im Raum
= Rotation aus dessen Null-Lage

Punkt	Orientierung
Vektor	Rotation
Null-Element = (0,0,0)	Null-Element = Einheitsmatrix



- Häufige Aufgabe:
 - Gegeben: zwei Orientierungen O₁ und O₂ für dasselbe Objekt
 - Gesucht: eine Methode O(t) zur Interpolation zwischen O_1 und O_2 , die ästhetisch ansprechend und effizient ist
- Frage: welche Repräsentation ist dafür gut geeignet?



Vorbemerkungen



- Komplexe Zahlen kann man als Punkte in der Ebene betrachten
- Und als Rotation in der Ebene um den Ursprung!

$$e^{i\theta} = \cos\theta + i\sin\theta$$

 $v = re^{i\varphi} = r\cos\varphi + ri\sin\varphi$
 $e^{i\theta}v = re^{i\theta}e^{i\varphi} = re^{i(\theta+\varphi)} = r\cos(\theta+\varphi) + ri\sin(\theta+\varphi)$





- Wir können reelle Zahlen einfach invertieren: $x \cdot x^{-1} = 1$
- Auch für komplexe Zahlen können wir ein Inverses finden: $\frac{z \cdot z^*}{|z|^2} = 1$
- Gibt es etwas Analoges auch in "höheren Dimensionen"? \rightarrow Nein!
- ullet Z.B. eine "dreidimensionale" Verallgemeinerung von ${\mathbb C}$?
- Aber: im 4D klappt es wieder ... (fast)



Quaternionen



Erweiterung der komplexen Zahlen:

$$\mathbb{H} = \left\{ q \mid q = w + a \cdot \mathbf{i} + b \cdot \mathbf{j} + c \cdot \mathbf{k} , w, a, b, c \in \mathbb{R} \right\}$$

Alternative Schreibweise:

$$q = (w, \mathbf{v})$$

• Axiome für die 3 imaginären Einheiten:

$$\mathbf{i}^2 = \mathbf{j}^2 = \mathbf{k}^2 = \mathbf{i}\mathbf{j}\mathbf{k} = -1$$
 $(\mathbf{i}\mathbf{j})\mathbf{k} = \mathbf{i}(\mathbf{j}\mathbf{k})$

Daraus folgen sofort diese Rechengesetze:

$$ij = -ji = k$$
 $jk = -kj = i$ $ki = -ik = j$

G. Zachmann Computergraphik 1 WS December 2019 Transformationen 4



Eine Algebra über den Quaternionen



• Addition:
$$q_1 + q_2 = (w_1 + w_2) + (a_1 + a_2)\mathbf{i} + (b_1 + b_2)\mathbf{j} + (c_1 + c_2)\mathbf{k}$$

• Skalierung:
$$s \cdot q = (sw) + (sa)i + (sb)j + (sc)k$$

$$q_1 \cdot q_2 = (w_1 + a_1 \mathbf{i} + b_1 \mathbf{j} + c_1 \mathbf{k}) \cdot (w_2 + a_2 \mathbf{i} + b_2 \mathbf{j} + c_2 \mathbf{k})$$

$$= (w_1 w_2 - a_1 a_2 - b_1 b_2 - c_1 c_2) +$$

$$(w_1 a_2 + w_2 a_1 + b_1 c_2 - c_1 b_2) \mathbf{i} +$$

$$(...) \mathbf{j} +$$

$$(...) \mathbf{k}$$

Konjugation:

 $a^* = w - a\mathbf{i} - b\mathbf{i} - c\mathbf{k}$

- Betrag (Norm):
- $|a|^2 = w^2 + a^2 + b^2 + c^2 = a \cdot a^*$
- Inverse eines Einheitsquaternions: $|q| = 1 \Rightarrow q^{-1} = q^*$

$$|q|=1 \Rightarrow q^{-1}=q^*$$





Behauptung (o. Bew.):
 Image: Ima

• Bemerkung: manchmal ist es zweckmäßig, die Multiplikation zweier Quaternionen auch mit Hilfe einer Matrix-Multiplikation darzustellen

$$q_{1} \cdot q_{2} = \begin{pmatrix} w_{1} & -a_{1} & -b_{1} & -c_{1} \\ a_{1} & w_{1} & -c_{1} & b_{1} \\ b_{1} & c_{1} & w_{1} & -a_{1} \\ c_{1} & -b_{1} & a_{1} & w_{1} \end{pmatrix} q_{2} = \begin{pmatrix} w_{2} & -a_{2} & -b_{2} & -c_{2} \\ a_{2} & w_{2} & c_{2} & -b_{2} \\ b_{2} & -c_{2} & w_{2} & a_{2} \\ c_{2} & b_{2} & -a_{2} & w_{2} \end{pmatrix} q_{1}$$
Als Spaltenvektor geschrieben!

Als Spaltenvektor!



Einbettung des 3D-Vektorraumes in \mathbb{H}



51

• Den Vektorraum \mathbb{R}^3 kann man in \mathbb{H} so einbetten:

$$\mathbf{v} \in \mathbb{R}^3 \mapsto q_v = (0, \mathbf{v}) \in \mathbb{H}$$

Definition:
 Quaternionen der Form (0, v) heißen reine Quaternionen (pure quaternions)



Darstellung von Rotationen mittels Quaternionen



52

- Gegeben sei Axis & Angle (φ, \mathbf{r}) mit $\|\mathbf{r}\| = 1$
- Definiere das dazu gehörige Quaternion als

$$q = (\cos \frac{\varphi}{2}, \sin \frac{\varphi}{2} \mathbf{r}) = (\cos \frac{\varphi}{2}, \sin \frac{\varphi}{2} r_x, \sin \frac{\varphi}{2} r_y, \sin \frac{\varphi}{2} r_z)$$

- Beobachtung: |q| = 1
- Zurückrechnen: q = (w, a, b, c) sei gegeben, mit |q| = 1Dann ist

$$\varphi = 2 \arccos(w)$$
 $\mathbf{r} = \frac{1}{\sin \frac{\varphi}{2}} \begin{pmatrix} a \\ b \\ c \end{pmatrix} = \frac{1}{\sqrt{1 - w^2}} \begin{pmatrix} a \\ b \\ c \end{pmatrix}$





53

• Satz:

Jedes Einheitsquaternion kann man in der Form $(\cos \frac{\varphi}{2}, \sin \frac{\varphi}{2} \mathbf{r})$ darstellen.

- Beweis: siehe vorige Folie
- Theorem: Rotation mittels eines Quaternions Sei $\mathbf{v} \in \mathbb{H}$ ein pures Quaternion und $q \in \mathbb{H}$ ein Einheitsquaternion. Dann beschreibt die Abbildung

$$\mathbf{v} \mapsto q \cdot \mathbf{v} \cdot q^* = \mathbf{v}'$$

eine (rechtshändige) Rotation von \mathbf{v} , wobei Winkel und Achse durch q bestimmt sind.



Optional

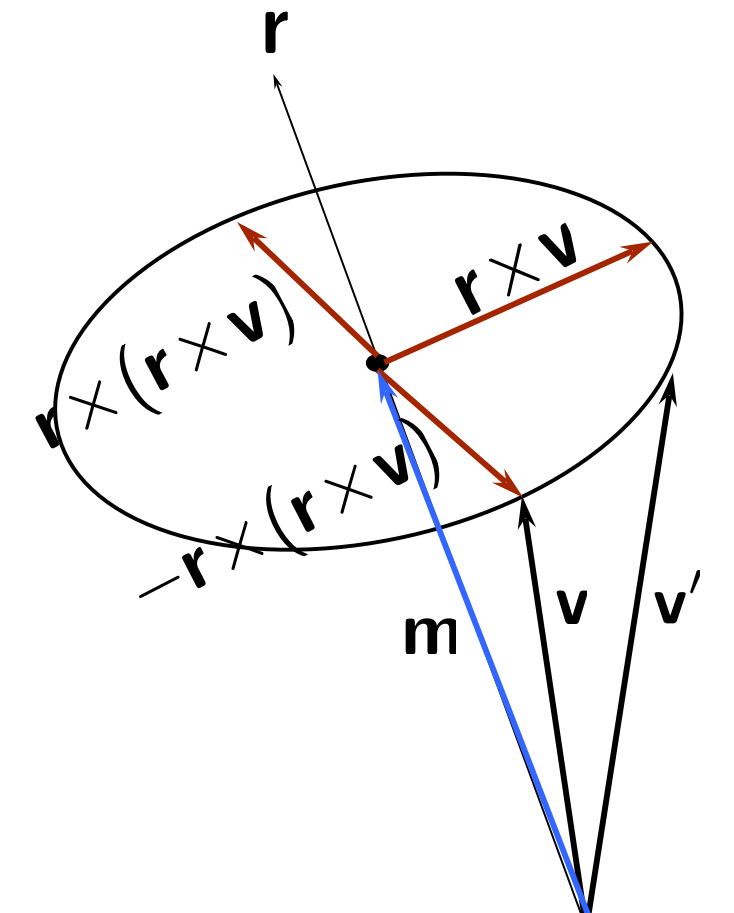


Beweisskizze:

$$q\mathbf{v}q^* = (c, s\mathbf{r}) \cdot (0, \mathbf{v}) \cdot (c, -s\mathbf{r})$$
 mit $c = \cos\frac{\varphi}{2}$, $s = \sin\frac{\varphi}{2}$

$$= \dots$$

$$= (0, \mathbf{v} + \sin \varphi \cdot \mathbf{r} \times \mathbf{v} + (1 - \cos \varphi) \cdot \mathbf{r} \times (\mathbf{r} \times \mathbf{v}))$$



$$\mathbf{v} + \mathbf{r} \times (\mathbf{r} \times \mathbf{v}) + \sin \varphi \cdot \mathbf{r} \times \mathbf{v} + \cos \varphi \cdot (-\mathbf{r} \times (\mathbf{r} \times \mathbf{v})) = \mathbf{v}'$$

*) Zwischendurch benötigt man diese trigonometrischen Identitäten:

$$\sin\varphi = 2\sin\frac{\varphi}{2}\cos\frac{\varphi}{2} \qquad 1 - \cos\varphi = 2\sin^2\frac{\varphi}{2}$$





• Bemerkung: die so definierte Rotationsabbildung ist mit der Quaternionen-Multiplikation verträglich, d.h., dass

$$R_{q_1}(R_{q_2}(\mathbf{v})) = R_{q_1 \cdot q_2}(\mathbf{v})$$

- Caveat: die beiden Einheits-Quaternionen q = (w, x, y, z) und -q = (-w, -x, -y, -z) stellen die selbe Rotation dar!
 - M.a.W.: die 4-dim. Einheitskugel in \mathbb{H} deckt die Gruppe aller Rotationen, SO(3), doppelt ab!



Lineare Interpolation von Quaternionen



56

- Gegeben: zwei Orientierungen q_1 , q_2
- Aufgabe: Orientierungen dazwischen interpolieren
- Einfachste Lösung: linear interpolieren

$$q(t) = (1-t)q_1 + tq_2 =: lerp(t; q_1, q_2)$$

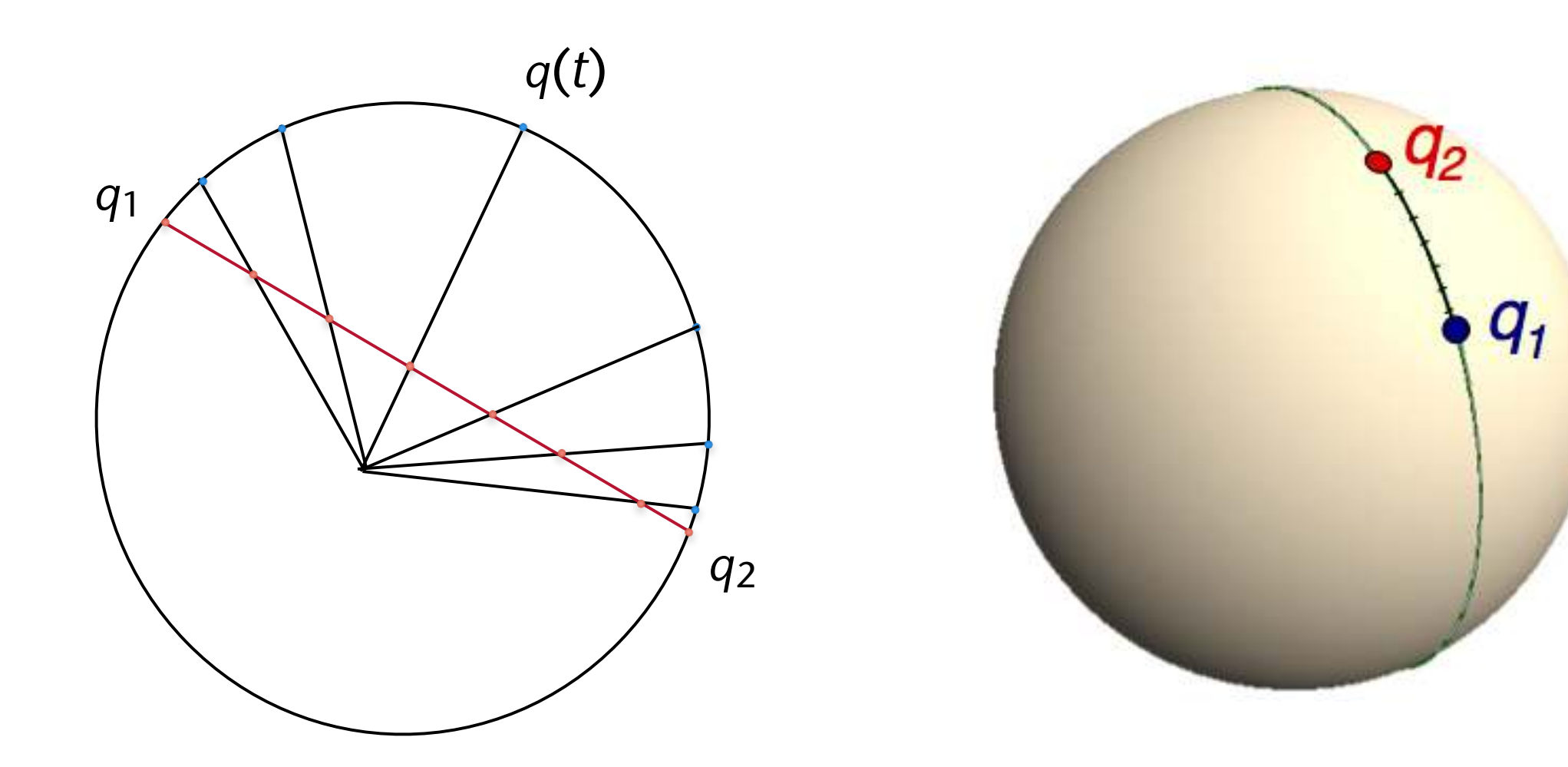
- Wichtig: q(t) hinterher immer normieren!
- Vorteil: Kein Gimbal Lock!



Sphärische lineare Interpolation



- Nachteil (noch): keine konstante Winkelgeschwindigkeit
- Problem: Geschwindigkeit an den "Enden" der Interpolation ist langsamer als in der "Mitte"

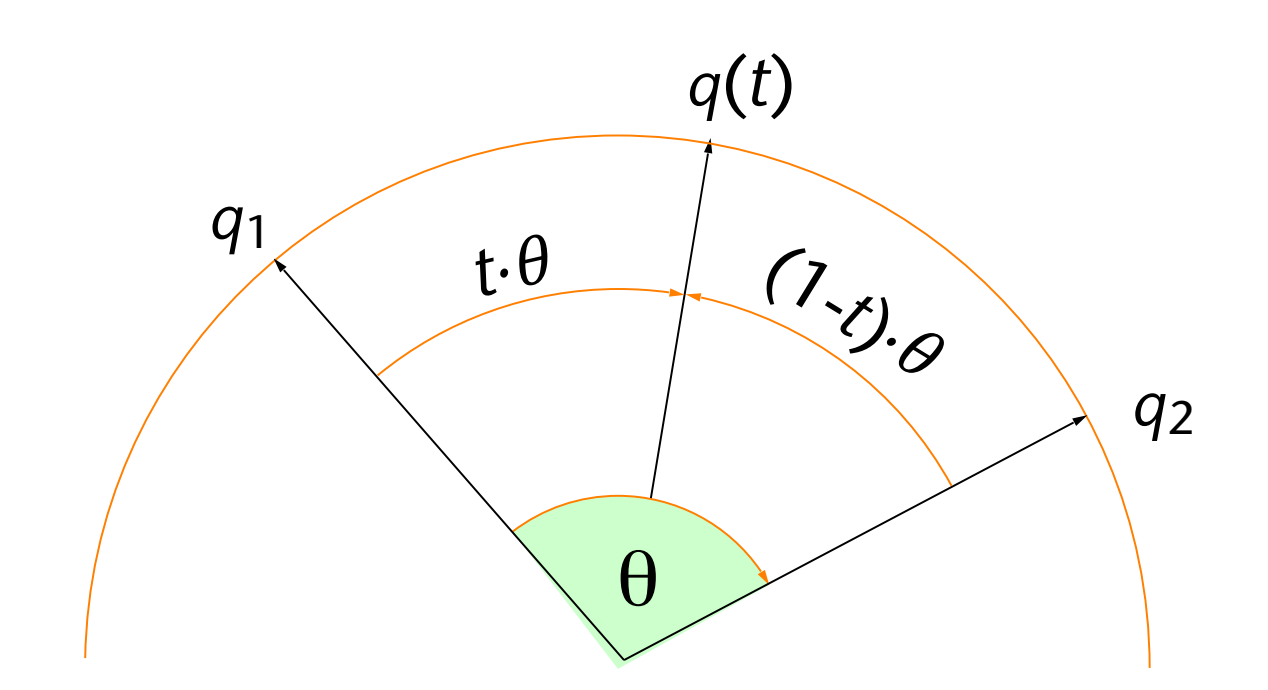






58

- Besser ist die sphärische lineare Interpolation "slerp"
 - Ansatz: interpoliere nicht die Distanz zwischen q1 und q2, sondern den Winkel dazwischen



•
$$q(t) = \operatorname{slerp}(t; q_1, q_2) = \frac{\sin((1-t)\theta)}{\sin\theta}q_1 + \frac{\sin(t\theta)}{\sin\theta}q_2$$

mit $\cos \theta = q_1 \odot q_2$ Skalarprodukt der *Vektoren* q_1 und q_2



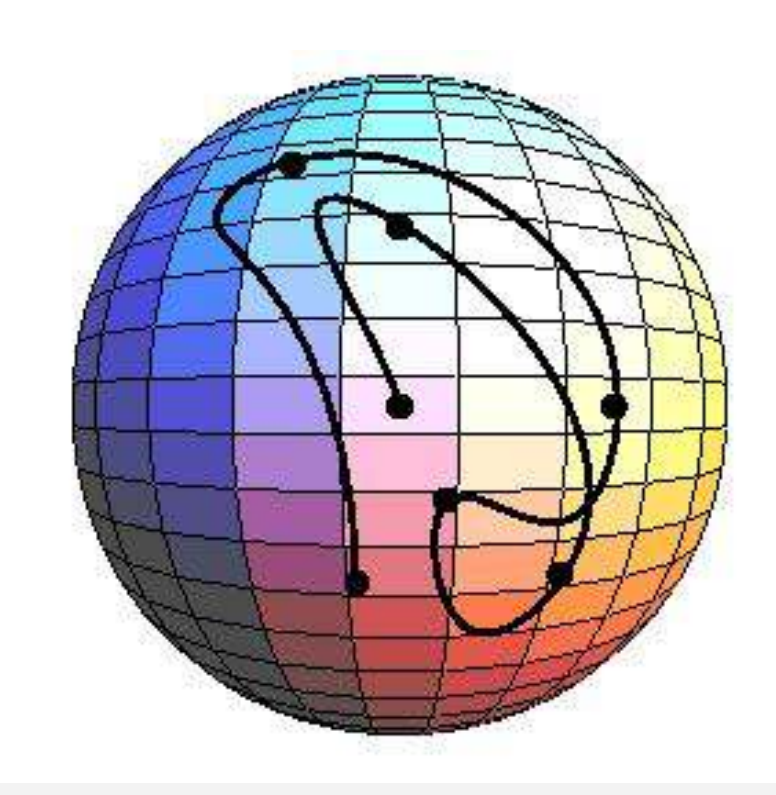


- In der Praxis interpoliert man die Quaternionen mit höherem Grad, mit irgend einem Standard-Interpolationsverfahren, das parametrische Kurven liefert
 - Z.B. Bezier-Kurven (oder B-Splines)
 - Mit De Casteljau geht das sehr einfach:
 - Statt

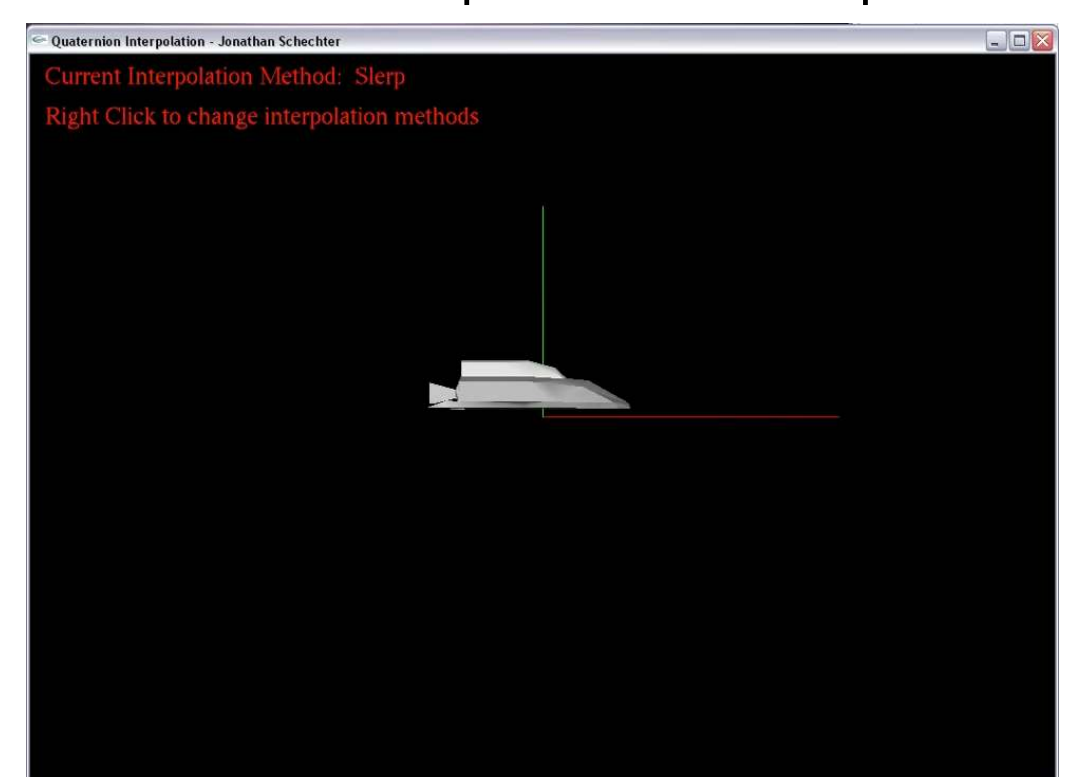
$$Q_i = (1-t)P_i + tP_{i+1}$$

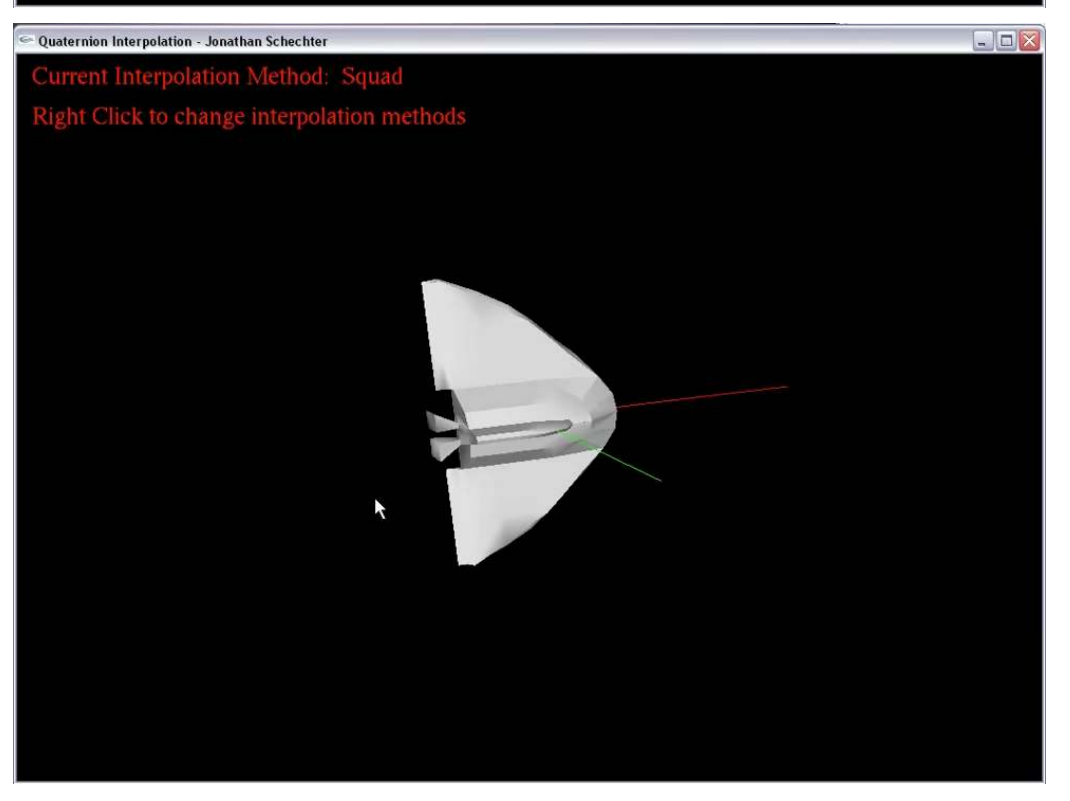
berechne fortgesetzt

$$Q_i = \operatorname{slerp}(t; P_i, P_{i+1})$$



Lineare Interpolation mit slerp





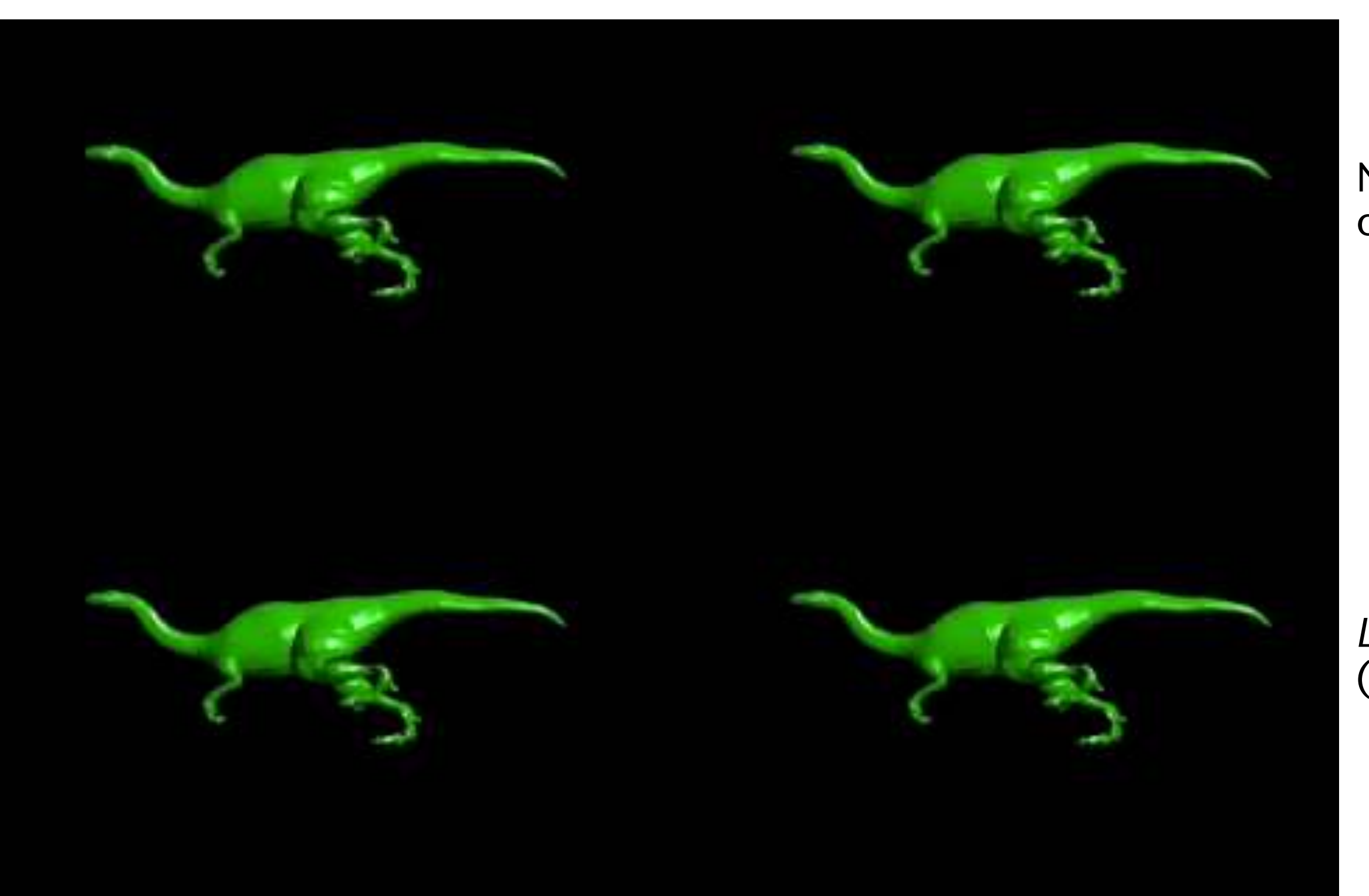
Kubische Interpolation mit slerp



Vergleich der verschiedenen linearen Interpolationsarten



Interpolation of Euler angles



Naïve interpolation of matrices

Slerp of quaternions

Lerp of quaternions (with normalization)

Gianluca Vatinno, Trinity College Dublin



Umwandlung Quaternion → Rotationsmatrix





 Zunächst das Analogon im 2D: wenn a,b, mit $a^2 + b^2 = 1$, gegeben sind, dann ist

$$M = \begin{pmatrix} a^2 - b^2 & -2ab \\ 2ab & a^2 - b^2 \end{pmatrix}$$

eine Rotationsmatrix.

• So ähnlich kann man eine Rotationsmatrix im 3D aus einem Quaternion q = w + ai + bj + aick, mit |q| = 1, bilden:

$$R(q) = \begin{pmatrix} w^2 + a^2 - b^2 - c^2 & 2ab - 2wc & 2ac - 2wb \\ -2ab + 2wc & w^2 - a^2 + b^2 - c^2 & 2bc - 2wa \\ -2ac + 2wb & -2bc + 2wa & w^2 - a^2 - b^2 + c^2 \end{pmatrix}$$

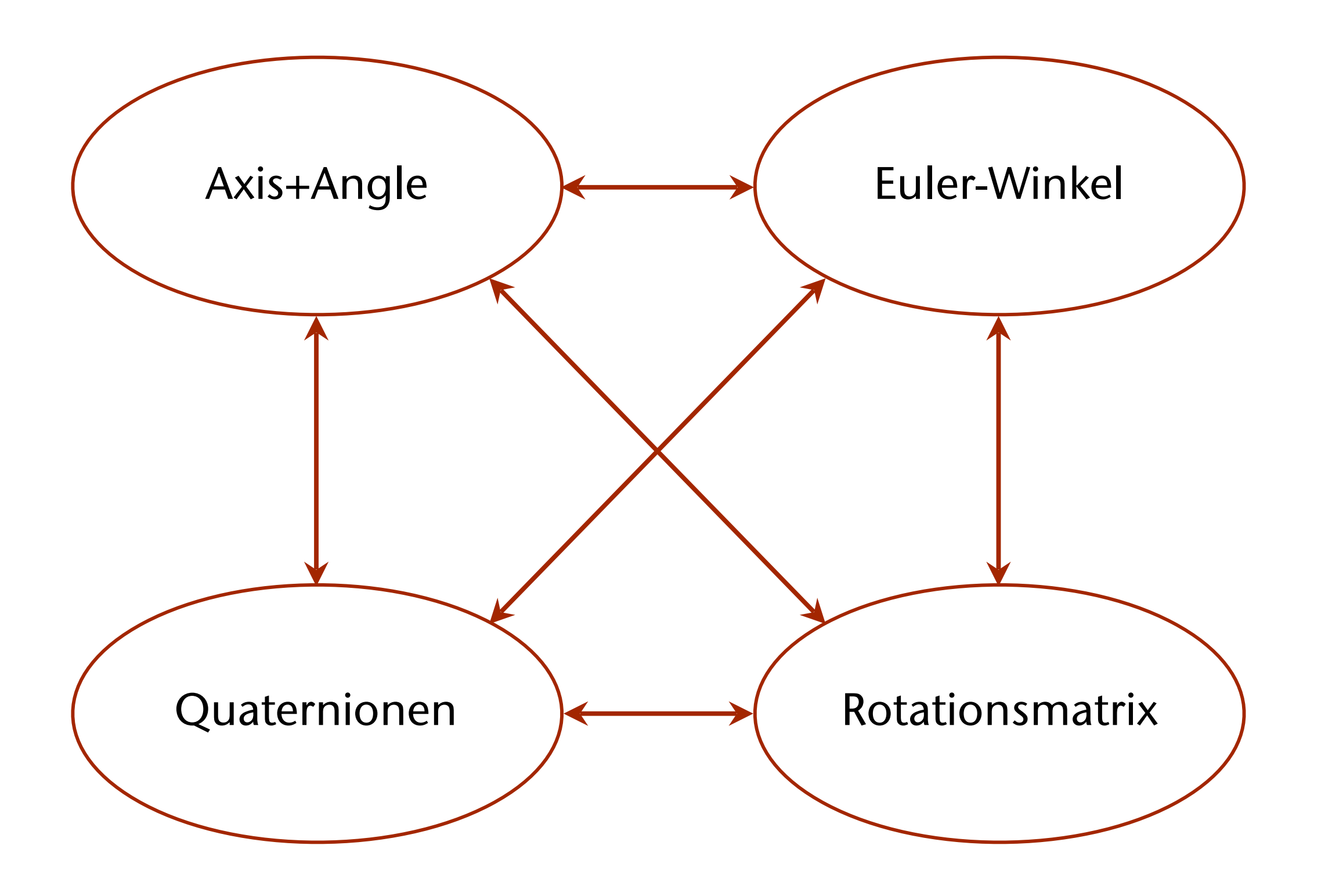
December 2019

- Uberprüfung:
 - Spalte $i \times Spalte j = 0 \Leftrightarrow i \neq j$
 - Spalte $i \times \text{Spalte } i = (w^2 + a^2 + b^2 + c^2)^2 = 1$



Alle Darstellungen von Rotation lassen sich ineinander umrechnen





Mehr Infos: siehe die Tutorials auf der Homepage der Vorlesung!







Matrix	Euler-Winkel
Quaternionen	Achse+Winkel



Vergleich der verschiedenen Arten zur Darstellung von Rotationen



Matrix	Euler-Winkel
 Ubiquitär in OpenGL / Game Engines 16 Floats (evtl. 12) + Vektor rotieren = 15 FLOPs + Einheitliche Repräsentation für alle affinen Transformationen - Rundungsfehler nach mehrfacher Konkatenation lassen sich nicht leicht korrigieren - Konkat. von Rotationen = 45 FLOPs 	 + Intuitiv (zunächst) + 3 Floats - Gimbal lock - keine Algebra (Rechenop.) darauf
Quaternionen + Intuitiv + 4 Floats + Rundungsfehler nach mehrfacher Konkatenation lassen sich leicht korrigieren (einfach normieren) + Konkat. von Rotationen = 28 FLOPs - Vektor rotieren = 30 FLOPs	Achse+Winkel + Sehr intuitiv + 3 Floats - keine Algebra (Rechenop.) darauf - Vektor rotieren = 40 FLOPs



Der virtuelle Trackball



- Interaktionsaufgabe: ein Objekt um eine beliebige Achse rotieren
- Mit echtem Trackball ist es trivial
- Wie gibt man Rotationen mit der 2D-Maus ein?







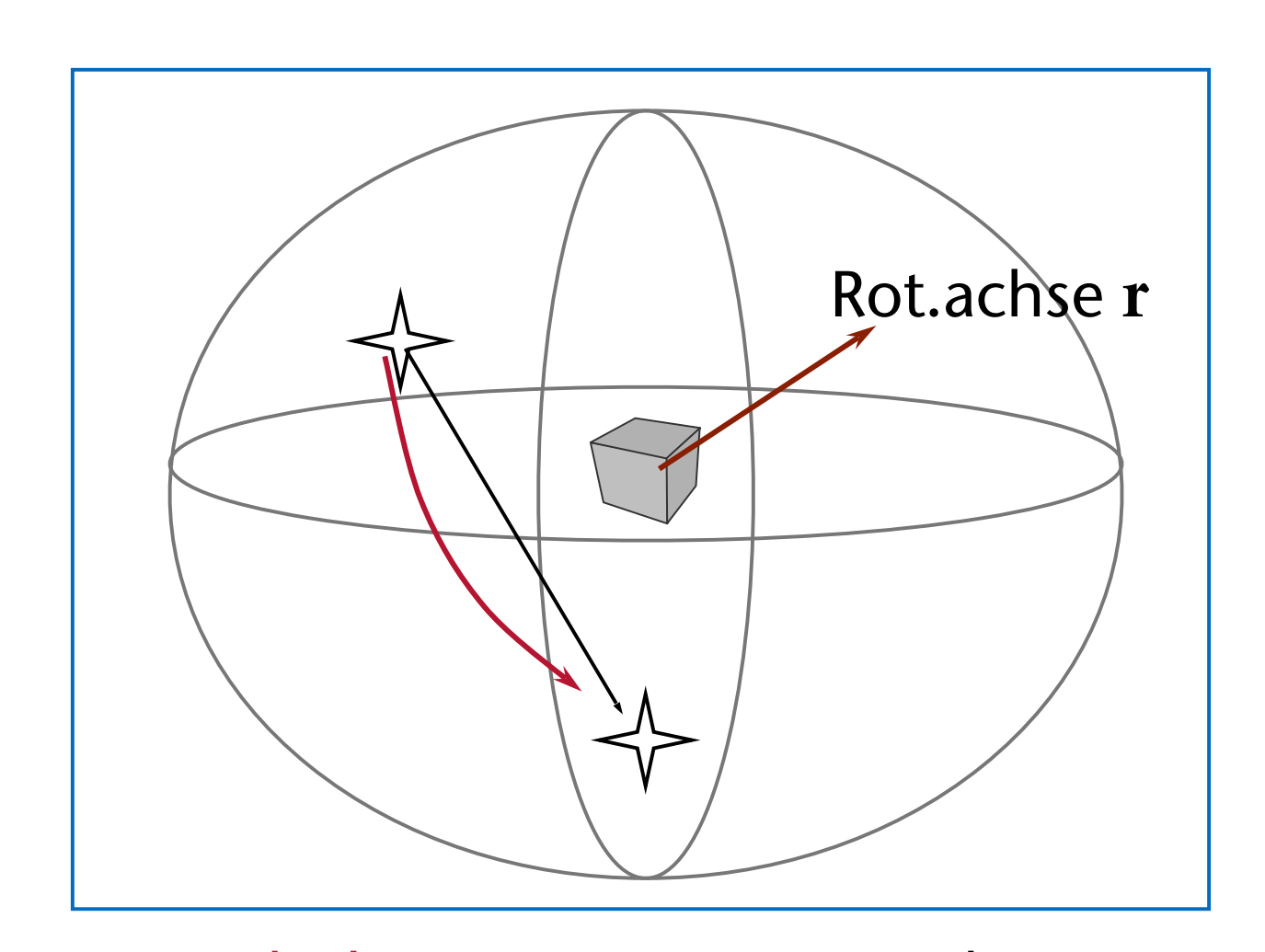
Die Interaktionsmetapher



- Idee:
 - Lege gedachte (virtuelle) Kugel um das Objekt
 - Kugel kann um ihr Zentrum rotieren
 - Maus pickt Punkt auf Oberfläche, den man zieht
- Geg.: Startpunkt = (x_1,y_1) , Endpunkt = (x_2,y_2) (in 2D!)
- Ges.: Rotationsachse r (in 3D), Rotationswinkel
- Berechnung:
 - 1. Bestimme 3D Punkte

$$\mathbf{p}_i = (x_i, y_i, z_i) \quad z_i = \sqrt{1 - (x_i^2 + y_i^2)}$$

2. Rotationsachse $\mathbf{r} = \mathbf{p}_1 \times \mathbf{p}_2$

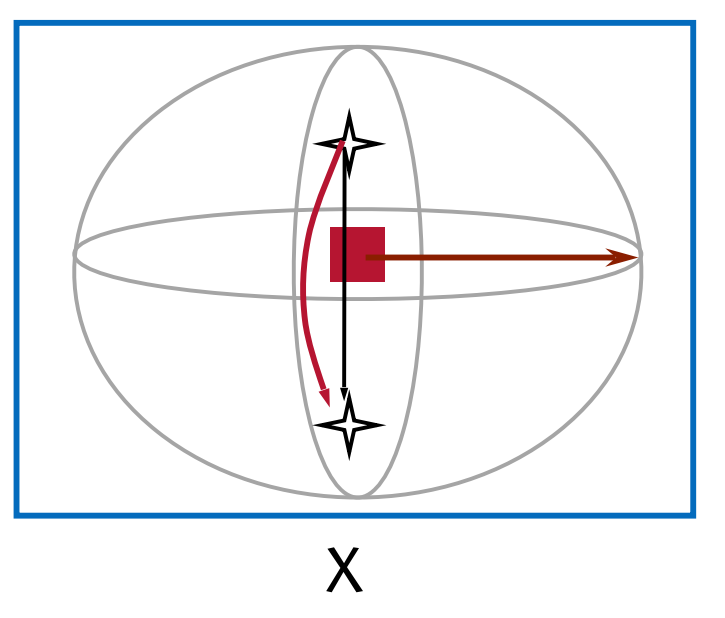


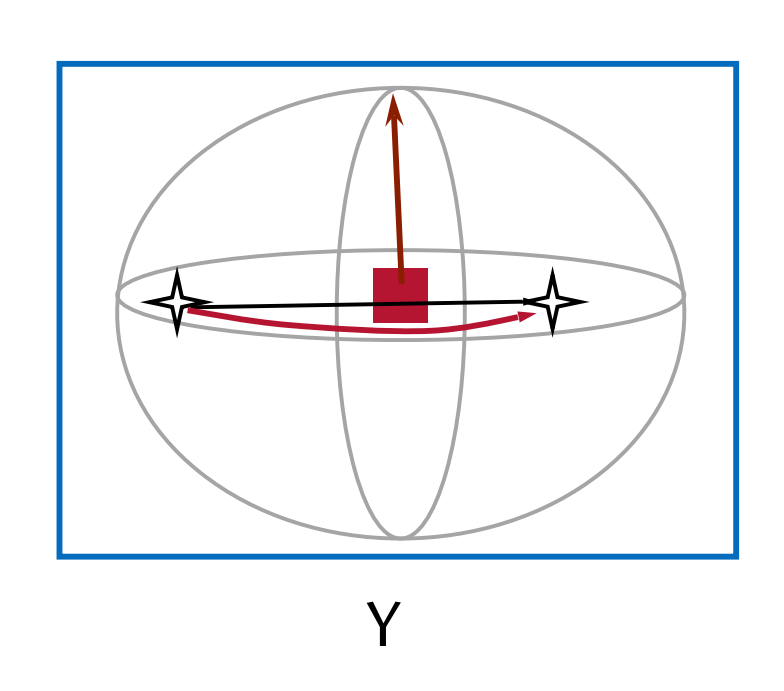
Gedachter Weg auf der Kugel = Segment des Großkreises Weg der Maus im Fenster

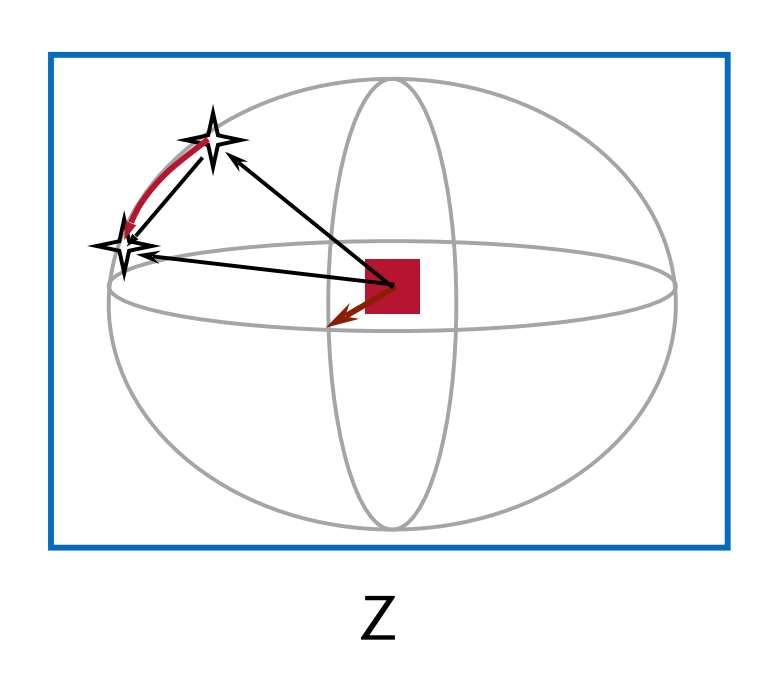




- Variante 1: \mathbf{p}_1 = erster Mausklick, \mathbf{p}_2 = aktuelle Mausposition: unintuitiv
- Variante 2: \mathbf{p}_1 = Mausposition vom vorigen Frame, \mathbf{p}_2 = aktuelle Mausposition: intuitiv, aber Rotation exakt um Z-Achse unmöglich







- Verbesserungen:
 - "Spinning trackball" vermeidet häufiges Nachfassen
 - "Snapping" f
 ür exaktes Rotieren um eine Koord.achse
 - Was macht man, wenn p2 die Ellipse verlässt? → andere 3D-Fläche verwenden, die an der Silhouette stetig anschließt



Bemerkungen



- Die Rotationsachse r ist zunächst im Kamera-Koordinatensystem definiert!
 - Sie muss aber nach Weltkoordinaten oder Obj.koordinaten zurückgerechnet werden (je nach dem, ob diese Rotation als letztes oder als erstes auf das Obj angewendet werden soll)
- Achtung: bei Variante 2 (inkrementeller Trackball) werden sehr viele Rotationen mit sehr kleinen Winkeln akkumuliert (pro Frame eine kleine Rotation) → achte auf numerische Robustheit und Drift



Affine Abbildungen



- Welche elementare Transformation fehlt uns noch?
- Translation:

$$X' = X + \mathbf{t}$$

Pragmatische Definition:
 Affine Abbildungen wirken auf Punkte, und bilden Geraden wieder auf Geraden, Ebenen wieder auf Ebenen ab.
 Alle affinen Abbildungen sind von der Form

$$\mathbf{p}' = M\mathbf{p} + \mathbf{t}$$

wobei p der Ortsvektor zum Punkt P ist.

 Problem: affine Transformationen können nicht in Form einer 3x3-Matrix dargestellt werden



Lösung: Homogene Koordinaten im 3D



- "Trick" (Homogenisierung):
 - Bette die Räume der 3D-Punkte und 3D-Vektoren in den 4D-Raum ein
 - Homogener Punkt $\mathbf{p} = (p_x, p_y, p_z, 1)$
 - Homogener Vektor $\mathbf{v} = (v_x, v_y, v_z, 0)$
- Vorteil: wir können mit beiden weiterrechnen, als wären es Vektoren
 - Achtung: dabei ist $w\neq 0$ und $w\neq 1$ erlaubt und kann vorkommen!
 - Nicht erlaubt: Wechsel von w=0 zu w≠0 und umgekehrt!
- Rück-Projektion:
 - Der homogene 4D-Vektor $\mathbf{p} = (x, y, z, w)$ $w \neq 0$ beschreibt den 3D-Punkt an der Stelle $P = \left(\frac{x}{w}, \frac{y}{w}, \frac{z}{w}\right)$
 - Der 4D-Vektor $\mathbf{v} = (v_x, v_y, v_z, 0)$ beschreibt den 3D-Vektor $\mathbf{v} = (v_x, v_y, v_z)$

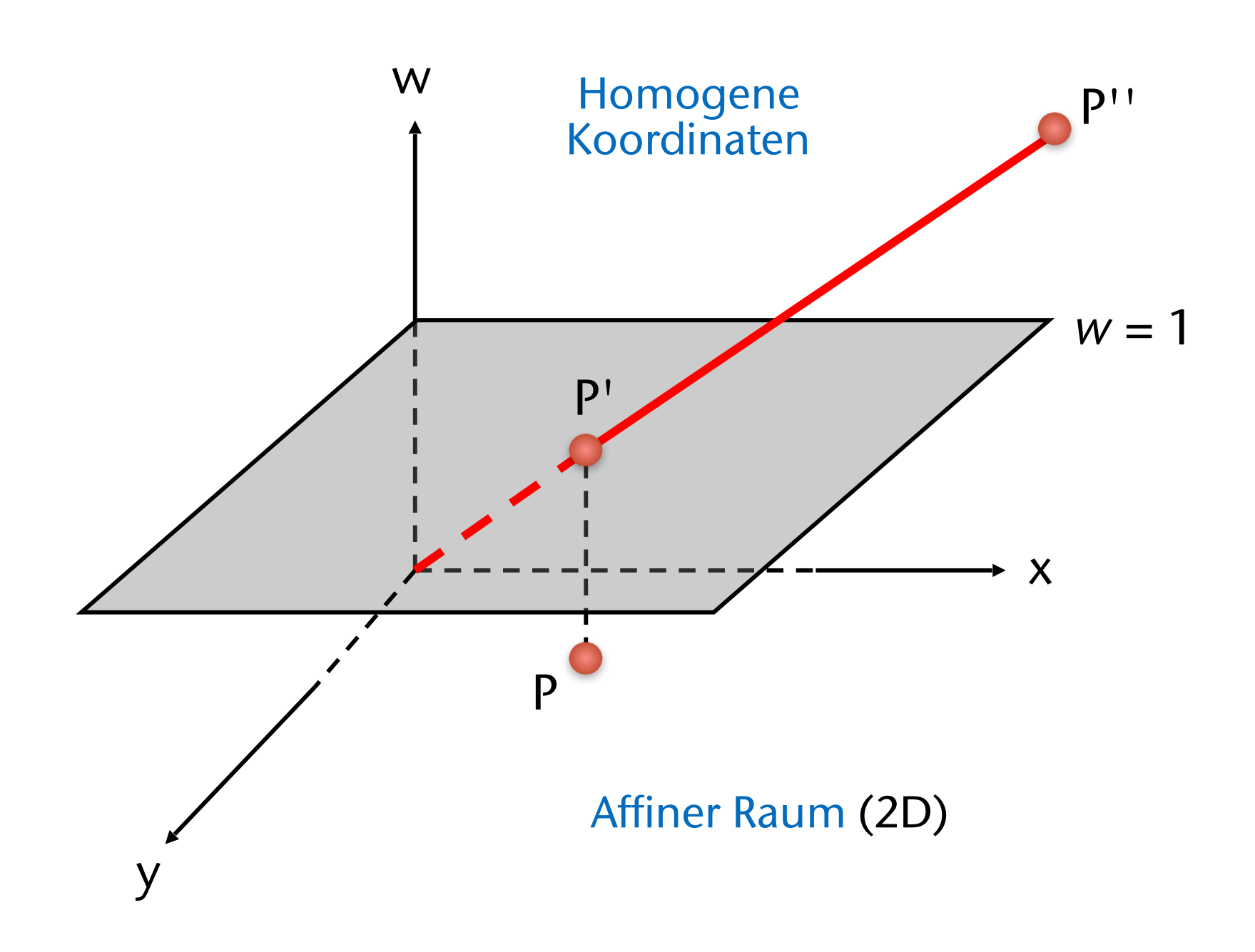
Transformationen



Veranschaulichung durch Analogie im 2D



- Erweitere Punkt P = (x,y) zu P' = (x,y,1)
- Assoziiere Linie w⋅(x,y,1) =
 (wx, wy, w) mit P'
- M.a.W.: ein 3D-Vektor (x, y, w) beschreibt ...
 - ... den 2D-Punkt (x/w, y/w) für
 w ≠ 0
 - ... den 2D-Vektor (x, y) für w = 0





Addition von Punkten und Vektoren in homogenen Koordinaten



• Punkt + Vektor = Punkt
$$\begin{pmatrix} p_x \\ p_y \\ p_z \\ 1 \end{pmatrix} + \begin{pmatrix} v_x \\ v_y \\ v_z \\ 0 \end{pmatrix} = \begin{pmatrix} p_x + v_x \\ p_y + v_y \\ p_z + v_z \\ 1 \end{pmatrix}$$

• Vektor + Vektor = Vektor
$$\begin{pmatrix} u_x \\ u_y \\ u_z \\ 0 \end{pmatrix} + \begin{pmatrix} v_x \\ v_y \\ v_z \\ 0 \end{pmatrix} = \begin{pmatrix} u_x + v_x \\ u_y + v_y \\ u_z + v_z \\ 0 \end{pmatrix}$$

• Punkt – Punkt = Vektor
$$\begin{pmatrix} p_x \\ p_y \\ p_z \\ 1 \end{pmatrix} - \begin{pmatrix} q_x \\ q_y \\ q_z \\ 1 \end{pmatrix} = \begin{pmatrix} p_x - q_x \\ p_y - q_y \\ p_z - q_z \\ 0 \end{pmatrix}$$

Transformationen



Caveat



- Achtung: im Allgemeinen darf man homogene Punkte nicht einfach im 4D voneinander subtrahieren!
- Subtraktion in 4D vor der Rückprojektion ergäbe:

$$\begin{pmatrix} p_x \\ p_y \\ p_z \\ p_w \end{pmatrix} - \begin{pmatrix} q_x \\ q_y \\ q_z \\ q_w \end{pmatrix} = \begin{pmatrix} p_x - q_x \\ p_y - q_y \\ p_z - q_z \\ p_w - q_w \end{pmatrix} \stackrel{\frown}{=} \frac{\mathbf{p}_{xyz} - \mathbf{q}_{xyz}}{p_w - q_w}$$

Subtraktion in 3D nach der Rückprojektion ergibt:

$$\frac{\mathbf{p}_{xyz}}{p_w} - \frac{\mathbf{q}_{xyz}}{q_w} = \frac{q_w \cdot \mathbf{p}_{xyz} - p_w \cdot \mathbf{q}_{xyz}}{p_w \cdot q_w}$$
Kurzschreibweise für den Vektor (q_x, q_y, q_z)



Lineare Abbildungen in homogenen Koordinaten



74

• 3x3-Form:

$$M \cdot \mathbf{v} = egin{pmatrix} m_{00} & m_{01} & m_{02} \ m_{10} & m_{11} & m_{12} \ m_{20} & m_{21} & m_{22} \end{pmatrix} \cdot egin{pmatrix} v_x \ v_y \ v_z \end{pmatrix}$$

• Homogene Form:

$$M_{4 imes 4} \cdot \mathbf{v}' = egin{pmatrix} m_{00} & m_{01} & m_{02} & 0 \ m_{10} & m_{11} & m_{12} & 0 \ m_{20} & m_{21} & m_{22} & 0 \ 0 & 0 & 1 \end{pmatrix} \cdot egin{pmatrix} v_x \ v_y \ v_z \ 0 \end{pmatrix}$$



Translation



Translation eines Punktes:

$$T_t \cdot P = egin{pmatrix} 1 & 0 & 0 & t_X \ 0 & 1 & 0 & t_y \ 0 & 0 & 1 & t_z \ 0 & 0 & 0 & 1 \end{pmatrix} \cdot egin{pmatrix} p_X \ p_y \ p_z \ 1 \end{pmatrix} = egin{pmatrix} p_X + t_X \ p_y + t_y \ p_z + t_z \ 1 \end{pmatrix}$$

"Translation" eines Vektors:

$$T_t \cdot \mathbf{v} = egin{pmatrix} 1 & 0 & 0 & t_X \ 0 & 1 & 0 & t_y \ 0 & 0 & 1 & t_z \ 0 & 0 & 0 & 1 \end{pmatrix} \cdot egin{pmatrix} v_X \ v_y \ v_z \ 0 \end{pmatrix} = egin{pmatrix} v_X \ v_y \ v_z \ 0 \end{pmatrix}$$

December 2019

Inverse:

$$(T_t)^{-1} = T_{-t}$$



Allgemeine affine Abbildungen im 3D



76

• 3x3-Form:

$$M \cdot \mathbf{p} + t = egin{pmatrix} m_{00} & m_{01} & m_{02} \ m_{10} & m_{11} & m_{12} \ m_{20} & m_{21} & m_{22} \end{pmatrix} \cdot egin{pmatrix} p_{\chi} \ p_{\chi} \ p_{\chi} \end{pmatrix} + egin{pmatrix} t_{\chi} \ t_{y} \ t_{z} \end{pmatrix}$$

• Homogene Form:

$$M_{4 imes 4} \cdot \mathbf{p}_4 = egin{pmatrix} m_{00} & m_{01} & m_{02} & t_{x} \ m_{10} & m_{11} & m_{12} & t_{y} \ m_{20} & m_{21} & m_{22} & t_{z} \ 0 & 0 & 0 & 1 \end{pmatrix} \cdot egin{pmatrix} p_{x} \ p_{y} \ p_{z} \ 1 \end{pmatrix}$$

➤ In homogenen Koordinaten lassen sich sogar alle affinen Abbildungen als einfache Matrix-Vektor-Multiplikation darstellen!



Die elem. linearen Transformationen in homogenen Koordinaten



77

• Rotation:

$$R_y(\phi) = egin{pmatrix} \cos \phi & 0 & \sin \phi & 0 \ 0 & 1 & & 0 \ -\sin \phi & 0 & \cos \phi & 0 \ 0 & 0 & 0 & 1 \end{pmatrix}$$

• Skalierung:

$$S\left(s_{x},s_{y},s_{z}
ight)=egin{pmatrix} s_{\chi}&0&0&0\0&s_{y}&0&0\0&0&s_{z}&0\0&0&0&1 \end{pmatrix}$$

Scherung:

$$H_{xz}(s) \cdot \mathbf{p} = egin{pmatrix} 1 & 0 & s & 0 \ 0 & 1 & 0 & 0 \ 0 & 0 & 1 & 0 \ 0 & 0 & 0 & 1 \end{pmatrix} \cdot egin{pmatrix} p_x \ p_y \ p_z \ 1 \end{pmatrix} = egin{pmatrix} p_x + sp_z \ p_y \ p_z \ 1 \end{pmatrix}$$



Starre Transformationen (Rigid-Body Transform)



78

- Hintereinanderausführung von Translationen und Rotationen
 - Aka. (Euklidische Transformation)
- Erhält Längen und Winkel eines Objektes
 - Objekte werden nicht deformiert / verzerrt

• Allgemeine Form:
$$M = T_t R = \begin{pmatrix} r_{00} & r_{01} & r_{02} & t_x \\ r_{10} & r_{11} & r_{12} & t_y \\ r_{20} & r_{21} & r_{22} & t_z \\ 0 & 0 & 0 & 1 \end{pmatrix}$$

Inverse Rigid-Body Transformation:

$$M^{-1} = (T_t R)^{-1} = R^{-1} T_t^{-1} = R^{\mathsf{T}} T_{-t}$$

$$M = \begin{pmatrix} R & t \\ 0^T & 1 \end{pmatrix} \qquad M^{-1} = \begin{pmatrix} R^{\mathsf{T}} & -R^{\mathsf{T}} t \\ 0 & 1 \end{pmatrix}$$



Zur Anatomie der Matrix



Betrachte "erst Rotation, dann Translation":

$$P' = (TR)P = MP = R_{3\times 3} \cdot P + \mathbf{t}$$

$$M = \begin{pmatrix} 1 & 0 & 0 & t_x \\ 0 & 1 & 0 & t_y \\ 0 & 0 & 1 & t_z \\ 0 & 0 & 0 & 1 \end{pmatrix} \begin{pmatrix} R_{11} & R_{12} & R_{13} & 0 \\ R_{21} & R_{22} & R_{23} & 0 \\ R_{31} & R_{32} & R_{33} & 0 \\ 0 & 0 & 0 & 1 \end{pmatrix}$$

$$= \begin{pmatrix} R_{11} & R_{12} & R_{13} & t_x \\ R_{21} & R_{22} & R_{23} & t_y \\ R_{31} & R_{32} & R_{33} & t_z \\ \hline 0 & 0 & 0 & 1 \end{pmatrix} = \begin{pmatrix} R & \mathbf{t} \\ 0 & 1 \end{pmatrix}$$





80

Betrachte "erst Translation, dann Rotation":

$$P' = (RT)P = MP \cong R(P + \mathbf{t}) = R_{3\times 3}P + R_{3\times 3}\mathbf{t}$$

$$M = \begin{pmatrix} R_{11} & R_{12} & R_{13} & 0 \\ R_{21} & R_{22} & R_{23} & 0 \\ R_{31} & R_{32} & R_{33} & 0 \\ 0 & 0 & 0 & 1 \end{pmatrix} \begin{pmatrix} 1 & 0 & 0 & T_x \\ 0 & 1 & 0 & T_y \\ 0 & 0 & 1 & T_z \\ 0 & 0 & 0 & 1 \end{pmatrix}$$

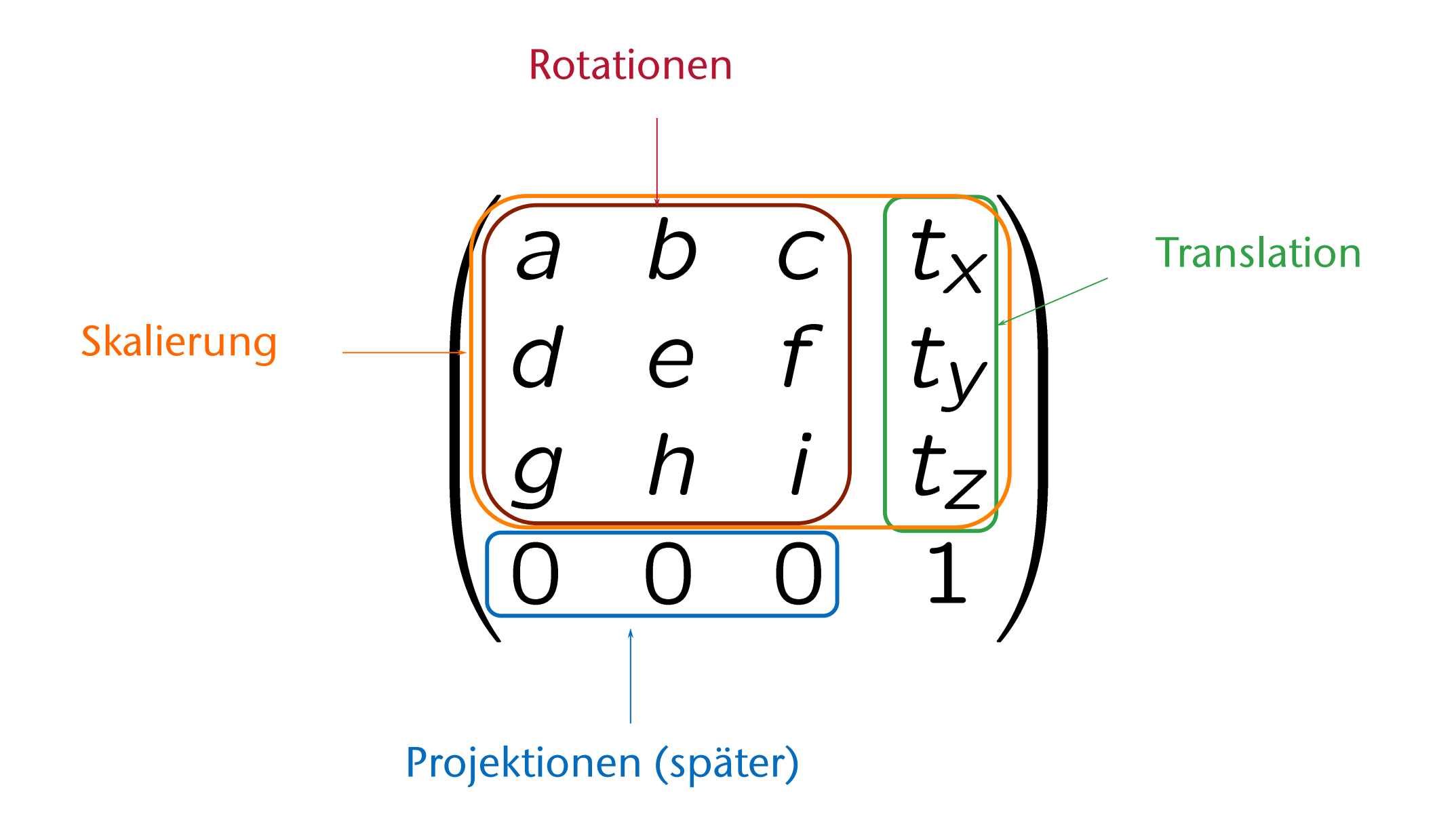
$$= \begin{pmatrix} R_{3\times 3} & R_{3\times 3} T_{3\times 1} \\ 0_{1\times 3} & 1 \end{pmatrix}$$



Zur Anatomie einer Matrix



Allgemeiner Aufbau (vereinfacht!):

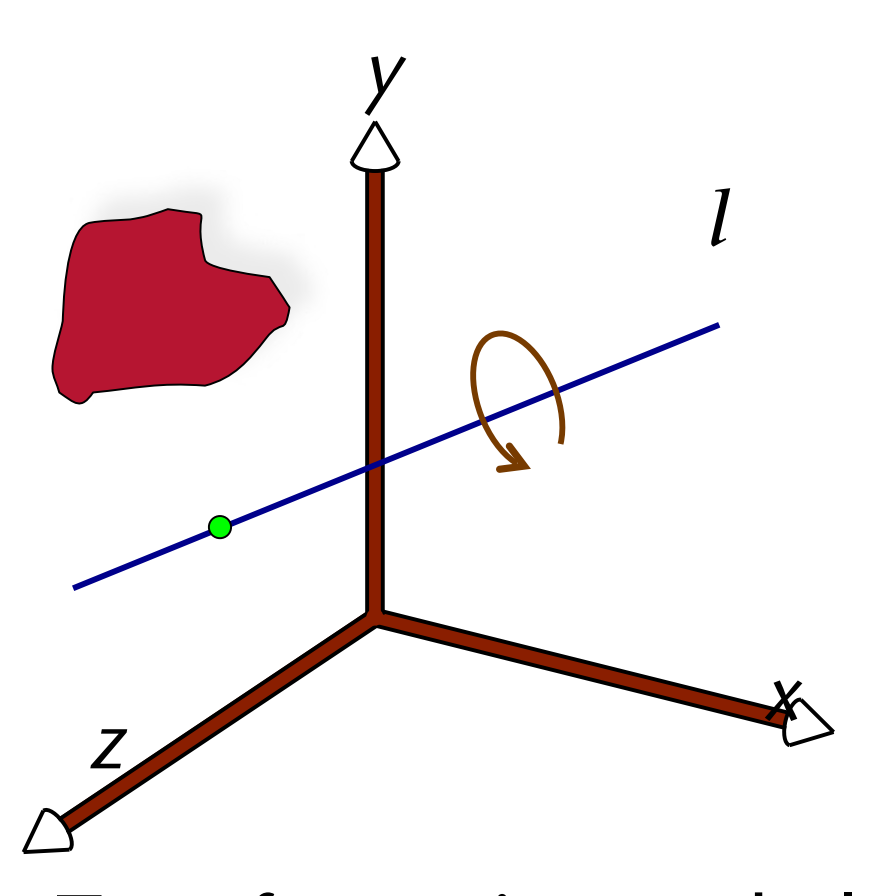




Rotation um eine beliebige Achse in 3D



ullet Man möchte mit heta um die Gerade l rotieren, Gerade geht durch den beliebigen Punkt p



- Gesucht: eine Matrix M, die diese Transformation enthält
- Wir wissen, wie man um eine Koordinatenachse rotiert
- Somit müssen wir die Szene in eine Situation transformieren, mit der wir umgehen können



Grundidee

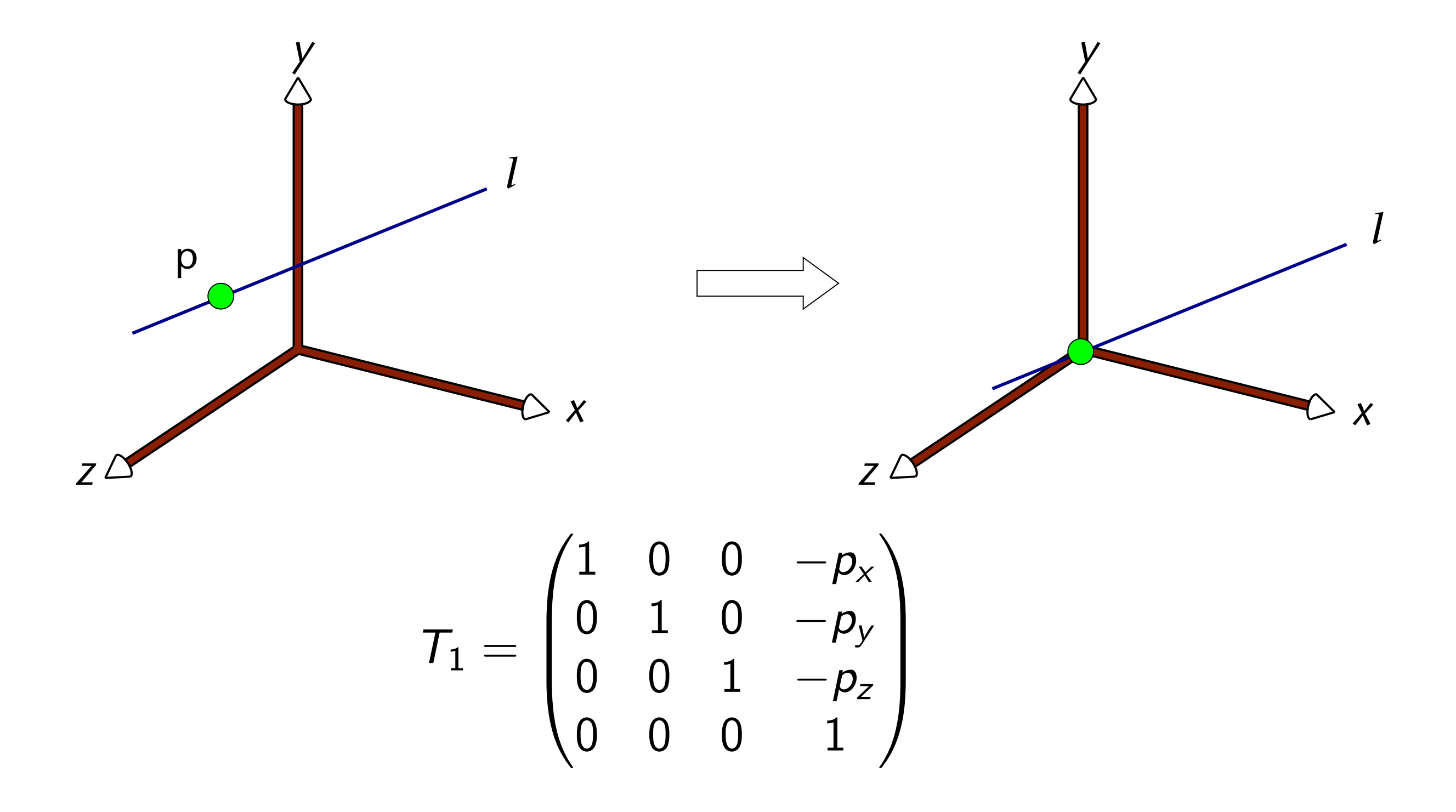


- 1. Verschiebe einen Punkt der Geraden in den Ursprung
- 2. Rotiere um eine Achse, so daß I in einer Koordinatenebene liegt
- 3. Rotiere um eine weiter Achse, so daß I auf einer Koordinatenachse liegt
- 4. Rotiere um diese Achse mit Winkel θ
- 5. Invertierte Rotation um die Koordinatenachse aus Schritt 3
- 6. Invertierte Rotation um die Koordinatenachse aus Schritt 2
- 7. Invertiere Verschiebung aus Schritt 1, so daß I wieder in Ausgangsposition





• Verschiebe Gerade, so daß ein Punkt von 1 im Ursprung liegt:

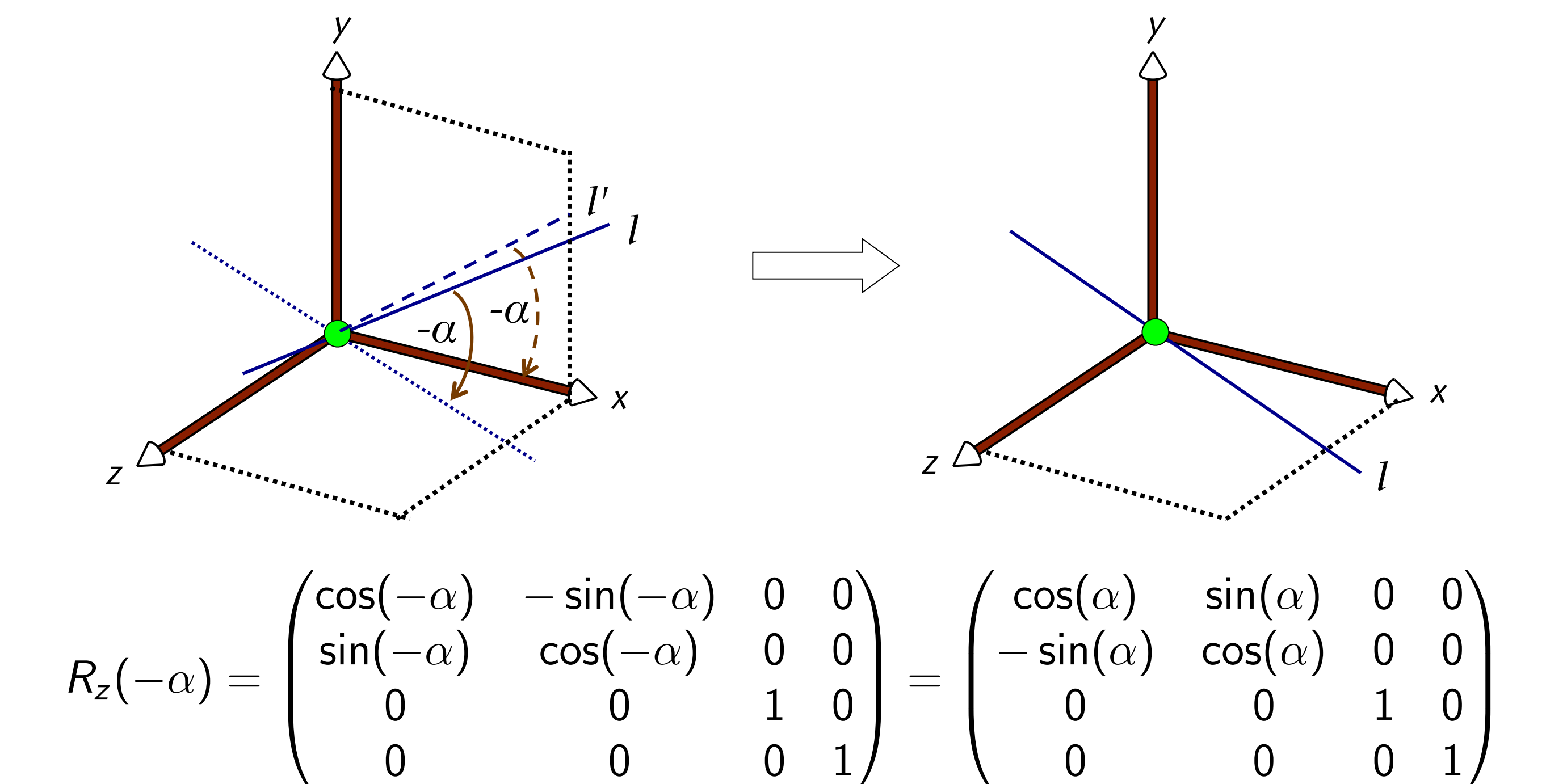






85

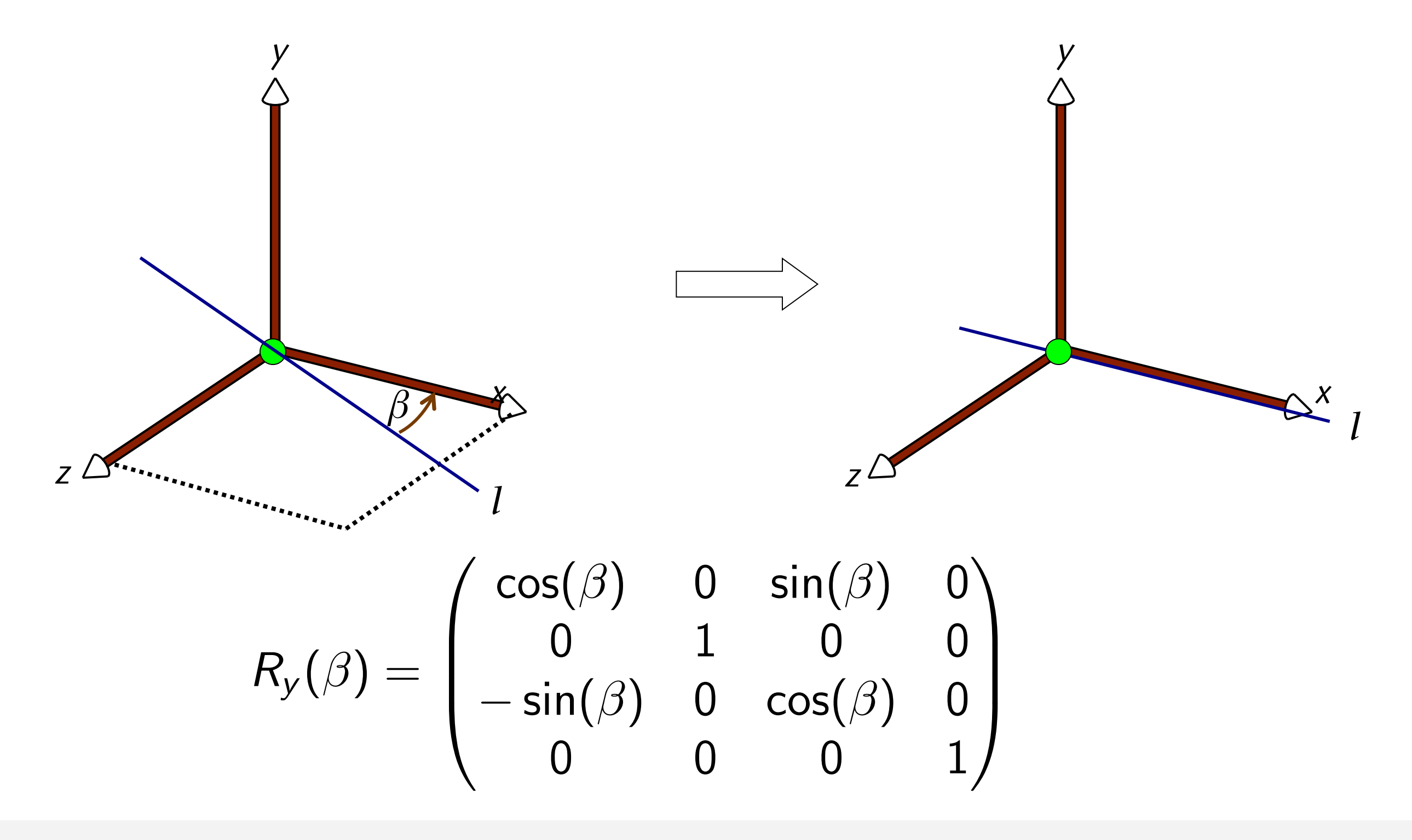
• Rotiere mit $-\alpha$ um die z-Achse, so daß l in der xz-Ebene liegt







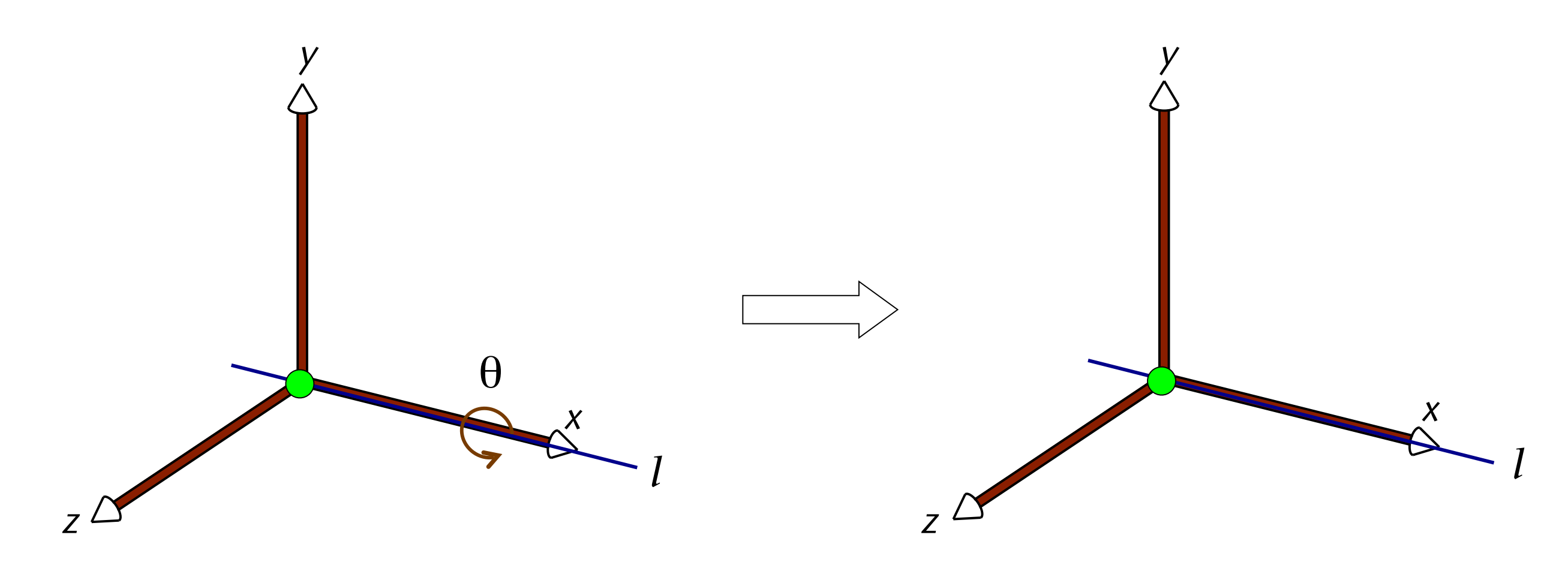
• Rotiere mit β um die y-Achse damit Gerade auf der x-Achse liegt







• Durchführen der gewünschten Rotation (rotiere mit θ um x-Achse)

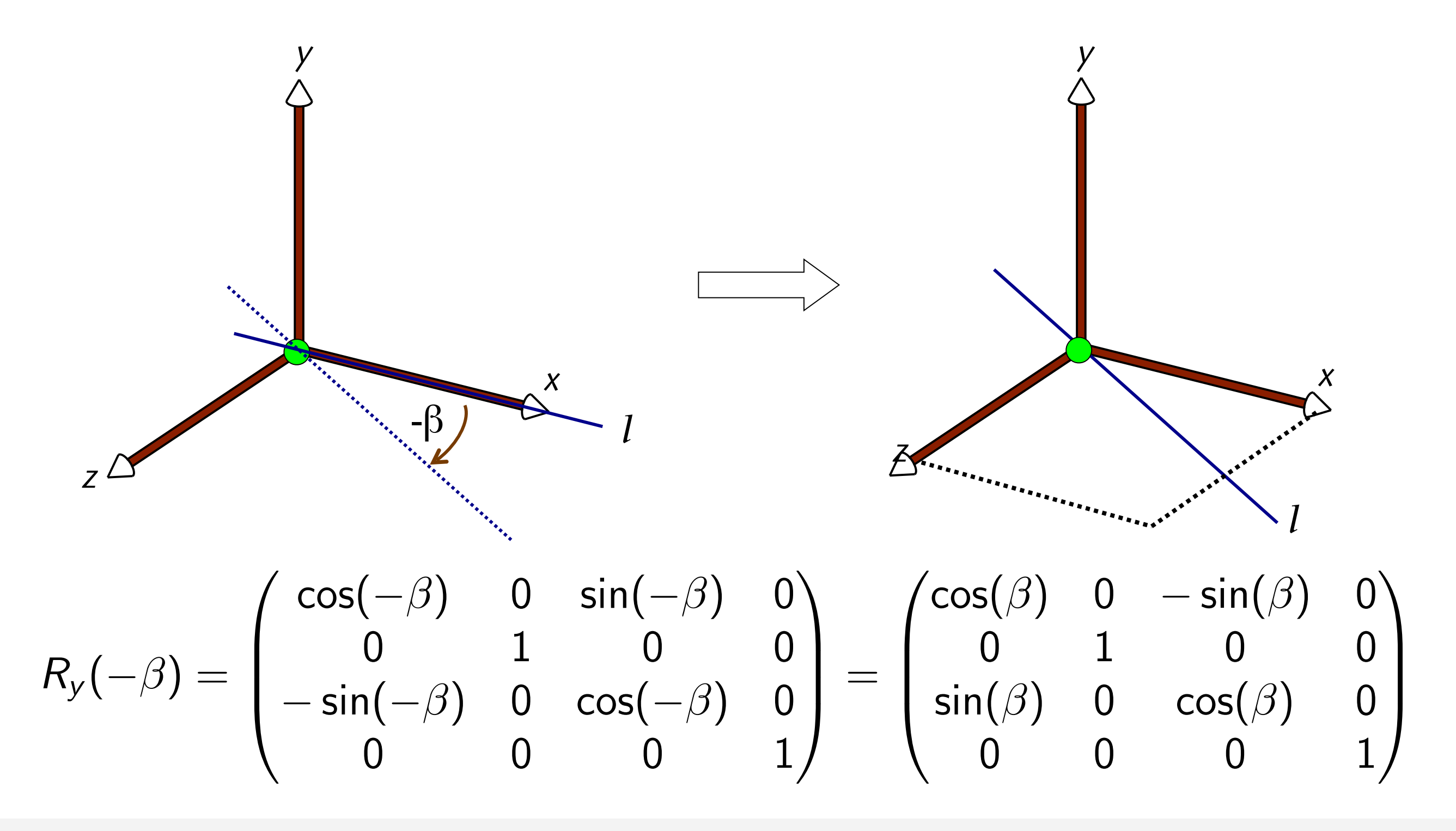


$$R_{x}(\theta) = egin{pmatrix} 1 & 0 & 0 & 0 \ 0 & \cos(heta) & -\sin(heta) & 0 \ 0 & \sin(heta) & \cos(heta) & 0 \ 0 & 0 & 0 & 1 \end{pmatrix}$$





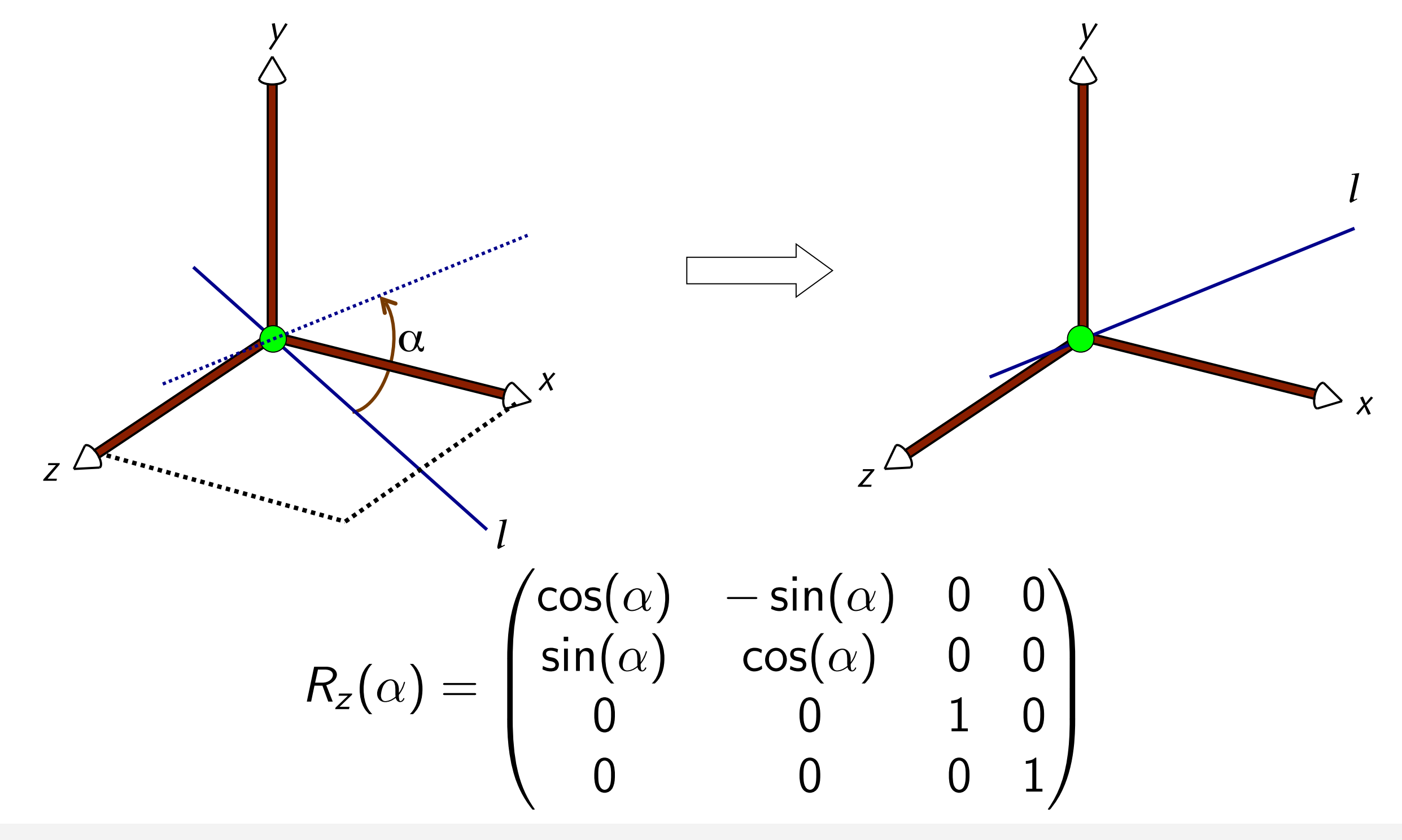
• Invertiere Rotation von l aus Schritt 3: rotiere mit $-\beta$ um die y-Achse







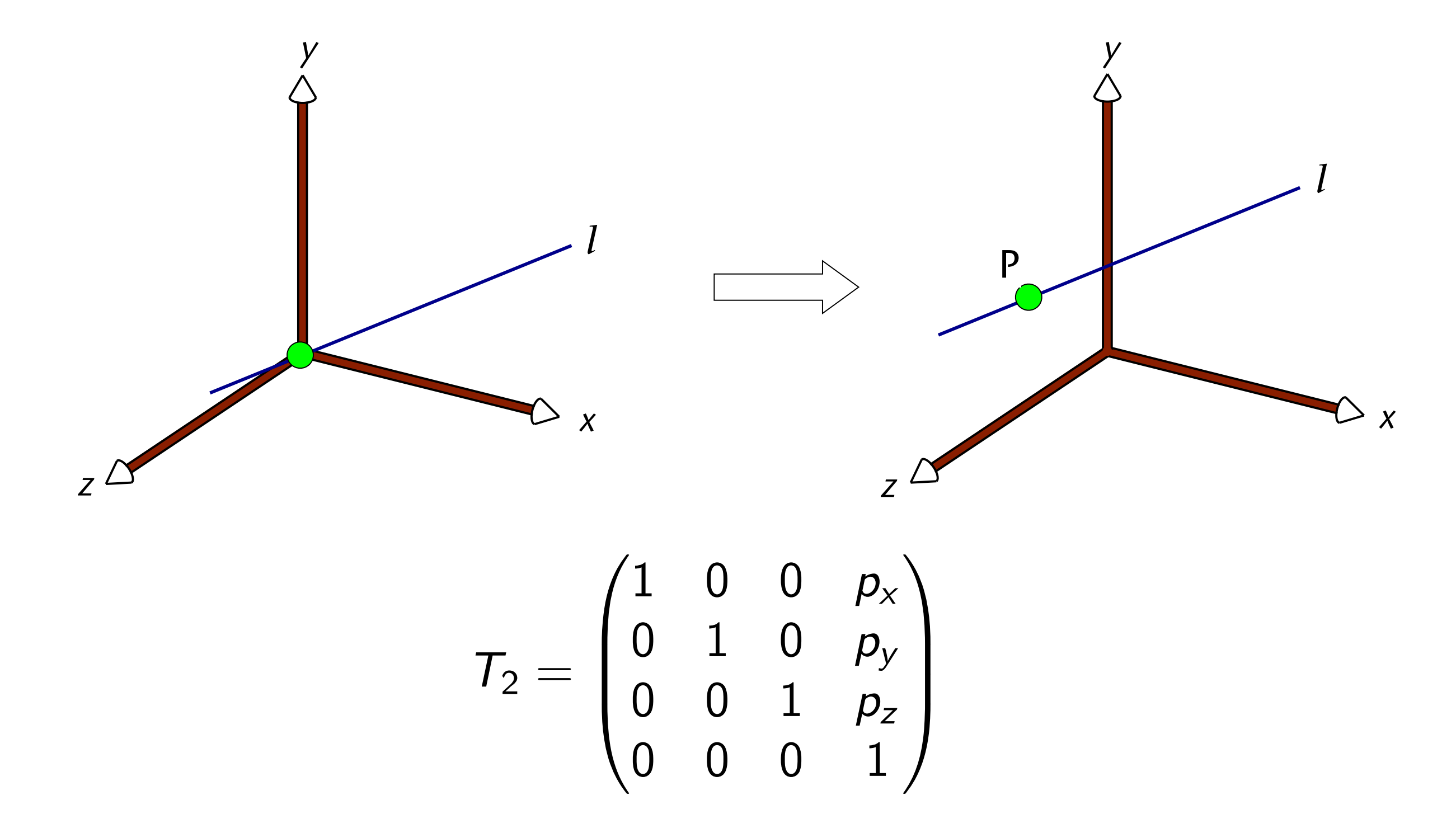
• Invertiere Rotation aus Schritt 2: rotiere mit α um z-Achse







Invertiere die Translation aus Schritt 1





Zusammenfassung



Die vollständige Transformation zum Rotieren um eine beliebige Achse ist:

$$R_{arb} = T_2(p_x, p_y, p_z) R_z(\alpha) R_y(-\beta) R_x(\theta)$$

$$R_y(\beta) R_z(-\alpha) T_1(-p_x, -p_y, -p_z)$$

- (Es gibt auch andere Varianten)
- Hat man diese Matrix, so wendet man diese auf jeden Vertex des Objektes an, was den Effekt der Rotation dieses Objektes um die vorgegebene Achse hat
 - Das überläßt man natürlich OpenGL



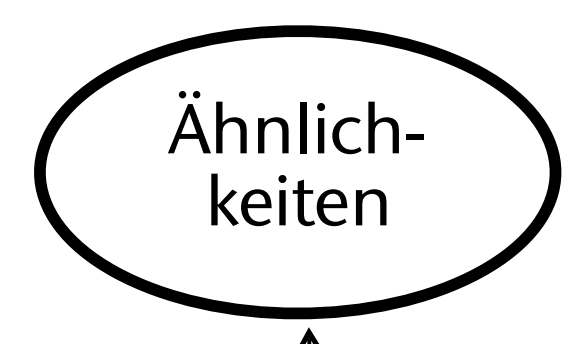
Klassifikation aller Transformationen



92











Erhält Winkel und Verhältnisse von Strecken, kann aber die Länge von Strecken ändern

Translation

Identität

Rotation

Uniforme Skalierung

Skalierung

Spiegelung

Scherung

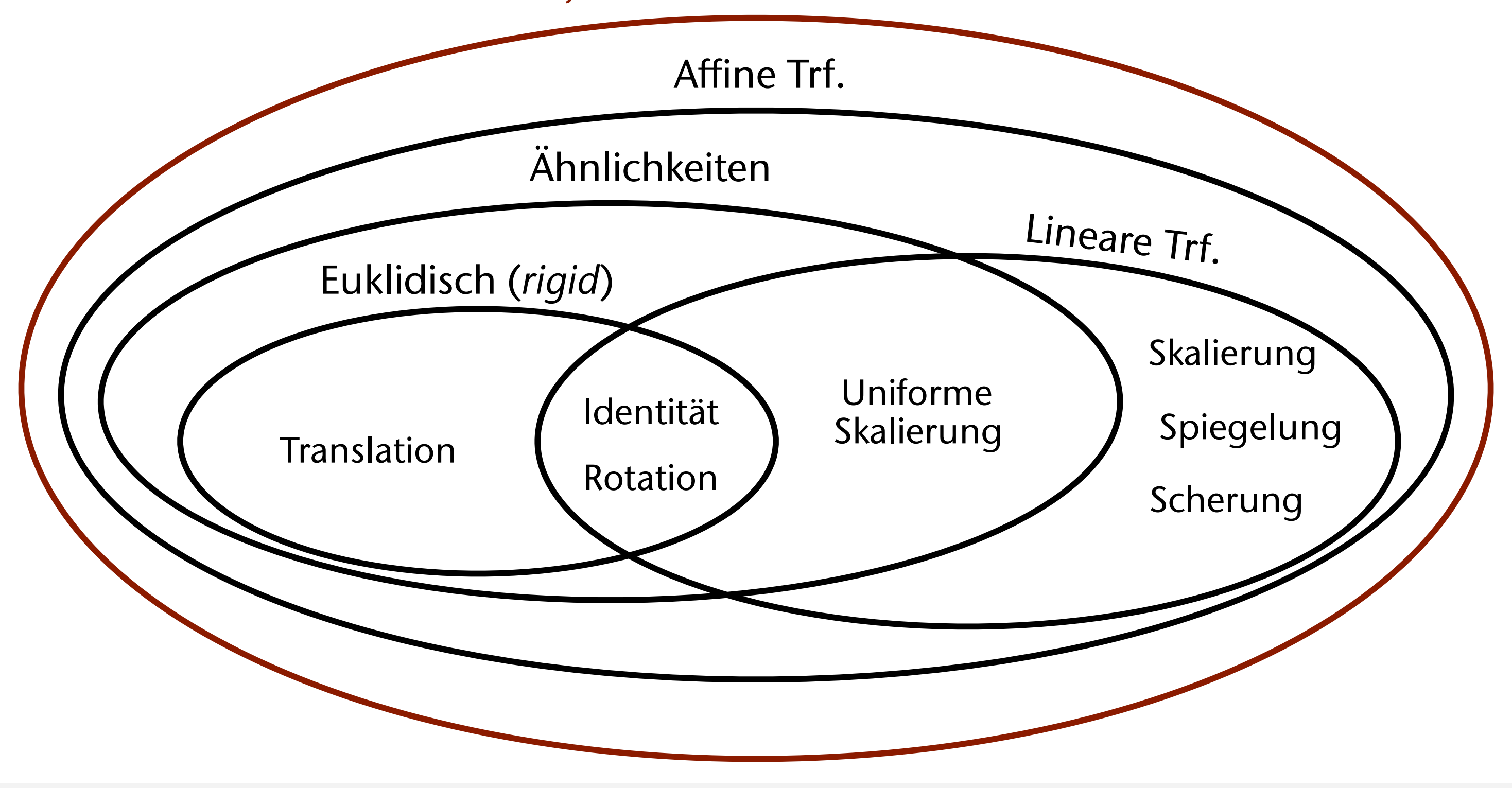


Klassifikation aller Transformationen



93

Projektive Transformationen

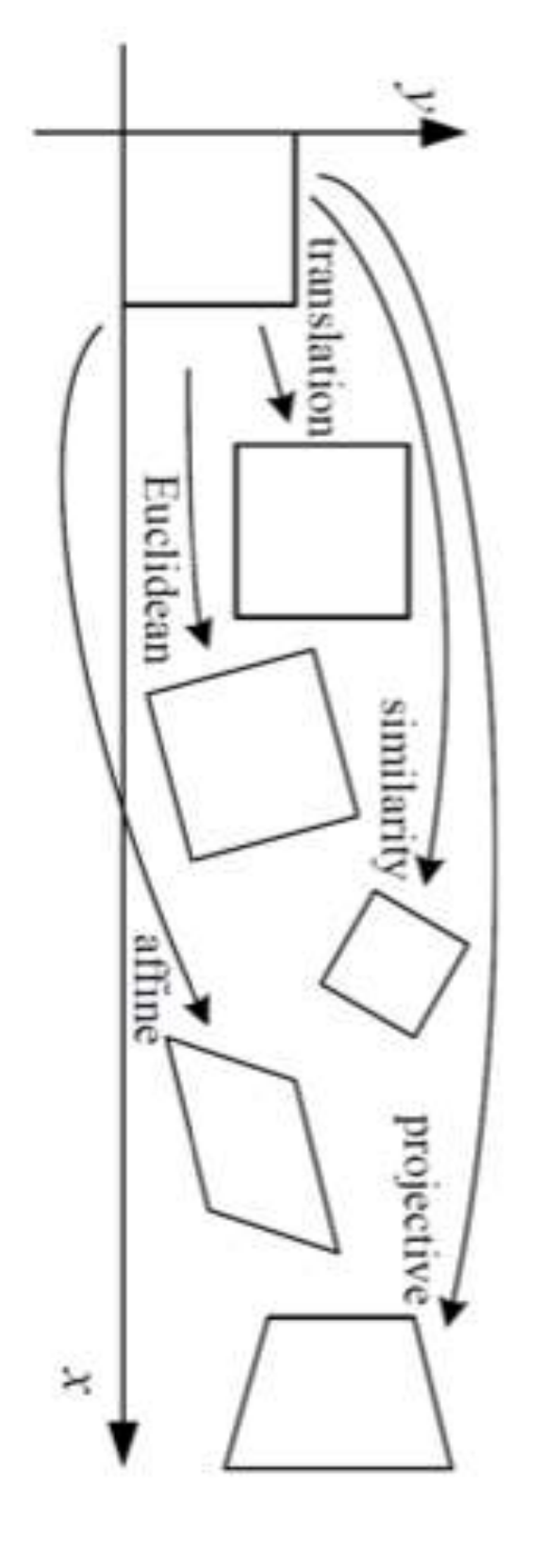




Eine Hierarchie von Transformationen (hier in 2D)



Transformation	Matrix	# DoF	Preserves	Icon
translation	$\begin{bmatrix} I \mid t \end{bmatrix}_{2 \times 3}$	2	orientation	
rigid (Euclidean)	$\left[egin{array}{c c} R & t \end{array} ight]_{2 imes 3}$	3	lengths	\Diamond
similarity	$\begin{bmatrix} sR \mid t \end{bmatrix}_{2 \times 3}$	4	angles	\Diamond
affine	$\left[\begin{array}{c}A\end{array} ight]_{2 imes 3}$	6	parallelism	
projective	$\left[egin{array}{c} ilde{m{H}} \end{array} ight]_{3 imes 3}$	8	straight lines	





Matrizen in OpenGL



- Achtung: Matrizen werden spaltenweise im Speicher abgelegt, nicht wie in C üblich — zeilenweise!
 - Das nennt sich "column-major order" (der Standard, auch in C, ist row-major order)

```
GLfloat matrix[] =

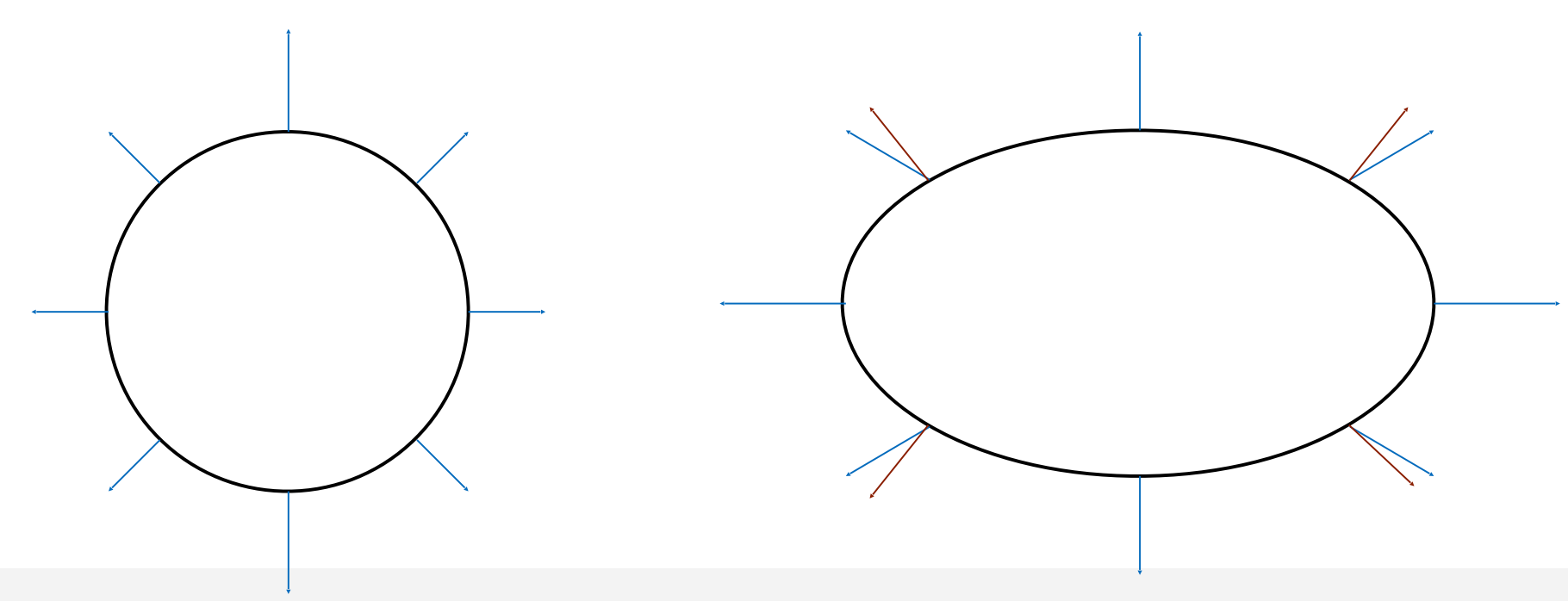
\begin{pmatrix}
1 & 0 & 0 & t_{x} \\
0 & 1 & 0 & t_{y} \\
0 & 0 & 1 & t_{z} \\
0 & 0 & 0 & 1
\end{pmatrix}
\iff
\begin{cases}
1, 0, 0, 0, 0, \\
0, 1, 0, 0, \\
0, 0, 1, 0, \\
tx, ty, tz, 1
\end{cases}
```



Transformation von Normalen



- Behauptung: wenn ein Objekt um M transformiert wird, dann müssen die Normalen der Oberfläche um $N = (M^{T})^{-1}$ transformiert werden
- Bei starren (euklidischen) Transformationen:
 - Translation beeinflusst die Normalen der Oberfläche nicht
 - Im Fall der Rotation ist $M^{-1} = M^{T}$ und somit N = M
- Bei nicht-uniformer Skalierung und Scherung ist $N = (M^T)^{-1} \neq M$!
 - Beispiel:





Beweis

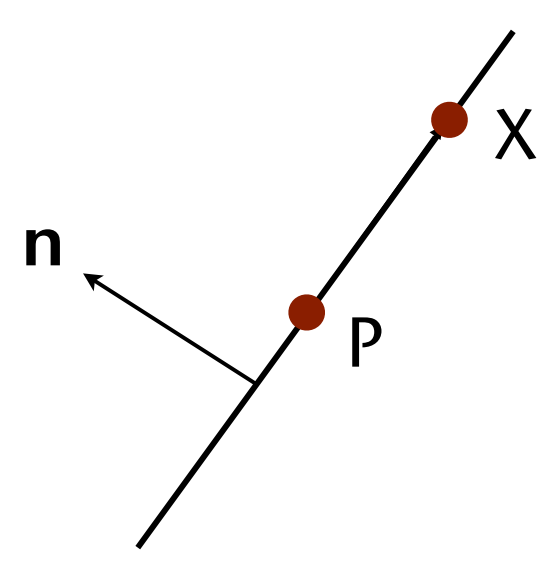


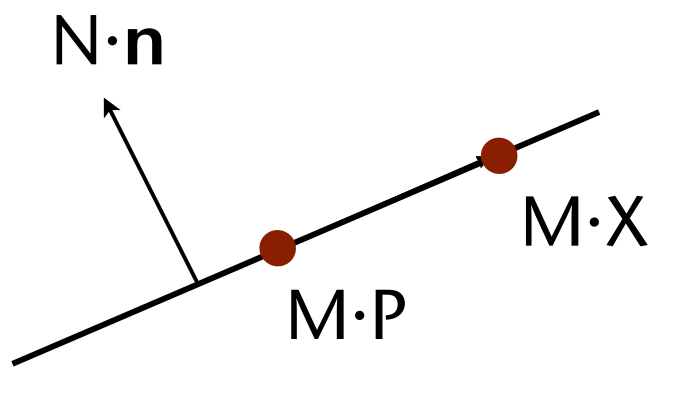
- Wir wissen: $(X P)^T \mathbf{n} = 0$
- Gesucht ist N, so daß:

$$(M \cdot X - M \cdot P)^{\mathsf{T}} \cdot (N \cdot \mathbf{n}) = (X - P)^{\mathsf{T}} \cdot M^{\mathsf{T}} \cdot N \cdot \mathbf{n} = 0$$

- Setze also $N = (M^T)^{-1}$
- Damit ist

$$(X - P)^{\mathsf{T}} \cdot M^{\mathsf{T}} (M^{\mathsf{T}})^{-1} \cdot \mathbf{n} = (X - P)^{\mathsf{T}} \cdot I \cdot \mathbf{n} = 0$$



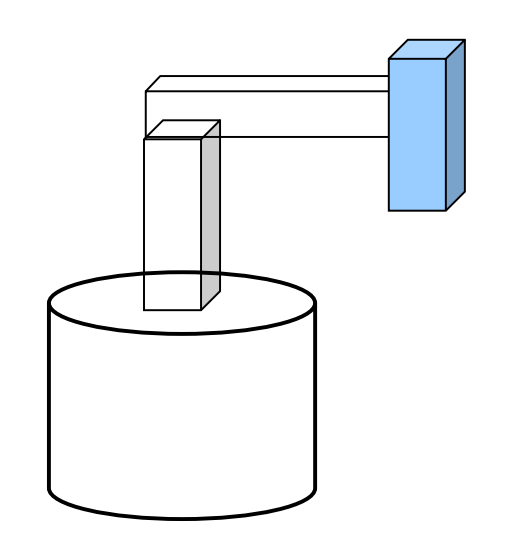


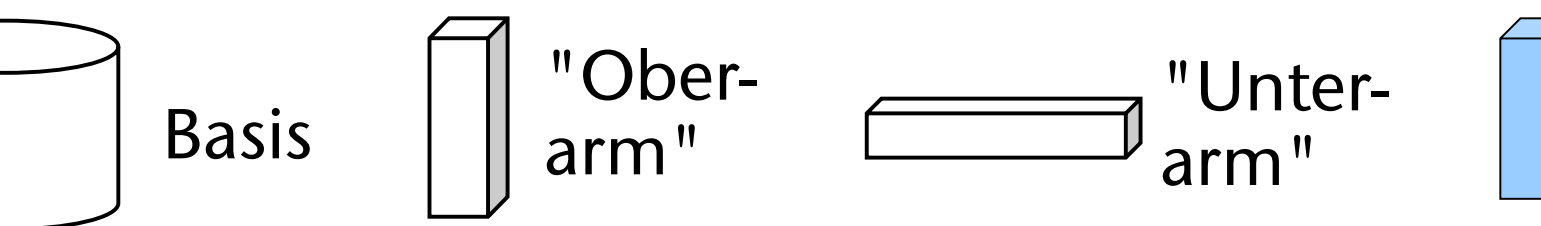


Relative und hierarchische Transformationen

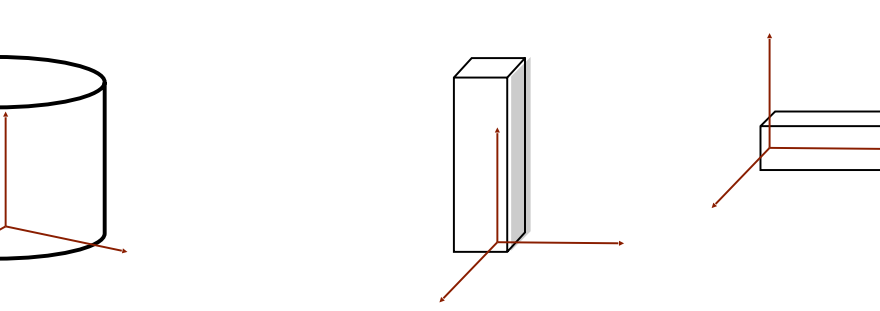


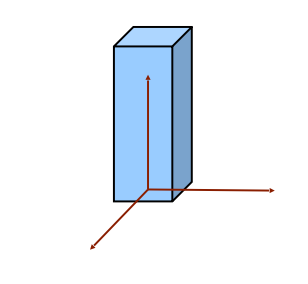
- Eine Konkatenierung von
 Transformationen kann man auch als eine
 Folge von (voneinander abhängigen)
 Koordinatensystemen ansehen
- Beispiel: Roboter
 - Besteht aus diesen Einzelteilen
 - Jedes Teil wurde in seinem eigenen Koordinatensystem spezifiziert (als Array von Punkten) → heißt Objektkoordinatensystem
 - Rendert man alle Teile ohne jede
 Transformation, entsteht folgendes:

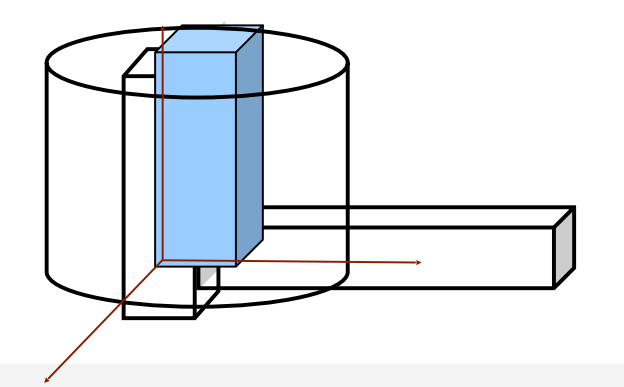








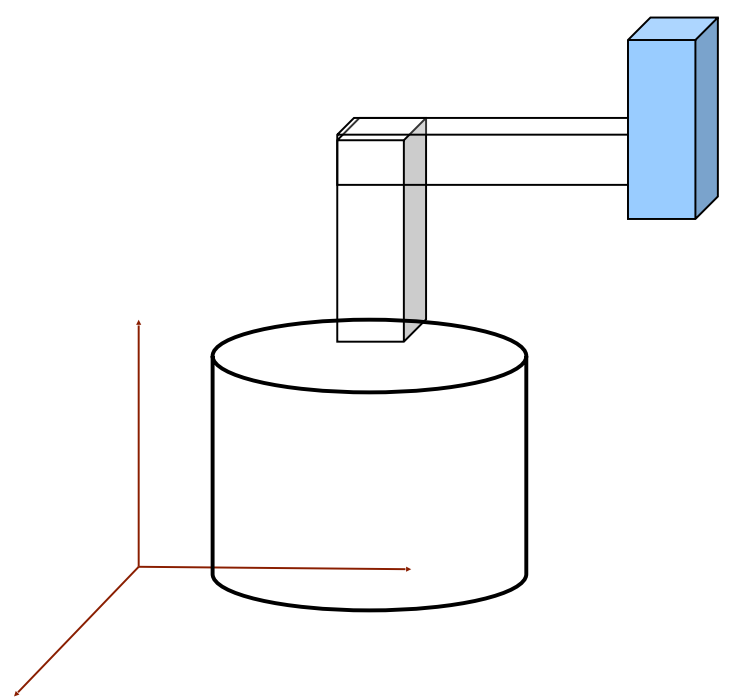








 Würde man jedes Teil, ausgehend vom Ursprung des Weltkoordinatensystems, einzeln an seinen Platz transformieren, sähe das ungefähr so aus:





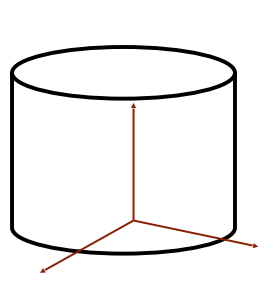


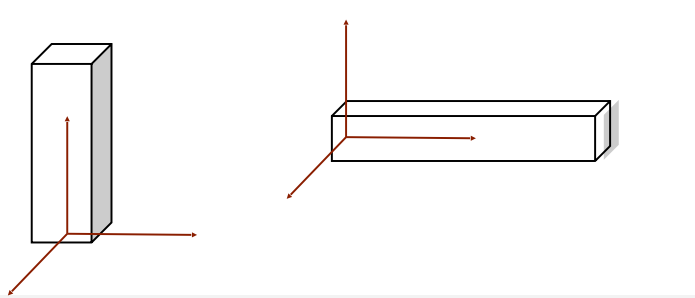
• Natürlich macht man es ungefähr so:

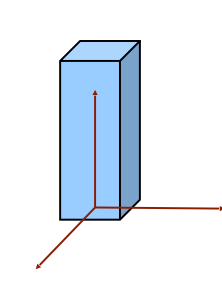
```
clearAllTransforms
translate( robot_pos_x, robot_pos_y , ... ) <</pre>
render base ...
translate( 0, HEIGHT BASE, 0 )
rotate( alpha, 0, 1, 0 );
render upper arm ...
translate( 0, LEN UPPER ARM, 0 )
rotate( beta, 1, 0, 0 );
render lower arm ...
translate( LEN_LOWER_ARM, 0, 0 )
render hand ...
```

Hypothetische Funktionen, die eine Transformation RELATIV zur bis dahin gültigen Transformation setzen

Solche Parameter würde man natürlich in einer Klasse 'Roboter' als Instanzvariablen speichern



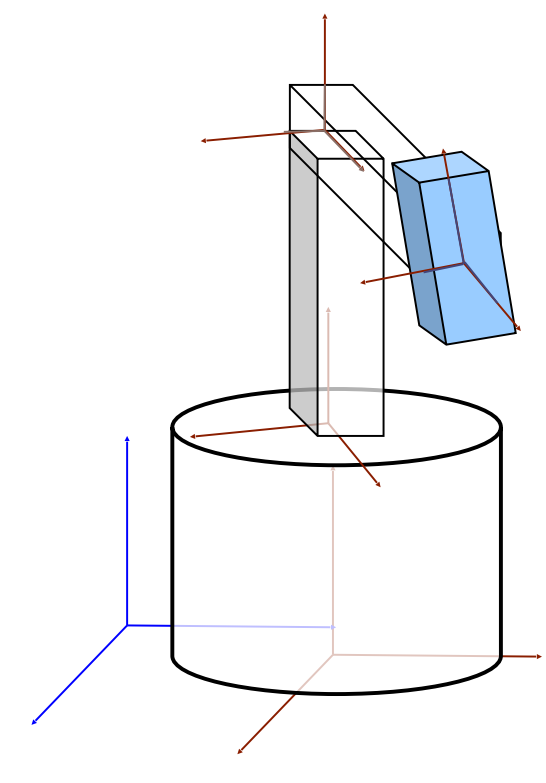








 Alternative Betrachtungsweise: bei jeder Transformation entsteht ein neues lokales Koordinatensystem, das bezüglich seines Vater-Koordinatensystems um genau diese Transf. transformiert ist



In dieser Reihenfolge entstehen die lokalen Koordinatensysteme aus dem Weltkoordinatensystem

```
clearAllTransforms
translate( robot_pos_x, robot_pos_y , ... )
render base ...
translate( 0, HEIGHT_BASE, 0 )
rotate( alpha, 0, 1, 0 );
render upper arm ...
translate( 0, HEIGHT UPPER ARM, 0 )
rotate(beta, 1, 0, 0)
render lower arm ...
translate ( X SIZE LOWER ARM, 0, 0 )
render hand ...
```

In dieser Reihenfolge werden die Transformationen auf die Geometrie (d.h., die Vertices) angewendet





Mathematische Realisierung: Konkatenation der einzelnen (= relativen)
 Transformationsmatrizen

Reihenfolge der Transformations-Befehle im Programmablauf

Vertex in Welt-Koordinaten ("hinteres" Ende der Pipeline)

$$p' = M_n \cdot ... \cdot M_2 \cdot M_1 \cdot p$$
Reihenfolge der Ausführung

Vertex in Modell-Koordinaten (vorderes Ende der Pipeline)

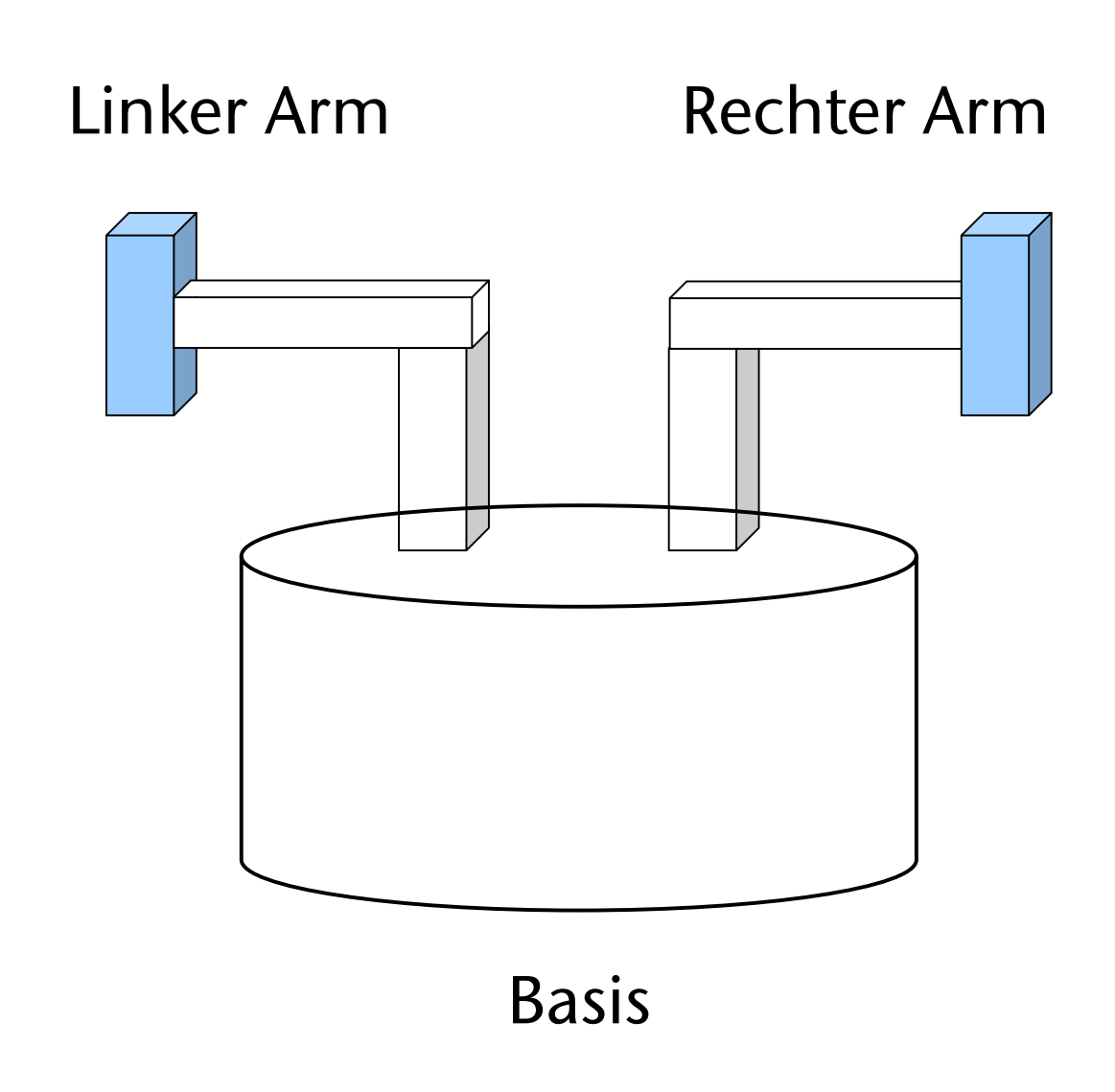
• Bemerkung: da Vertices von rechts an die Matrix (Matrizen) multipliziert werden, $muss\ M_n$ die zuerst im Programmablauf gesetzte Transformation sein

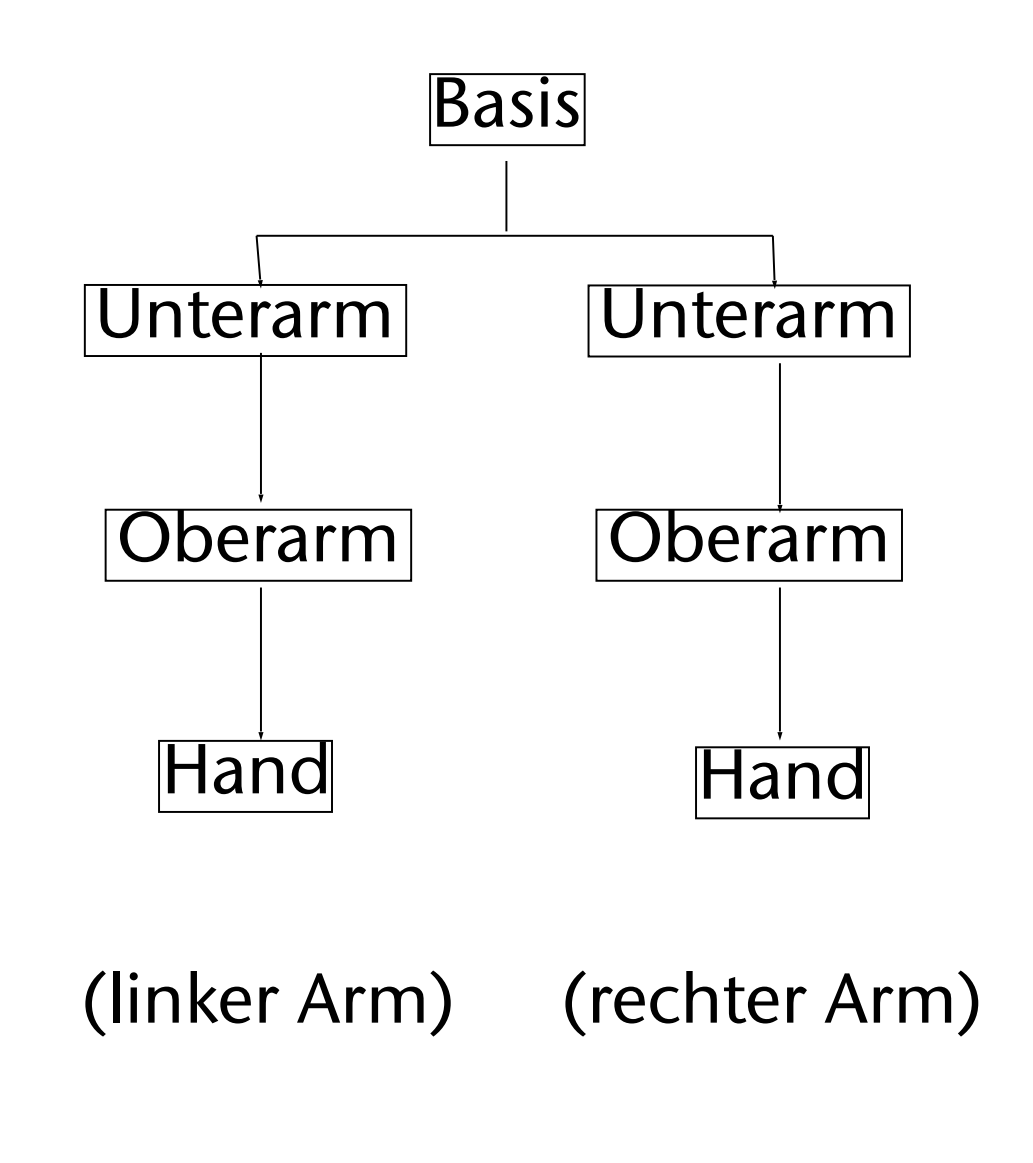
- Definition:
 - Model-to-World-Matrix = $M_n \cdot ... \cdot M_2 \cdot M_1$ = Konkatenation aller aktuell gültigen, relativen Transf.en





• Ein etwas komplizierteres Beispiel:

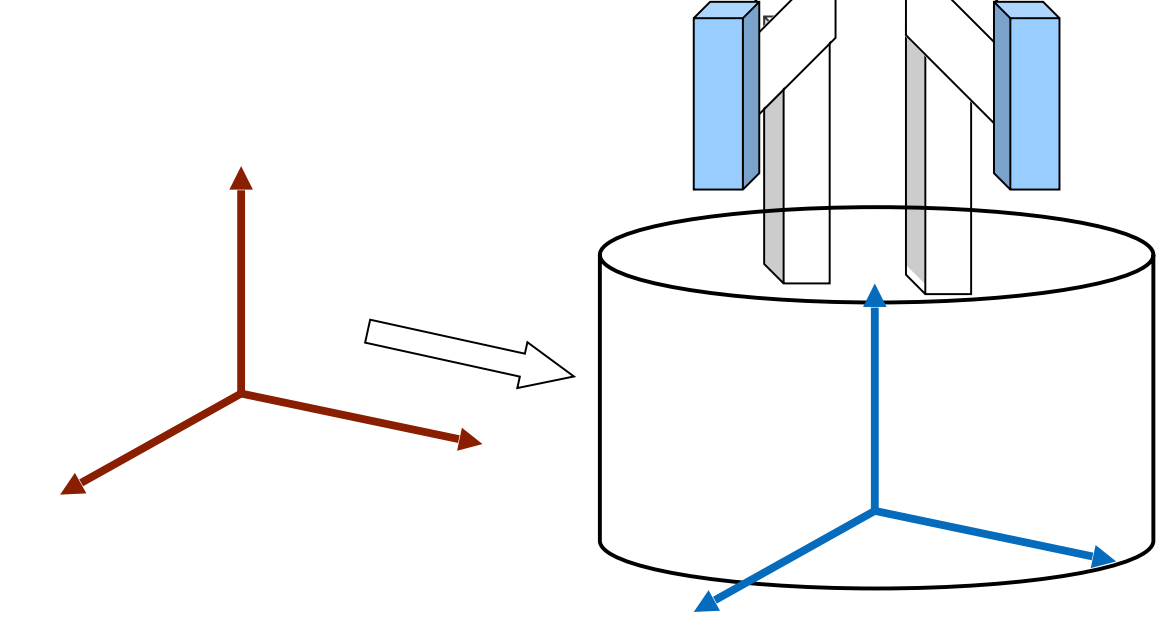


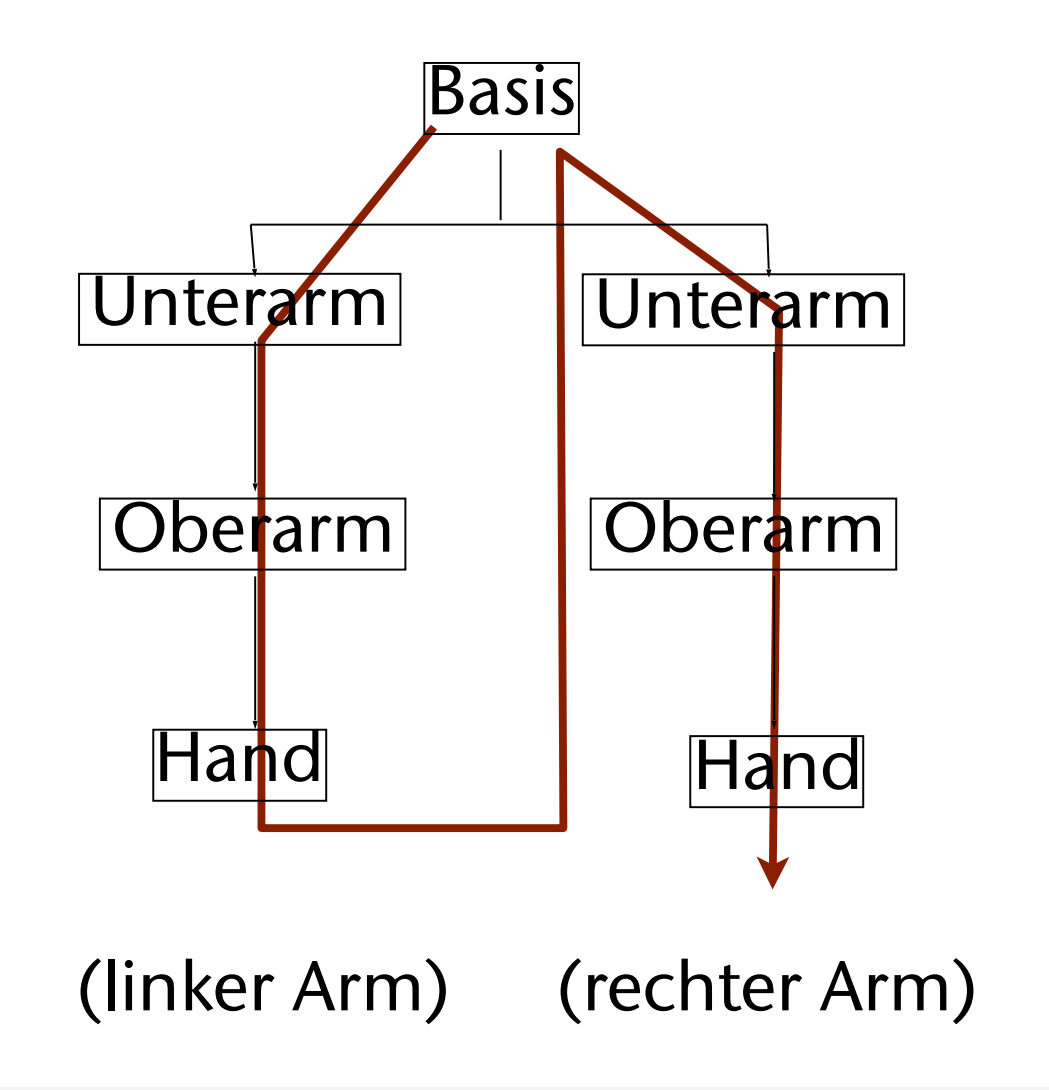


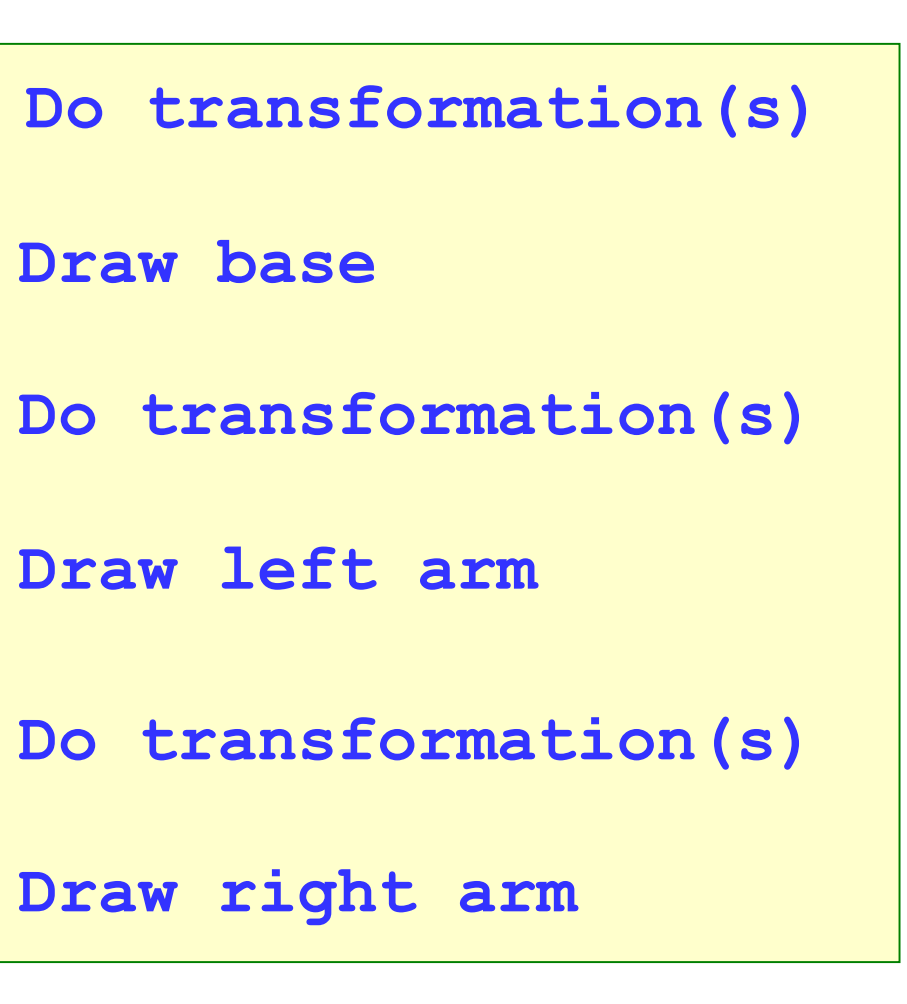




- Aufgabe: folgende Konfiguration darstellen
- Natürliche Vorgehensweise ist Depth-First-Traversal durch den Szenengraph









Lösung: ein Matrix-Stack



```
Init ModelToWorld M = M_0 = I

Translate(5, 0, 0) \rightarrow M := M_0 \cdot T

Draw base

Rotate(75, 0, 1, 0) \rightarrow M := M_0 \cdot T \cdot R(a)

Draw left arm

Rotate(-75, 0, 1, 0)

Draw right arm
```

Speichere die aktuelle Model-to-World Matrix an dieser Stelle in einem Zwischenspeicher

Restauriere diese gemerkte Model-To-World an dieser Stelle aus dem Zwischenspeicher → M

Lösung: ein Matrix-Stack

Init ModelToWorld $M = M_0 = I$ Translate(5, 0, 0) $\rightarrow M := M \cdot T$ Draw base

Rotate(75, 0, 1, 0)

Draw left arm

Rotate(-75, 0, 1, 0)

Draw right arm

An dieser Stelle die aktuelle Model-to-World auf den Stack pushen Z.B.: matrixStack.push(M);

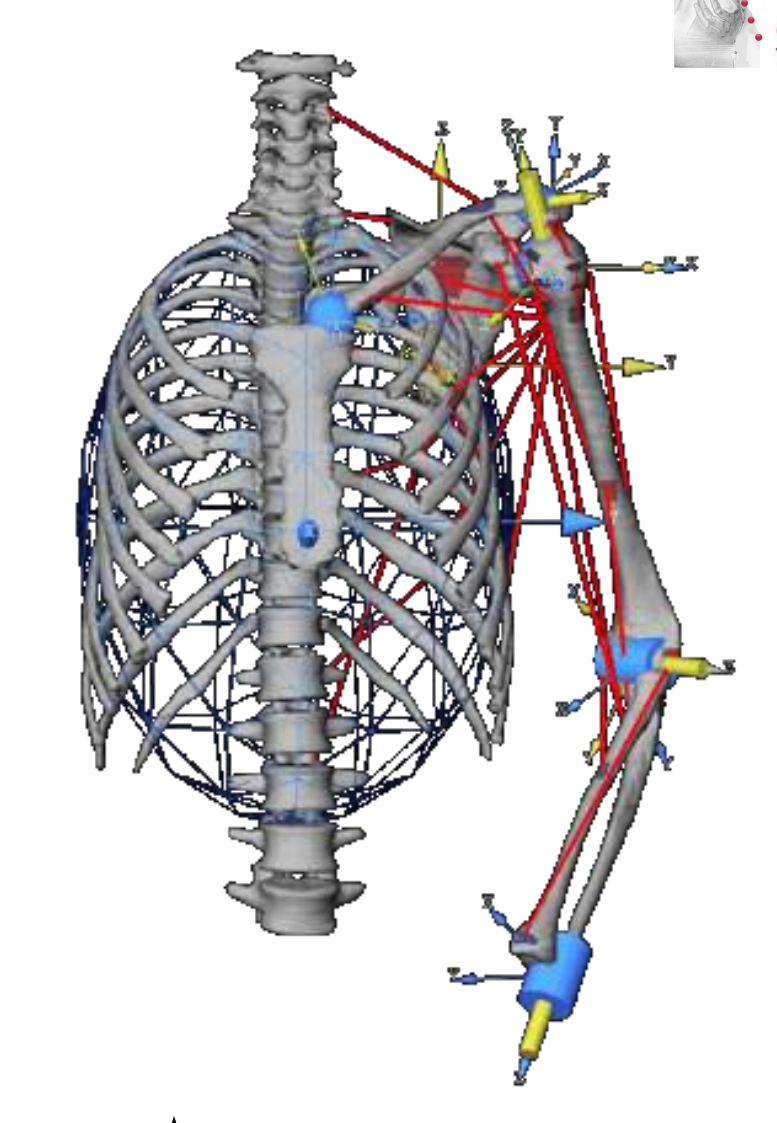
An dieser Stelle die oberste Matrix vom Stack pop-en und in die Model-to-World schreiben Z.B.: M = matrixStack.pop();

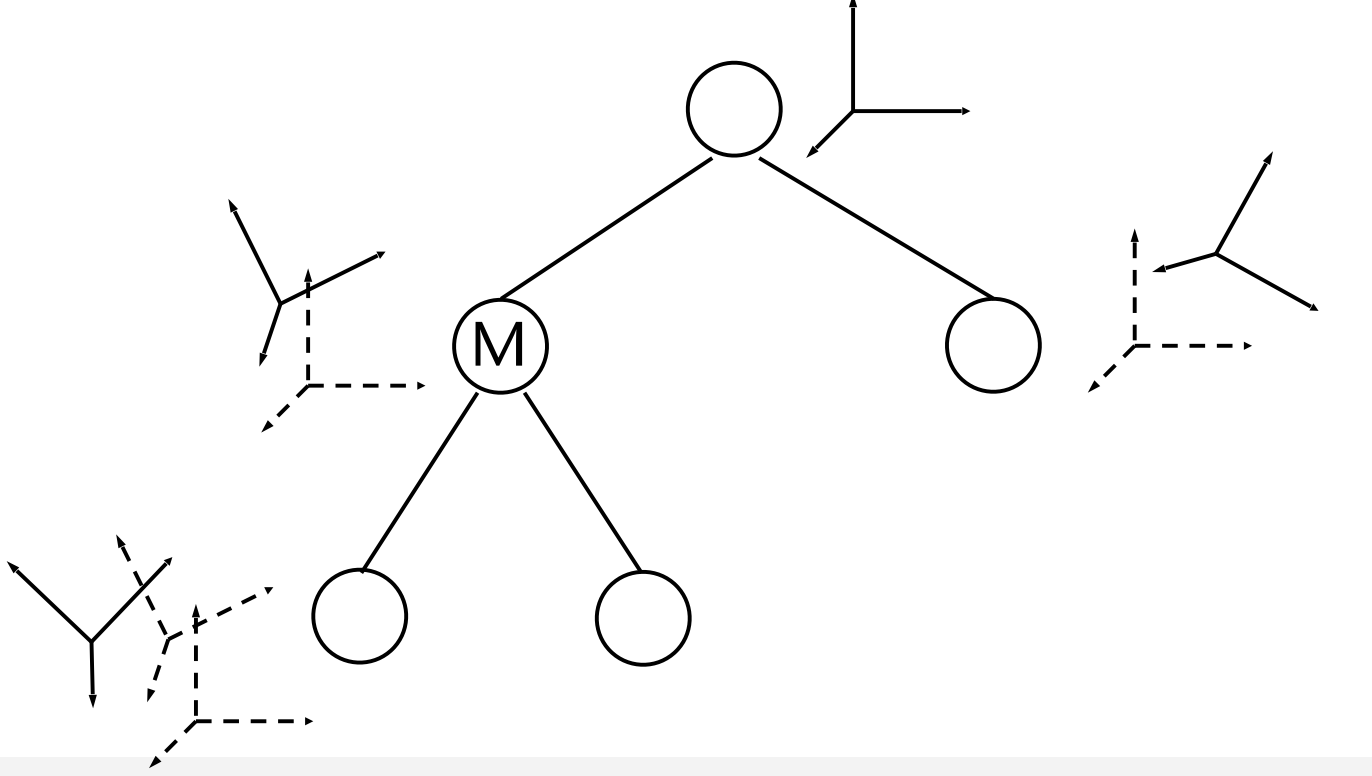


Der Szenengraph

- Durch die relativen Transformationen ergibt sich eine Abhängigkeit der Objekte
- Der so definierte Baum heißt Szenengraph
- Knoten =
 - Transformationsknoten (speichern relative Traf.)
 - Geometrieknoten (i.A. Blätter)
- Aktion am Traf.-Knoten während Scenegraph-Traversal:

```
pushMatrix()
multMatrix( M )
  traverse sub-tree
popMatrix()
```

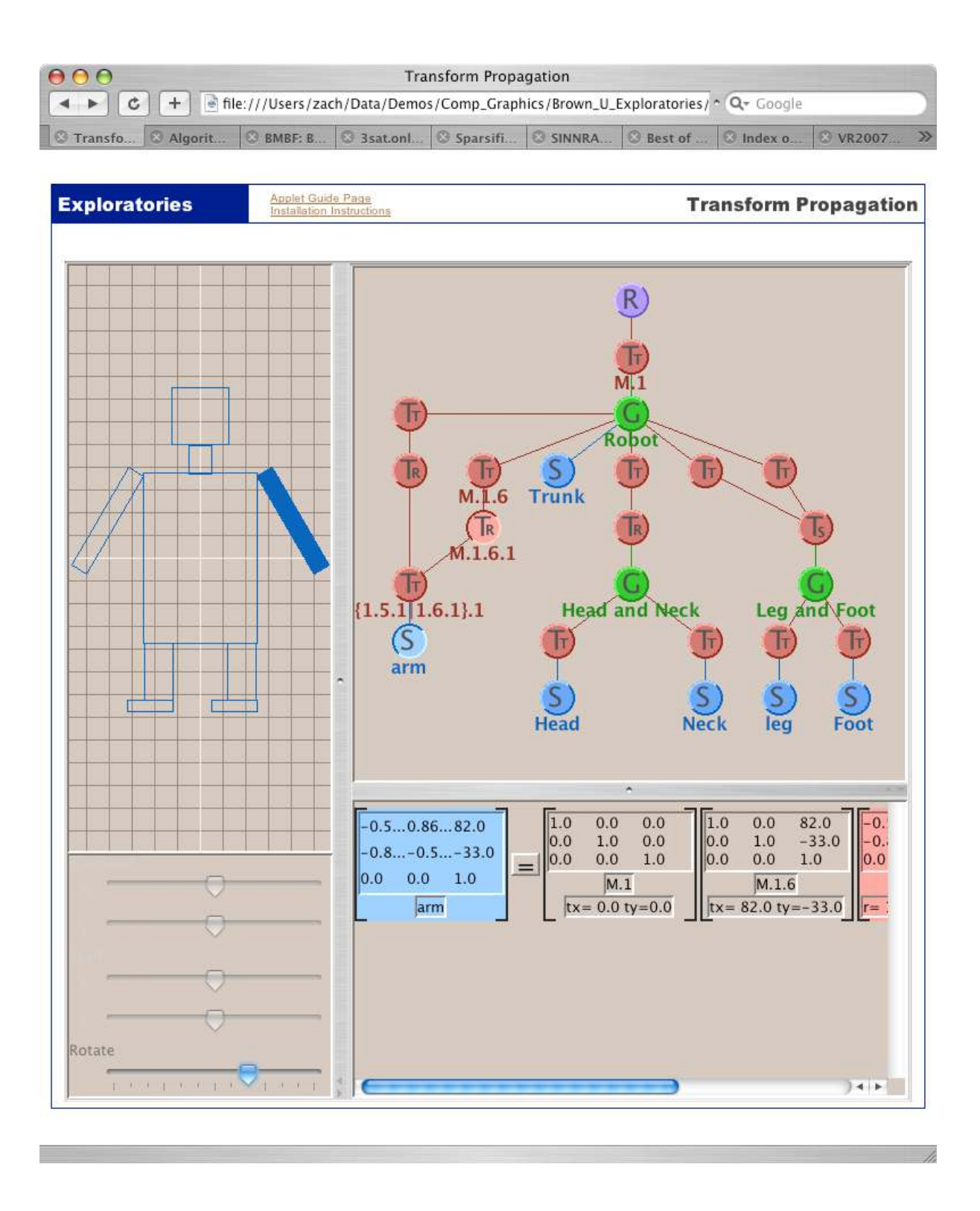






Demo zum Szenengraph





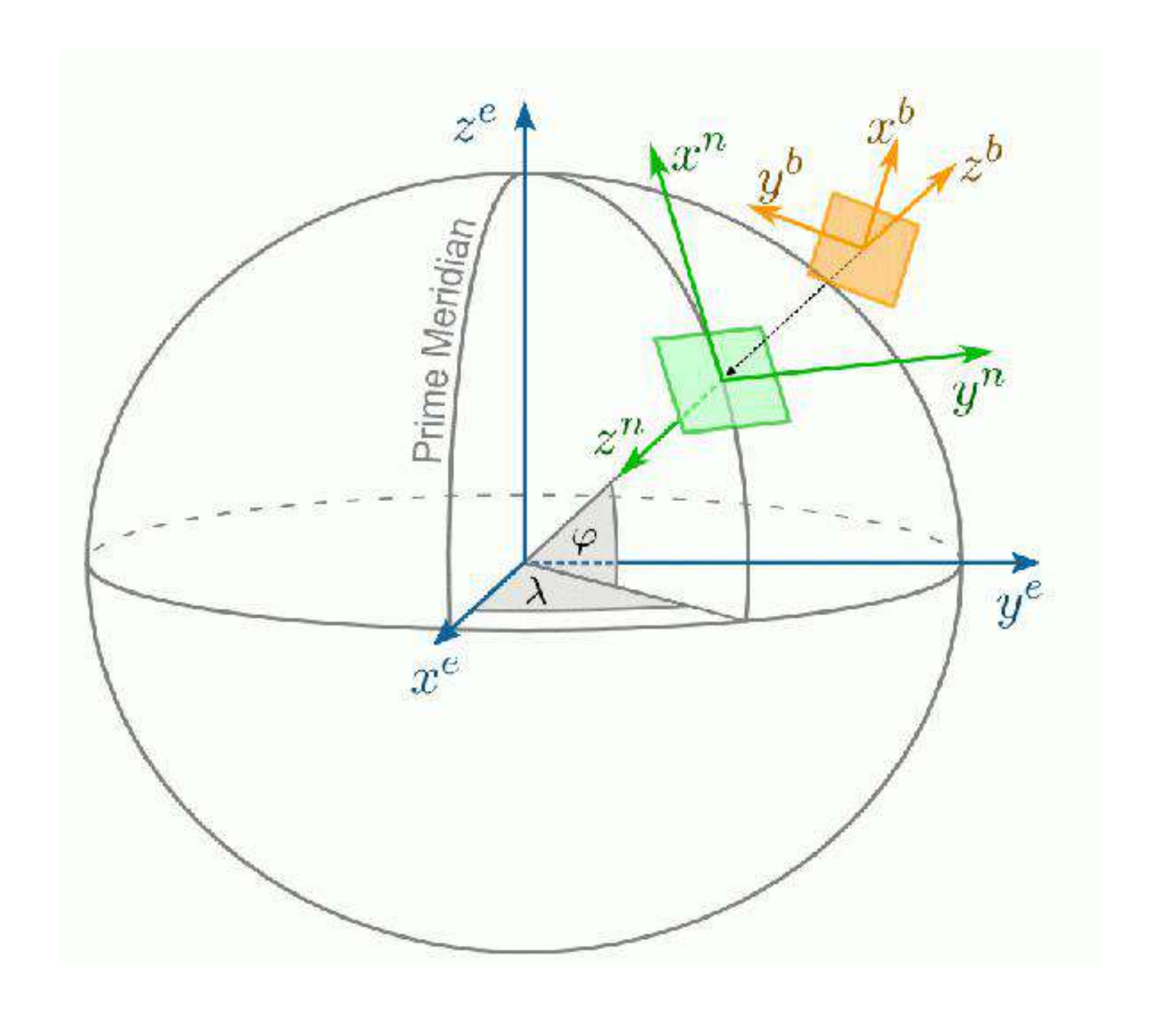
 $\underline{\text{http://graphics.cs.brown.edu/research/exploratory/freeSoftware}} \ \ \rightarrow \ \text{Complete Catalog} \ \ \rightarrow \ \text{Transformation Propagation}$

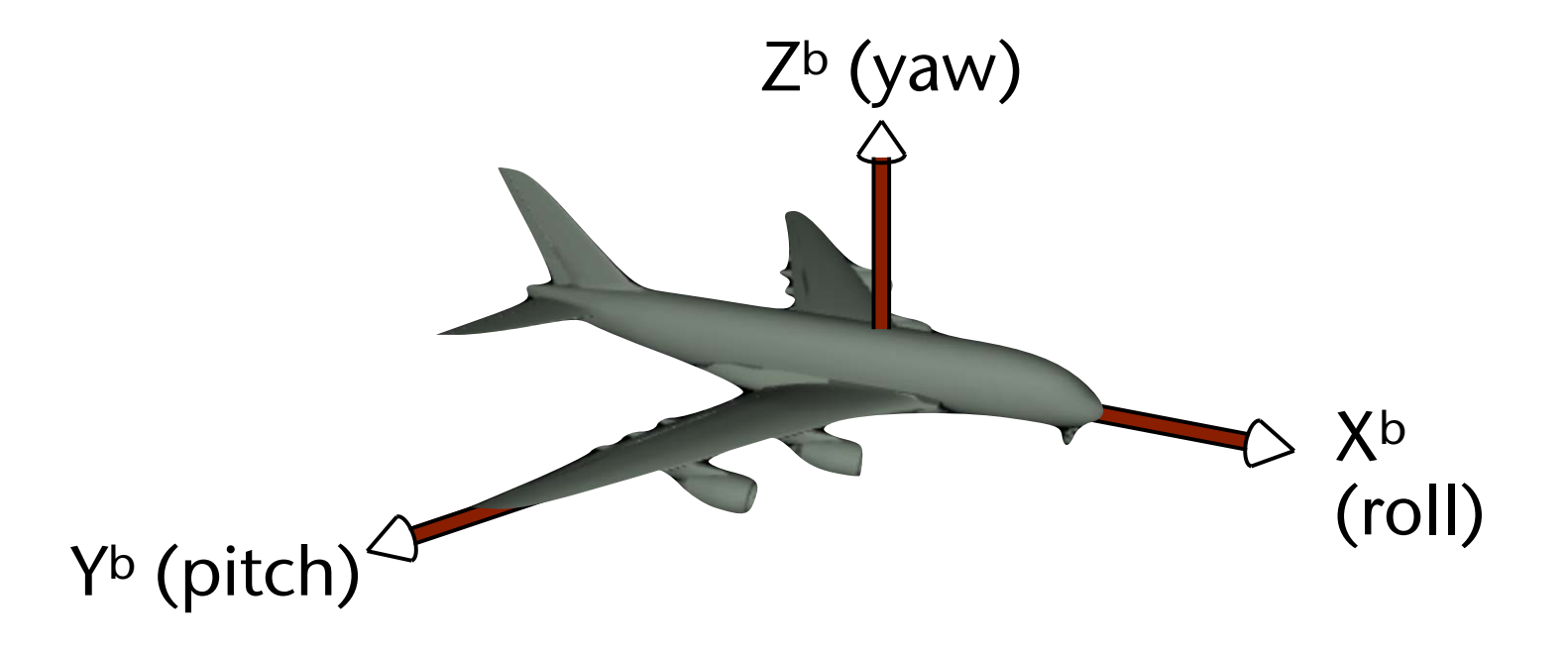


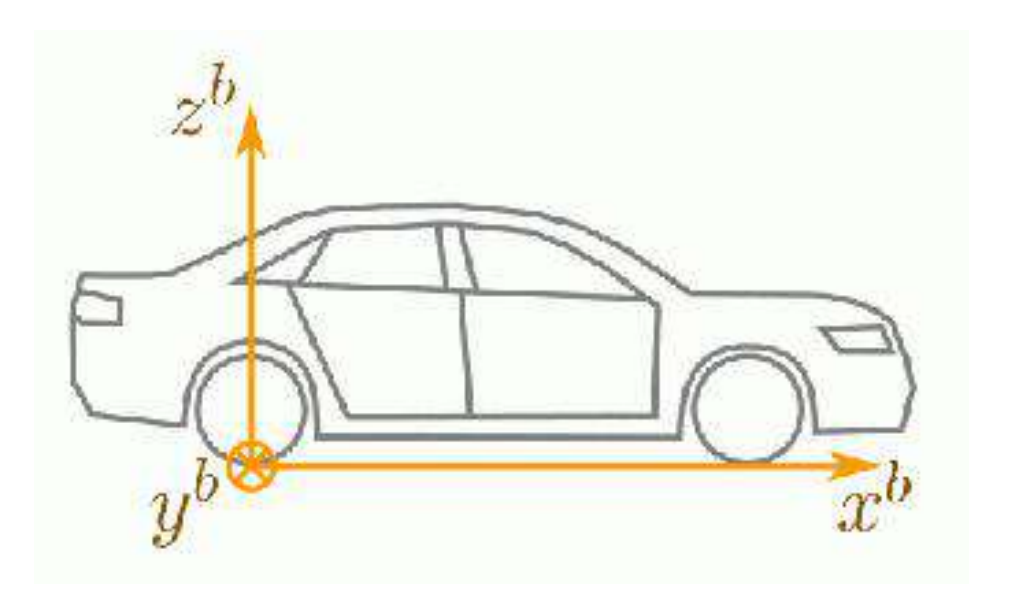
Exkurs: Koordinatensysteme in der Luftfahrt/Raumfahrt



Body Frame, Navigation Frame, Earth-Fixed Frame





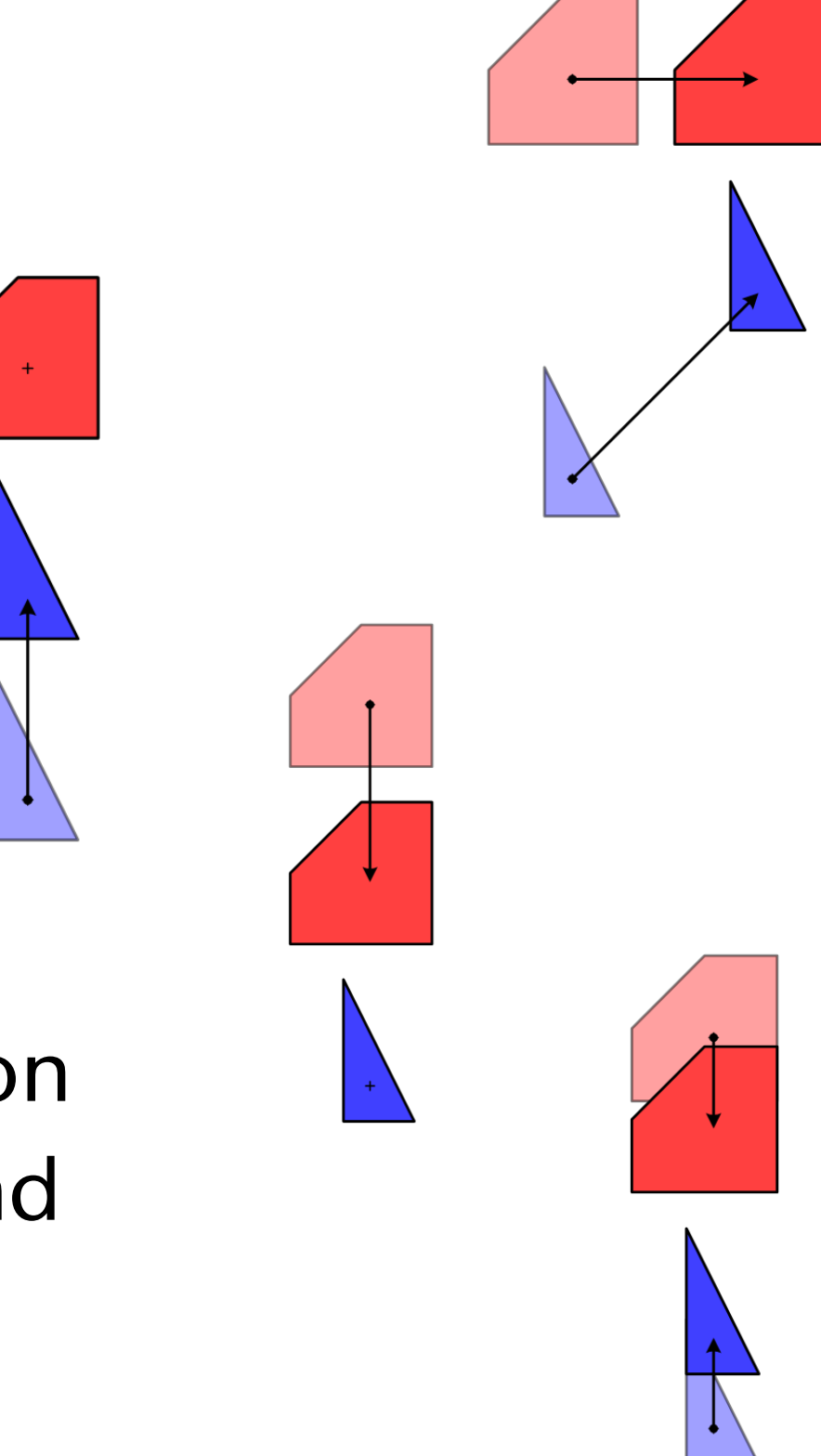




Relative Bewegung



- Betrachte Objekte A und B, die sich bzgl. des Weltkoordinatensystems bewegen
- Betrachte die Bewegung von A's Koordinatensystem (reference frame) aus
- Und von B's Koordinatensystem aus
- Vom Intertialsystem aus (Schwerpunkt zwischen beiden)
- Fazit: man kann zu jedem Zeitpunkt eine Transformation M finden, so dass M(A) immer im Ursprung bleibt – und M(B) sich relativ dazu bewegt.







• Eine Anwendung:

It is always possible to reduce a collision check between two moving objects to a collision check between a moving object and a stationary object (by reframing)



Hand-Eye Calibration

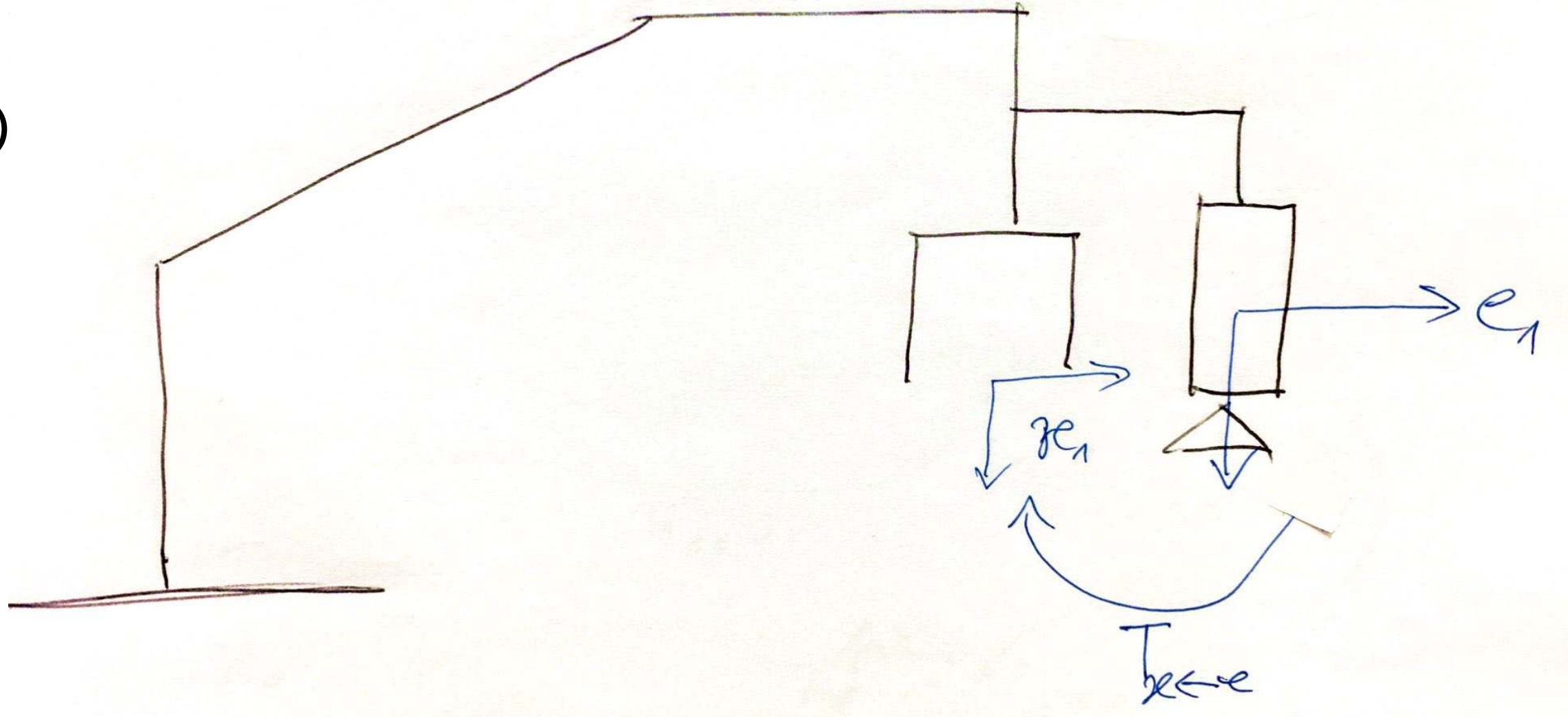
Optional



111

• A.k.a.: Sensor-manipulator calibration, Tracker-HMD-calibration, extrinsische Kamerakalibrierung, ...

Gegeben:
 Roboter mit Kamera ("eye")
 und Endeffektor ("hand")



• Gesucht: $T_{\mathcal{H}\leftarrow\mathcal{C}}$

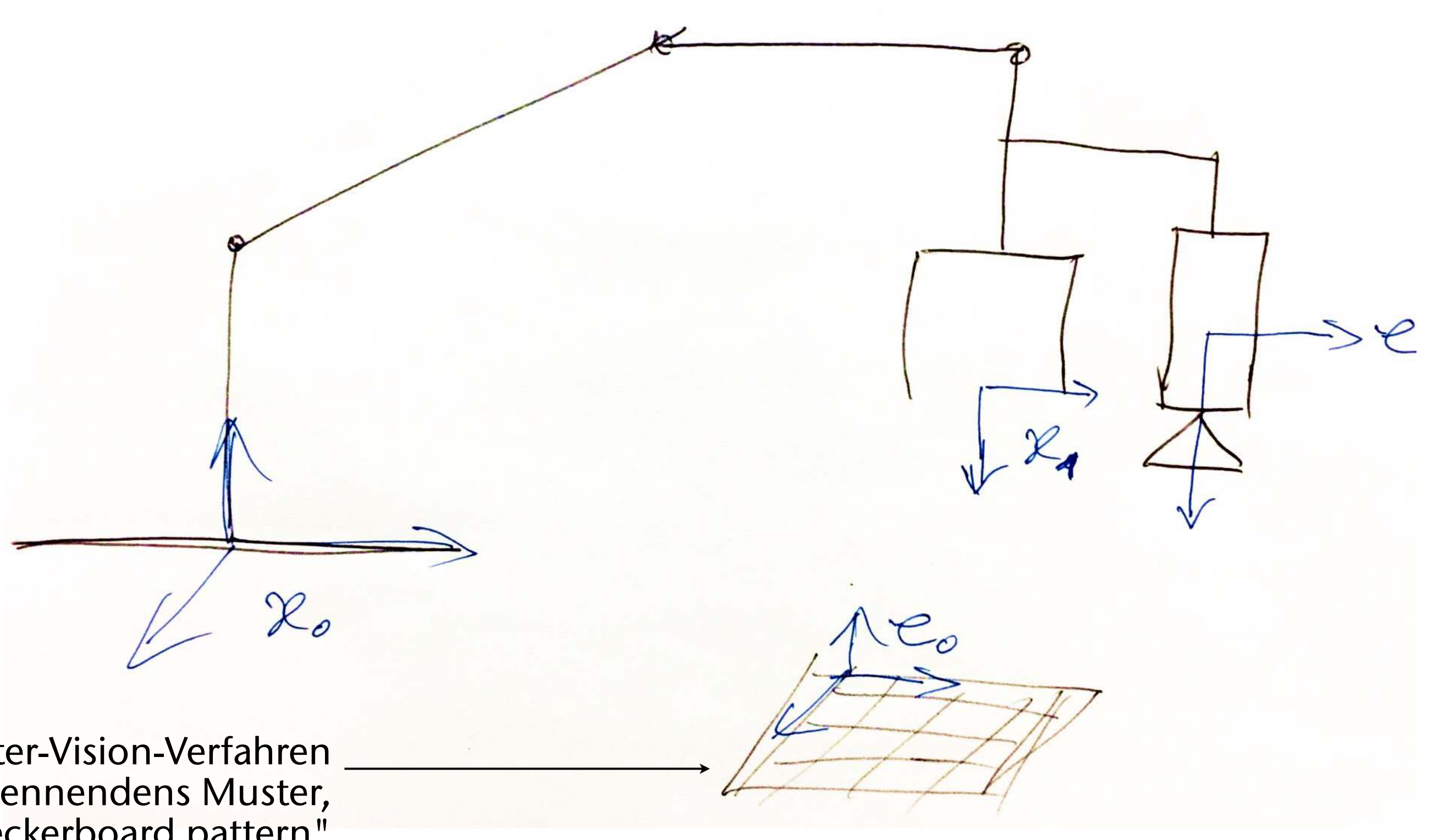
• Problem: auch C₁ kann man (oft) nicht bestimmen (relativ zu H? relativ zur Roboter-Basis?)



Ansatz



Führe (zunächst)weitereKoordinaten-systeme ein



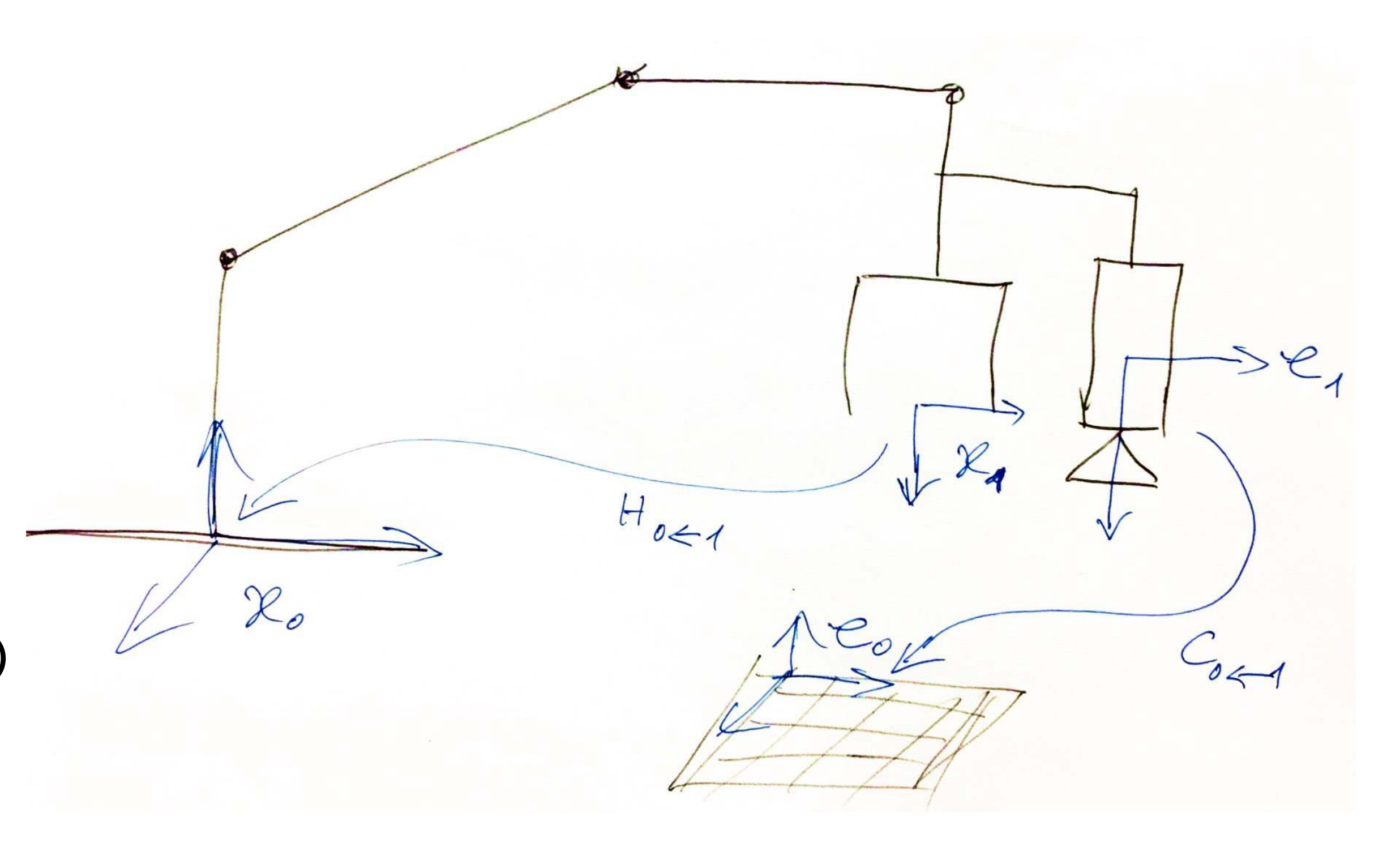
Ein per Computer-Vision-Verfahren "einfach" zu erkennendens Muster, typischerweise ein "checkerboard pattern"





• Bestimme mittels sog. "Vorwärts-Kinematik" $H_{0\leftarrow 1}$ (leicht und präzise)

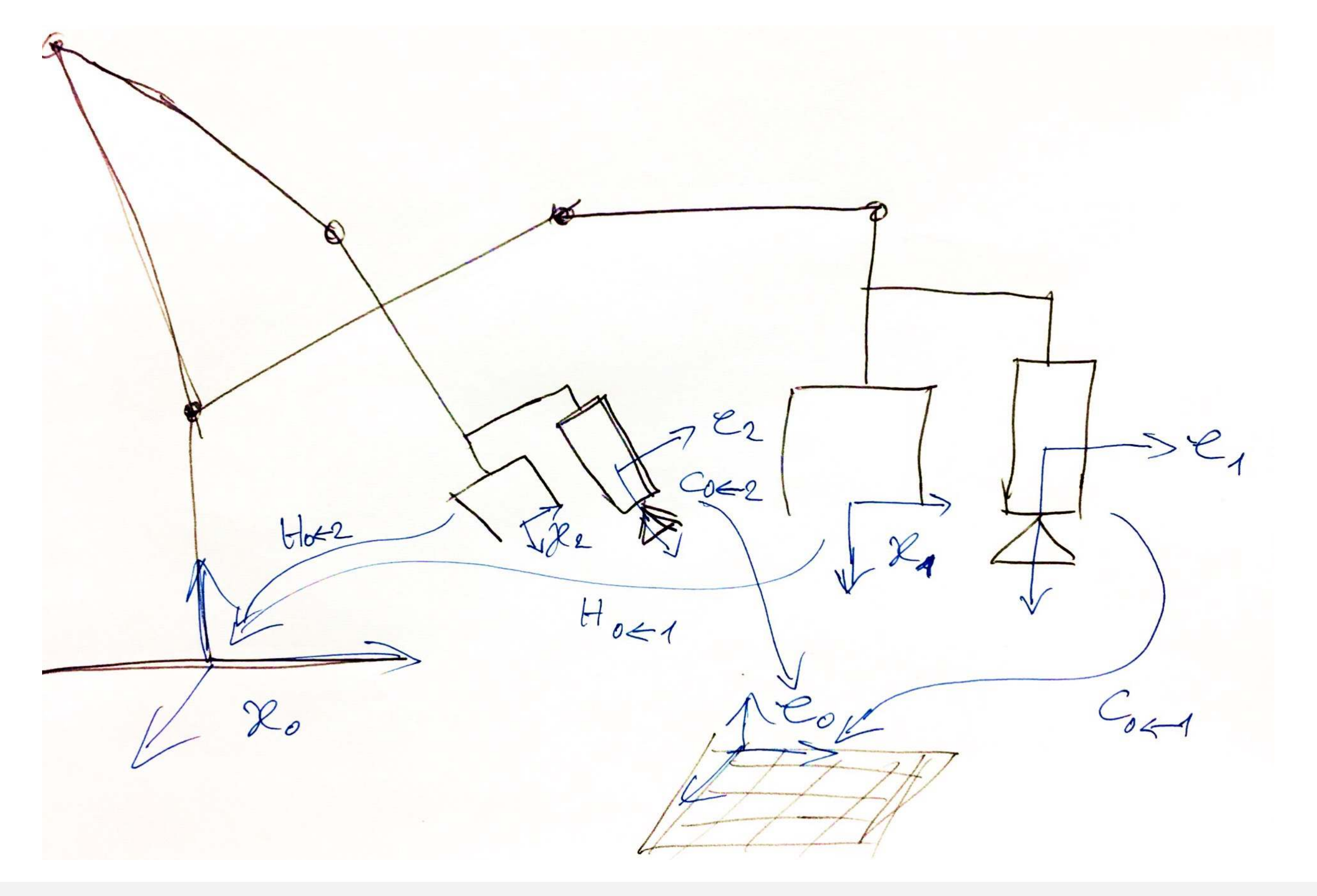
 Mit Hilfe von Computer-Vision-Verfahren kann man C_{0←1} "relativ leicht" bestimmen (Präzision ist allerdings nicht einfach zu erzielen)







 Fahre nun die Roboter-Hand in Position 2 (fast beliebige)







• Nun gilt:

Txte
$$C_{0 \leftarrow 2}$$
 $C_{0 \leftarrow 1} = H_{0 \leftarrow 1}^{-1} \cdot H_{0 \leftarrow 1} \cdot T_{x \leftarrow 2}$
 $C_{2 \leftarrow 0} = H_{2 \leftarrow 0}$
 $C_{2 \leftarrow 1} = H_{2 \leftarrow 1}$
 $C_{2 \leftarrow 1} = H_{2 \leftarrow 1}$

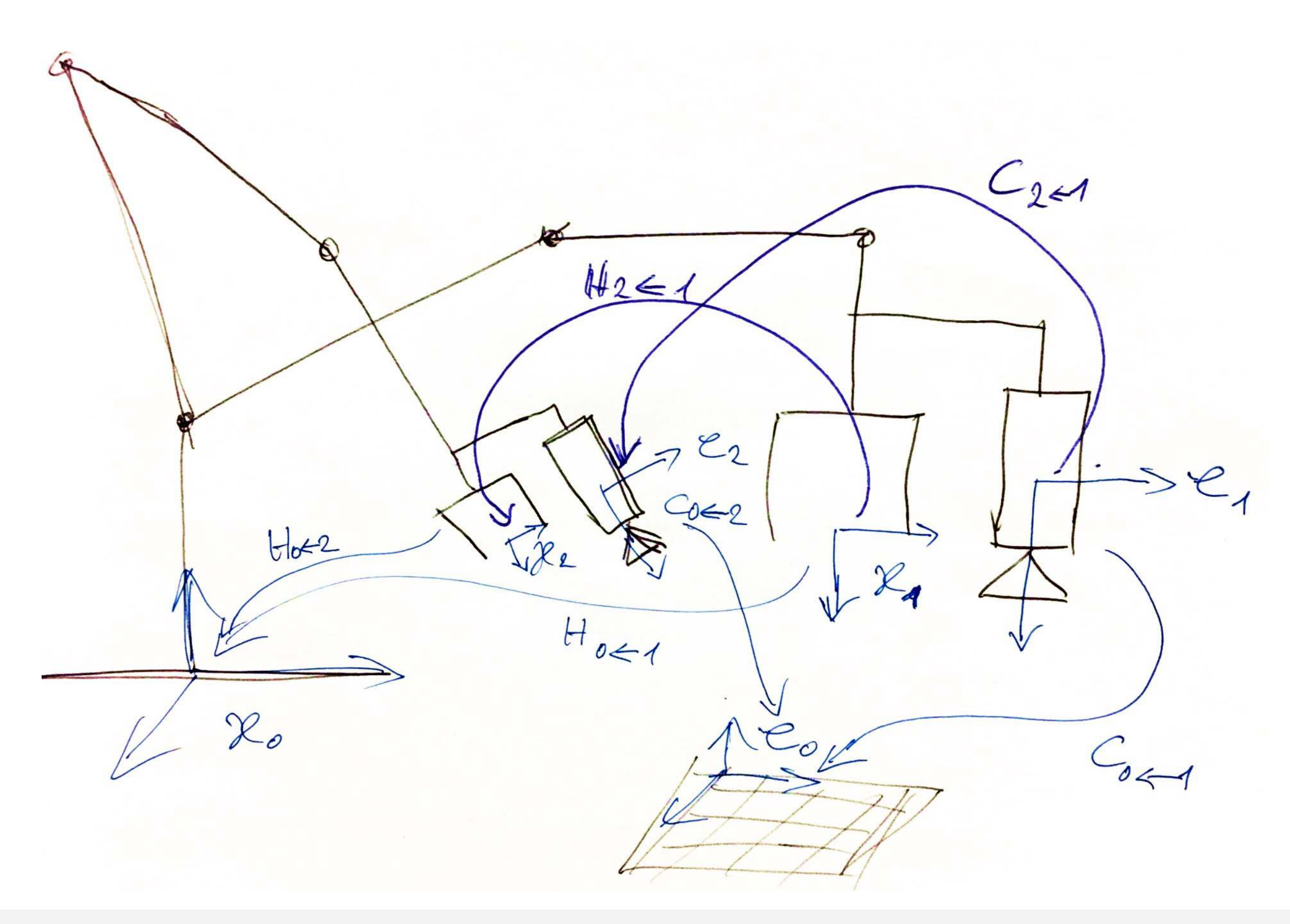
G. Zachmann Computergraphik 1 WS December 2019 Transformationen 115





 Für eine beliebige Position 2 für Hand+Auge gilt:

$$T_{\mathcal{H}\leftarrow\mathcal{C}}\cdot C_{2\leftarrow 1}=H_{2\leftarrow 1}\cdot T_{\mathcal{H}\leftarrow\mathcal{C}}$$





Weiteres Beispiel: Tracker-HMD-Calibration



